

МИНИСТЕРСТВО УГОЛЬНОЙ ПРОМЫШЛЕННОСТИ СССР  
АКАДЕМИЯ НАУК СССР  
ОРДЕНА ОКТЯБРЬСКОЙ РЕВОЛЮЦИИ И ОРДЕНА ТРУДОВОГО КРАСНОГО ЗНАМЕНИ  
ИНСТИТУТ ГОРНОГО ДЕЛА им. А. А. СКОЧИНСКОГО  
ЭСТОНСКИЙ ФИЛИАЛ

ВСЕСОЮЗНЫЙ ОРДЕНА ТРУДОВОГО КРАСНОГО ЗНАМЕНИ  
НАУЧНО-ИССЛЕДОВАТЕЛЬСКИЙ ИНСТИТУТ ГОРНОЙ ГЕОМЕХАНИКИ  
И МАРКШЕЙДЕРСКОГО ДЕЛА (ВНИМИ)

---

**ПРОГРЕССИВНАЯ ТЕХНОЛОГИЧЕСКАЯ СХЕМА  
ОЧИСТНЫХ И ПОДГОТОВИТЕЛЬНЫХ РАБОТ  
ПРИ КОМБИНИРОВАННОЙ СИСТЕМЕ РАЗРАБОТКИ  
„КАМЕРА—ЛАВА“ ДЛЯ ШАХТ ЛЕНИНГРАДСКОГО  
МЕСТОРОЖДЕНИЯ ГОРЮЧИХ СЛАНЦЕВ**

МИНИСТЕРСТВО УГОЛЬНОЙ ПРОМЫШЛЕННОСТИ СССР  
АКАДЕМИЯ НАУК СССР  
ОРДЕНА ОКТЯБРЬСКОЙ РЕВОЛЮЦИИ И ОРДЕНА ТРУДОВОГО КРАСНОГО ЗНАМЕНИ  
ИНСТИТУТ ГОРНОГО ДЕЛА им. А. А. СКОЧИНСКОГО  
ЭСТОНСКИЙ ФИЛИАЛ

ВСЕСОЮЗНЫЙ ОРДЕНА ТРУДОВОГО КРАСНОГО ЗНАМЕНИ  
НАУЧНО-ИССЛЕДОВАТЕЛЬСКИЙ ИНСТИТУТ ГОРНОЙ ГЕОМЕХАНИКИ  
И МАРКШЕЙДЕРСКОГО ДЕЛА (ВНИМИ)

---

УТВЕРЖДЕНА  
главным инженером  
ПО «Ленинградсланец»  
канд. техн. наук  
Г. Б. ФРАЙМАНОМ  
12 ноября 1980 г.

ПРОГРЕССИВНАЯ ТЕХНОЛОГИЧЕСКАЯ СХЕМА  
ОЧИСТНЫХ И ПОДГОТОВИТЕЛЬНЫХ РАБОТ  
ПРИ КОМБИНИРОВАННОЙ СИСТЕМЕ РАЗРАБОТКИ  
„КАМЕРА-ЛАВА“ ДЛЯ ШАХТ ЛЕНИНГРАДСКОГО  
МЕСТОРОЖДЕНИЯ ГОРЮЧИХ СЛАНЦЕВ



Москва  
1981

Технологическая схема очистных и подготовительных работ при комбинированной системе разработки "камера-лава" для условий шахт Ленинградского месторождения горючих сланцев составлена на основании результатов научно-исследовательских работ Эстонского филиала ИГД им. А. А. Скочинского и института ВНИИМИ, опыта работы шахт объединения и передовых бригад. При разработке технологической схемы использовались рекомендации и предложения работников ПО "Ленинградсланец".

Технологическая схема состоит из пояснительной записки и ряда отдельных схем. Пояснительная записка содержит основные принципы разработки схемы, выбор параметров управления кровлей и конструктивных элементов системы разработки, характеристику технологических процессов и средств механизация очистных и подготовительных работ, а также транспорта, вопросы вентиляции, борьбы с пылью, электроснабжения очистных и подготовительных работ, опыт работы передовых бригад на шахтах, вопросы организации работ, методики определения нагрузки на забой и определения экономической эффективности технологической схемы.

В качестве отдельных схем приведены схемы подготовки и система разработки, схемы очистного забоя и размещения оборудования, схемы подготовки выемочных участков и проведения выработок, размещения оборудования для пылеподавления, схемы вентиляционных соединений и электроснабжения.

Технологическая схема предназначена для применения в сланцевых шахтах Ленинградского месторождения. В разработке схемы принимали участие: кандидаты технических наук А. П. Адамсон, Ю. К. Самлан, А. А. Тоомик, В. С. Ундлуск, Я. Б. Фрайман и инженеры В. В. Громов, В. В. Догтяренко, Л. М. Корылева, Л. Н. Панкова, Р. М. Петров, Г. В. Смирнов (Эстонский филиал ИГД им. А. А. Скочинского), канд. техн. наук Г. А. Иванов, инженеры А. В. Плахов, В. П. Стеценко (ВНИИМИ), инж. Г. Я. Шамоо, инж. В. Е. Пригожин (ПО "Ленинградсланец").



2. СОВРЕМЕННОЕ СОСТОЯНИЕ  
И ПУТИ СОВЕРШЕНСТВОВАНИЯ ТЕХНОЛОГИИ  
ПОДЗЕМНОЙ ДОБЫЧИ СЛАНЦЕВ НА ЛЕНИНГРАДСКОМ МЕСТОРОЖДЕНИИ

2.1. Геологические и горнотехнические условия разработки  
месторождения

I. ВВЕДЕНИЕ

Основным направлением развития подземного способа добычи горючих сланцев является техническое перевооружение предприятий на базе внедрения новой техники и совершенствования технологии.

На Ленинградском месторождении горючих сланцев с 1961 г. применяется комбинированная система разработки "камеры-лавы", базирующаяся на работах Г.П.Бакинова, Д.Ф.Борисова, К.И.Ширенко и др. (а.с. № 160135, 1964 г.), которая в настоящее время занимает доминирующее положение. Эта система постоянно совершенствуется. Благодаря внедрению результатов научных исследований и освоению передового опыта лучшие бригады достигли нагрузки на спаренную камерную лаву около 930 т товарного сланца в сутки. На шахте № 3 в счетверенных камерах-лавах работает бригада, которая в 1979 г. добилась среднесуточной нагрузки 1137 т товарного сланца.

Так как данной системе разработки присущи значительные удельные объемы проведения подготовительных выработок, серьезное внимание в ней уделяется горноподготовительным работам.

Средняя месячная проходка главных и панельных выработок в 1978 г. составила 120 м, а нарезных 400 м на бригаду (как правило, двухзубою); те же показатели для лучших бригад достигли соответственно 255 и 700 м/мес.

Применение данной технологической схемы должно, с одной стороны, обеспечить повышение производственных показателей в отстающих бригадах и, с другой, содействовать выполнению производственных процессов с соблюдением всех требований техники безопасности и правил технической эксплуатации в сланцевых шахтах. Средствами достижения этой задачи является применение высокопроизводительной техники и технологии с оптимальными параметрами на основе использования новейших достижений горной науки, техники, научной организации труда и опыта работы передовых шахт, участков, бригад.

Месторождение сложено палеозойскими породами кембрия, ордовика и девона, перекрытыми четвертичными отложениями. Прослойки горючих сланцев встречаются в таллинском, кукерском и идавьерском горизонтах среднего ордовика. Промышленное значение имеют горючие сланцы, залегающие в кукерском горизонте. В нижней части горизонта, на глубине 50-150 м от поверхности, расположены четыре сближенных слоя горючих сланцев, которые вместе с прослойками известняков образуют промышленный пласт, залегающий почти горизонтально; мощность пласта колеблется в пределах от 2,0 до 2,3 м (рис. 2.1).

Почва промышленного пласта представлена известняками таллинского горизонта. Породы кровли сложены слоями известняков, мергелей, горючих и глинистых сланцев с прослойками глины мощностью в нижней части (до 25 м) от 0,02 до 0,60 м, выше - 1 м и более.

Карбонатные породы ордовика и приуроченные к ним слои горючих сланцев пересечены системой трещин. Литогенетические трещины развиты в пределах отдельных слоев пород и имеют различное направление. Сюда относятся и трещины напластования. Тектонические трещины пересекают весь комплекс пород ордовика в северо-восточном и северо-западном направлениях. Трещины северо-восточного направления обычно располагаются группами тектонических зон шириной 30-40 м; расстояние между зонами - 50-150 м. Среднее расстояние между трещинами северо-западного направления составляет 30 м.

Непосредственная кровля пласта мощностью до 4 м сложена слоями известняка, которые разделяются прослойками горючего и глинистого сланца. Мощность прослойков - 0,02-0,40 м. В непосредственной кровле на высоте 0,8-0,9; 1,6-1,8; 2,4-2,6 и 3,6-3,8 м от кровли пласта встречаются зоны расслоения (ослабленные контакты), которые нередко обводнены (водопродводящие плоскости).

Карстовые нарушения, приуроченные к трещинам северо-восточного направления, распространены на всей территории месторождения. Каждый третий вмещающий блок испытывает влияние карстовых нарушений, и 2% запасов сланца заменено глиной.

ОПИСАНИЕ ПОРОД		РАЗРЕЗ	ВЫСОТА ОТ ПОЧ- ВЫ IV СЛОЯ СЛАНЦА, М
КРОВЛЯ НЕПОСРЕДСТВЕННАЯ	ИЗВЕСТНЯК		6,04
	МЕРГЕЛИСТЫЙ ГОРЮЧИЙ СЛАНЕЦ		5,95
	ИЗВЕСТНЯК		5,85
	МЕРГЕЛИСТЫЙ ИЗВЕСТНЯК		5,31
	ИЗВЕСТНЯК		5,05
	МЕРГЕЛИСТЫЙ ГОРЮЧИЙ СЛАНЕЦ		4,98
	МЕРГЕЛИСТЫЙ ИЗВЕСТНЯК		4,28
	МЕРГЕЛИСТЫЙ ГОРЮЧИЙ СЛАНЕЦ		4,20
	ИЗВЕСТНЯК		4,01
	ГОРЮЧИЙ СЛАНЕЦ - СЛОЙ Н		3,70
	ИЗВЕСТНЯК		3,49
	ГОРЮЧИЙ СЛАНЕЦ - СЛОЙ Б		3,29
	ИЗВЕСТНЯК		3,22
	МЕРГЕЛЬ		3,17
	ИЗВЕСТНЯК		2,83
	МЕРГЕЛИСТЫЙ ГОРЮЧИЙ СЛАНЕЦ		2,74
	ИЗВЕСТНЯК		2,48
	ПРОМЫШЛЕННЫЙ ПЛАСТ ГОРЮЧЕГО СЛАНЦА	МЕРГЕЛИСТЫЙ ГОРЮЧИЙ СЛАНЕЦ	
МЕРГЕЛИСТЫЙ ИЗВЕСТНЯК			2,26
ПЕРЕСЛАИВАНИЕ ГОРЮЧЕГО СЛАНЦА С КОНКРЕЦИЯМИ ИЗВЕСТНЯКА - „ЛОЖНАЯ КРОВЛЯ“			2,15
ГОРЮЧИЙ СЛАНЕЦ I СЛОЙ			1,93
ИЗВЕСТНЯК „СПУТНИК“			1,41
МЕРГЕЛИСТЫЙ ГОРЮЧИЙ СЛАНЕЦ			1,34
ИЗВЕСТНЯК „ПЛИТА“			1,29
ГОРЮЧИЙ СЛАНЕЦ II СЛОЙ			1,02
ИЗВЕСТНЯК „КУЛАК“			0,75
ГОРЮЧИЙ СЛАНЕЦ - III СЛОЙ			0,60
ГЛИНИСТЫЙ ПРОСЛОЕК			0,35
ИЗВЕСТНЯК „СИНЮХА“			0,33
ГЛИНИСТЫЙ ПРОСЛОЕК		0,17	
МЕРГЕЛ. СЛАНЕЦ		0,15	
ГОРЮЧИЙ СЛАНЕЦ IV СЛОЙ		0,09	
ИЗВЕСТНЯК		0,00	

Рис. 2.1. Разрез пород промышленного пласта и непосредственной кровли (шахта "Ленинградская")

В пределах месторождения выделяются семь водоносных горизонтов. Из них на горные выработки воздействуют в основном кукерский, иевский (в кровле пласта) и таллинский (в почве пласта). Основное воздействие этих водоносных горизонтов выражается в увеличенном притоке воды в выработки. В последние годы из трех шахт вместе выкачивается 3400–3600 м<sup>3</sup>/ч воды. Кроме того, в пределах непосредственной кровли в зонах расслоения могут встречаться напорные воды, величина гидростатического давления которых колеблется от 2 до 7 м водяного столба. Гидростатическое давление в непосредственной кровле имеет локальный характер.

## 2.2. Развитие подземной добычи горючих сланцев

Основная часть сланца на месторождении добывается комбинированной системой разработки "камера-лава". За последние годы была испытана система разработки длинными столбами с буровзрывной вземкой и полным обрушением кровли. В настоящее время эта технологическая схема осваивается.

Комбинированная система разработки "камера-лава" начала внедряться на шахте № 3 ПО "Ленинградсланец" с 1961 г., на шахте "Ленинградская" – с 1971 г. К началу 1979 г. на шахтах Ленинградского месторождения с помощью данной технологии добывали 65% всего сланца. За этот период накопился опыт, выработались передовые приемы выполнения отдельных операций и прогрессивные формы организации труда. Кроме того, научно-исследовательские работы, проведенные ЛТИ, ВНИМИ и ИГД им. А.А.Скочинского, способствовали совершенствованию технологических процессов и позволили разработать ряд методических и нормативных документов. Все это, а также широкая инициатива инженерно-технических работников шахт и производственного объединения позволили планомерно повышать нагрузку на очистные забои и тем самым улучшать технико-экономические показатели. Так, в 1979 г. средняя нагрузка на спаренные лавы в нормальных горно-геологических условиях составила около 800 т в сутки. Передовые бригады за это же время достигли нагрузки на пару камер-лав около 900 т/сут. Производительность труда в передовых бригадах в среднем за 1979 г. составила около 36 т на выход товарного сланца (ГРОЗ), что примерно на 8% выше средней. В четверенных камерах-лавах была достигнута производительность около 38 т/выход товарного сланца.

Для достижения высокого уровня нагрузок на пару лав всеми очистными бригадами шахт Ленинградского месторождения используются различные технические и организационные мероприятия. Назрела необходимость в детальном изучении опыта передовых бригад, упорядочении технологической дисциплины при выполнении производственных процессов на очистных работах, выявлении технических и организационных резервов и разработке рекомендаций по передовым методам и приемам работы, применению новейшей горной техники и прогрессивных технологических решений, а также в создании единых методических положений для расчета параметров забоя и технико-экономических показателей.

Это позволит достичь большинством очистных бригад экономически целесообразных и технически оправданных уровней нагрузок на очистной забой.

Большой удельный вес добычи при данной технологии на месторождении и необходимость упорядочения и унификации использования машин и механизмов на внемочном участке, параметров блока и технологических процессов обусловили необходимость разработки типовой технологической схемы.

## 2.3. Развитие технологии подготовительных работ

Используемая на Ленинградском месторождении технология проведения подготовительных выработок с буровзрывной отбойкой и отгрузкой взорванной горной массы погрузочными машинами типа ГПНБ-2 в последние годы постоянно совершенствовалась путем замены забойного оборудования старых образцов на новое, более надежное и производительное, и улучшения организации работ (переход от погрузки в шахтные вагонетки к погрузке на скребковый конвейер, использование прогрессивной технологии с погрузкой в самоходный вагон 5BC-15). Это позволило улучшить основные технико-экономические показатели подготовительных работ.

Средняя месячная проходка на бригаду возросла с 267 м в 1971 г. до 324 м в 1978 г. Производительность труда проходчиков увеличилась за этот же период на 11%.

Основным направлением развития технологии подготовительных работ на ближайшие годы остается совершенствование буровзрывного способа проходки. При этом в первую очередь должны решаться задачи:

перехода на вариант технологии с использованием самоходных вагонов 5BC-15;  
механизации бурения по забою подготовительных выработок с использованием буропогрузочных машин ППНБЗБС и 2ПНБ-25(с);  
изыскания при проведении выемочных выработок возможности механизации бурения и использования самоходных вагонов;  
применения более перспективных ВМ и СВ для увеличения эффективности взрывной отбойки;  
совершенствования паспортов буровзрывных работ;  
совершенствования крепления кровли путем применения винтовых анкеров и переносных приспособлений для их установки и бурения по кровле шпуров диаметром 26-28 мм;  
изыскания средств механизации доставки материалов и оборудования, монтажных, погрузочно-разгрузочных и прочих вспомогательных работ, выполняемых в настоящее время вручную.

В более отдаленной перспективе целесообразным представляется использование проходческих комплексов, состоящих из комбайна избирательного действия, устройств для бурения по кровле и установки для возведения винтовых анкеров, перегружателя и т.д.

### 3. ОСНОВНЫЕ ПРИНЦИПЫ И ИСХОДНЫЕ ПОЛОЖЕНИЯ РАЗРАБОТКИ ТЕХНОЛОГИЧЕСКОЙ СХЕМЫ

#### 3.1. Основные принципы

В основу разработки технологической схемы положены следующие принципы:

максимальная механизация всех производственных процессов очистных и подготовительных работ, базирующаяся на эффективном использовании серийных горных машин и оборудования;

комплексное решение вопросов, связанных с ведением очистных и подготовительных работ: горных (способ подготовки и система разработки, способ проведения подготовительных выработок), механизации, организации труда, транспорта, вентиляции, энергоснабжения, связи и сигнализации, безопасности;

своевременное воспроизводство очистного фронта путем приятия числа одновременно действующих подготовительных забоев с расчетной скоростью их проведения при рациональной последовательности подготовки;

соответствие производительности очистных забоев пропускной способности общешахтного транспорта;

максимальное использование передовых методов и рациональной организации труда.

#### 3.2. Область применения

Технологическая схема применима при горизонтальном залегании пласта, опасного по взрывам пыли, мощностью от 1,65 до 2,20 м и мощности покрывающих пород не менее 50 м, в том числе карбонатных пород не менее 25 м в трещиноватых, но устойчивых карбонатных породах почвы и кровли, за исключением зоны карстовых нарушений, т.е. в нормальных горно-геологических условиях.

#### 3.3. Способ подготовки, система разработки и определение их параметров

Подготовка шахтного поля – панельная. Порядок отработки шахтного поля – прямой, от ствола к границам. Направление подготовительных выработок определяется по минимальному влиянию карстовых нарушений, трещин и обводненности пород на очистные и подготовительные работы.

Для подготовки выемочных участков шахтное поле главными и панельными штреками разрезается на панели шириной 300-300 м, в перспективе – до 1200 м. Для каждой панели проходятся два-четыре панельных штрека. В пределах панели подготавливаются выемочные участки шириной 200-400 м, которые обрабатываются спаренными или счетверенными камерами-лавами. В нормальных горно-геологических условиях рациональная длина камеры-лавы определяется в зависимости от применяемого погрузочного оборудования согласно "Практическому руководству по выбору типа погрузочных машин с нагребными лапами для условий сланцевых шахт" (1972г.). Вблизи зон карстовых нарушений длина камеры-лавы определяется с учетом конкретных условий. Ширина камеры-лавы принимается в соответствии с разделом 4 данной технологической схемы.

Длина выемочных участков (столбов) равна ширине панели. Каждый участок по ширине разрезается борными и бортовыми штреками на два-четыре длинных столба. По обеим границам участка проводятся бортовые штреки. При подготовке на участке счетверенных камер-лав дополнительно проводятся еще промежуточные бортовые

штреки. Длинный столб разделяется по длине разрезными штреками на короткие столбы, обрабатываемые камерами-лавами. При достижении камерой-лавой расчетной ширины формируется междукамерный целик, поддерживающий основную кровлю. После этого оборудование переносится в следующий разрезной штрек, откуда очистные работы продолжают аналогичным образом. Размеры опорных ленточных целиков между камерами-лавами определяются также согласно разделу 4 данной схемы в зависимости от горно-геологических условий. Все камеры-лавы на выемочном участке обрабатываются одновременно на один общий сборный штрек, и забой движется общим фронтом в одной линии в сторону погрузочного пункта.

По структуре вентиляционных соединений схемы обработки и подготовки выемочных участков спаренными или счетверенными камерами-лавами представлены в двух вариантах: исходящая струя участка отводится по кроссингу через сборный штрек или же по кроссингу через откаточный штрек. В первом варианте пропускная способность кроссингов типа перекидного моста может не удовлетворить фактическому количеству воздуха в исходящих струях. В таком случае следует применять варианты схемы подготовки с кроссингом через откаточный штрек.

### 3.4. Способ управления горным давлением

Поддержание пород основной кровли производится путем оставления ленточных целиков между камерами-лавами (и между выемочными участками). Максимальный пролет камеры-лавы ограничивается естественной устойчивостью пород основной кровли.

### 3.5. Технология выемки

На очистных работах применяется выемка с помощью буровзрывных работ с предварительной зарубкой пласта и механизированной погрузкой горной массы на скребковый конвейер.

На горноподготовительных работах приняты буровзрывная выемка и механизированная погрузка горной массы в самоходный вагон или на скребковый конвейер с дальнейшей перегрузкой ее в шахтные вагоны. Непосредственная кровля закрепляется анкерной крепью.

### 3.6. Средства механизации

В технологической схеме предусматривается использование современного высокопроизводительного оборудования, серийно вы-

пускаемого отечественными заводами и прошедшего промышленные испытания в условиях сланцевых шахт или намеченного к испытаниям.

### 3.7. Крепь подготовительных и очистных забоев

В подготовительных выработках (откаточные и вентиляционные) предусматривается применение анкерной крепи, в подготовительных выработках выемочного участка (сборный, разрезной и бортовой штреки) – деревянной стоечной крепи совместно с анкерами или только анкерной крепи (бортовые штреки), в очистных выработках (камера-лава) – деревянной стоечной крепи и при наличии местных геологических нарушений дополнительно анкерной крепи. Параметры крепи определяются согласно разделу 4 и "Указаниям по применению металлической и железобетонной штанговой крепи на сланцевых шахтах Ленинградского месторождения" (1979 г.).

### 3.8. Производительность погрузочных машин

Производительность погрузочных машин, а также состав погрузочного оборудования на выемочном участке определяются в соответствии с "Методикой выбора типа погрузочных машин с нагребающими лапами для условий сланцевых шахт" (1971 г.) и "Практическим руководством по выбору типа погрузочных машин с нагребающими лапами для условий сланцевых шахт" (1972 г.), составленными отделением разработки сланцевых месторождений ИГД им. А.А.Скочинского.

### 3.9. Безопасность работ

При разработке пласта сланца следует руководствоваться положениями "Правил безопасности в угольных и сланцевых шахтах", утвержденными Госгортехнадзором СССР в 1972 г., "Единых правил безопасности при взрывных работах" (1967 г.), "Руководства по безопасному применению короткозамедленного взрывания и предупреждению взрывов пыли на шахтах Прибалтийского сланцевого бассейна" (1975 г.) и "Правил технической эксплуатации угольных и сланцевых шахт (1976 г.).



### 3.10. Организация и режим работы

Принят режим работы в 3 семичасовые смены с перерывом 3 ч между третьей и первой сменами при пятидневной рабочей неделе.

Основной формой организации труда в очистных и подготовительных забоях является суточная комплексная бригада.

### 4. ВЫБОР ПАРАМЕТРОВ УПРАВЛЕНИЯ КРОВЛЕЙ И КОНСТРУКТИВНЫХ ЭЛЕМЕНТОВ СИСТЕМЫ РАЗРАБОТКИ

#### 4.1. Выбор размеров камер

При разработке пласта горючего сланца камерами-лавами непосредственная кровля поддерживается крепью, устанавливаемой в камерах, а основная, как и вся налегающая толща пород, - междукамерными целиками, в связи с чем размер пролета камеры определяется величиной устойчивого пролета основной кровли. Исходя из сказанного, допустимую ширину камеры А можно найти по следующей формуле, полученной из представления работы кровли как балки, защемленной на двух опорах:

$$A = \frac{L_0}{\sqrt{n_k}} + 2h_n \operatorname{tg} \omega_n, \quad (4.1)$$

где  $L_0$  - пролет первого обрушения основной кровли;  
 $h_n$  - мощность непосредственной кровли;  
 $\omega_n$  - угол излома пород непосредственной кровли;  
 $n_k$  - коэффициент запаса несущей способности основной кровли.

Длина камеры (лав) влияет на величину пролета первого обрушения основной кровли только до определенного предела, что подтверждается как практическим опытом, так и расчетами на основе формулы эквивалентного пролета В.Д.Слесарева

$$L_{0.з} = \frac{L_0 L_A}{\sqrt{L_0^2 + L_A^2}}, \quad (4.2)$$

где  $L_{0.з}$  - пролет первого обрушения кровли в лаве неограниченной длины (эквивалентный пролет);  
 $L_A$  - суммарная длина лав.

Результаты расчетов для средней величины пролета обрушения основной кровли  $L_0 = 40$  м приведены на рис. 4.1, из которого

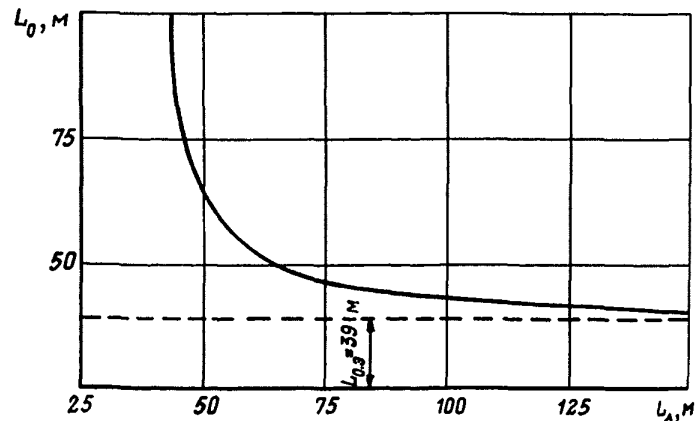


Рис. 4.1. Изменение величины пролета первого обрушения основной кровли в зависимости от длины лав

следует, что при суммарной длине лав свыше 100 м пролет первого обрушения основной кровли практически не изменяется и близок по величине эквивалентному пролету.

#### 4.2. Расчет размеров целиков

Разработка пласта сланца камерами-лавами сопровождается оставлением междукамерных и междублоковых целиков, которые имеют разные схемы нагружения (рис. 4.2 и 4.3). Несущая способность таких целиков должна определяться с учетом изменения их прочности во времени. Длительная прочность пласта горючего сланца  $R_t$  вычисляется по формуле

$$R_t = R_\infty + C \left( \frac{1}{t} \right)^m, \quad (4.3)$$

где  $R_t$  - предел длительной прочности пласта;  
 $C, m$  - параметры, зависящие от свойств горных пород ( $C$  - в единицах измерения прочности,  $m$  - безразмерная величина);  
 $t$  - срок службы целика, мес;  
 $1$  - коэффициент, мес.

Пределы длительной прочности и параметры формулы (4.3) определяются экспериментальным путем по данным фактической устой-

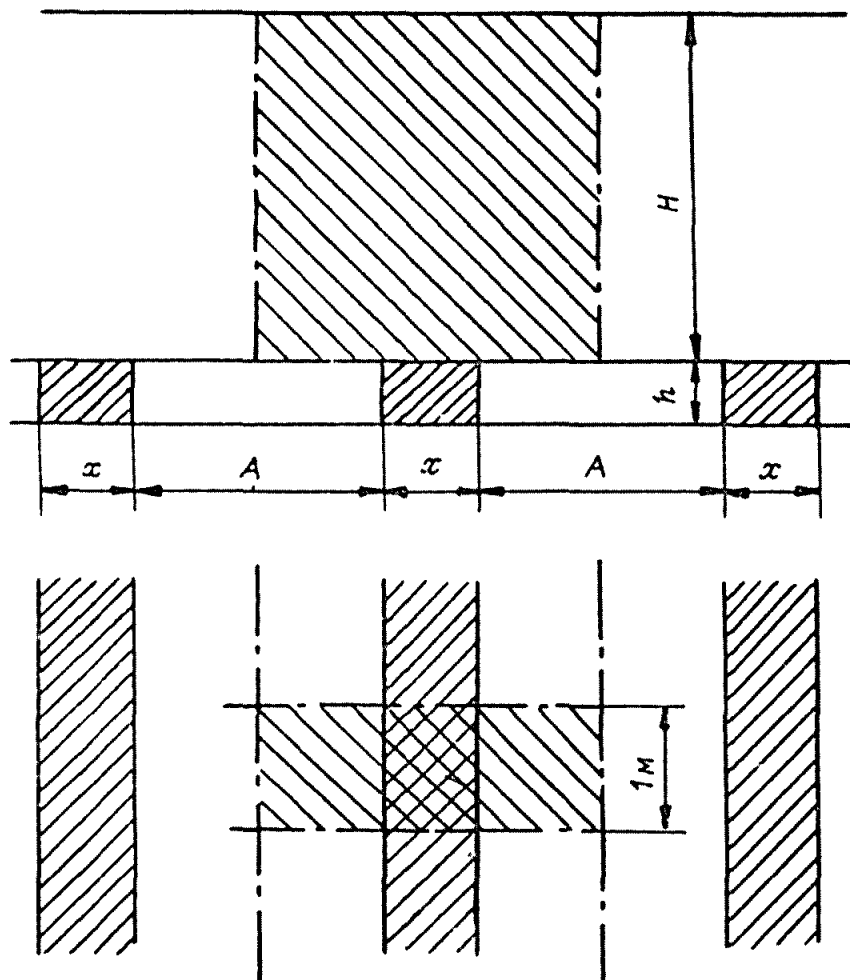


Рис. 4.2. Схема к расчету междукламерных целиков

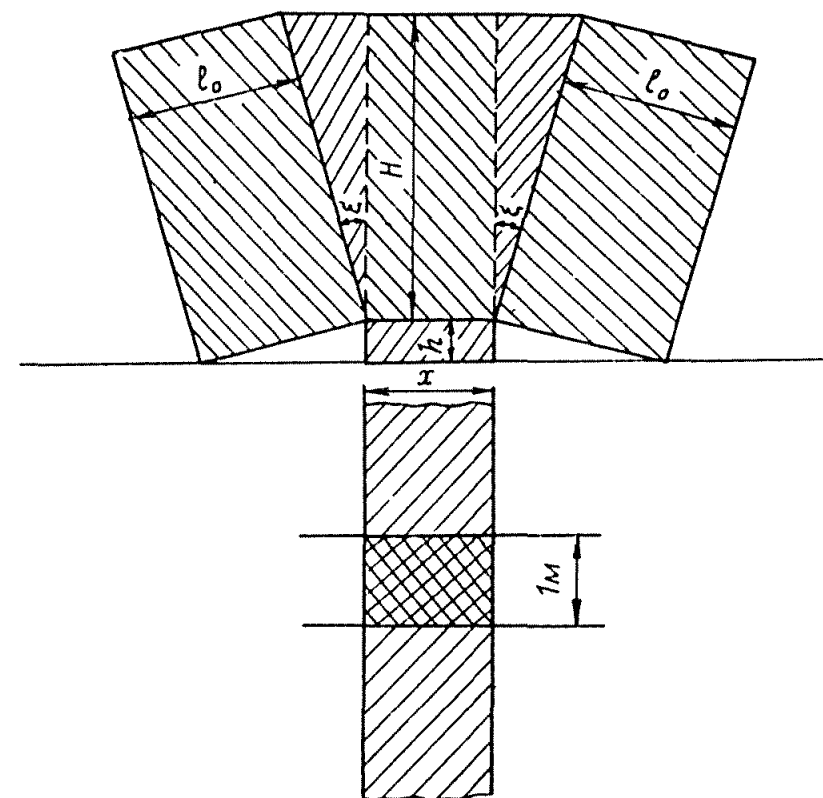


Рис. 4.3. Схема к расчету целиков между выемочными участками

чивости целиков во времени или по результатам лабораторных испытаний моделей целиков.

При расчете размеров целиков изменение соотношения их ширины и высоты учитывается коэффициентом формы  $K_\phi$ . Для условий Ленинградского месторождения горючих сланцев это изменение в интервале отношений ширины к высоте целика от 1,7 до 10 хорошо описывается зависимостью

$$K_\phi = 2,1 - 1,5 \frac{h}{x - q} \quad (4.4)$$

С учетом этой зависимости составлены приведенные ниже формулы расчета целиков между камерами и между выемочными участками: междукамерные целики

$$x = \frac{(2,1q + 1,5h)R_t + n_c A \delta H}{2,1R_t - n_c \delta H}; \quad (4.5)$$

целики между выемочными участками

$$x = \frac{(2,1q + 1,5h)R_t + n_c (H + q\omega + \ell_0) \delta H}{2,1R_t - n_c \delta H}, \quad (4.6)$$

где  $x$  – проектная ширина целика;

$q$  – суммарная ширина зон нарушения стенок целика взрывными работами;

$h$  – высота целика (внимаемая мощность пласта);

$A$  – ширина камеры;

$\ell_0$  – шаг последующих осадок основной кровли (длина обламывающихся породных блоков);

$\omega$  – угол излома пород налегающей толщи (угол отклонения поверхности обрушения от вертикальной плоскости);

$\delta$  – усредненный объемный ВВС пород подрабатываемой толщи;

$H$  – глубина разработки пласта;

$R_t$  – длительная "кубиковая" прочность массива горных пород, слагающих целик (длительная "кубиковая" прочность пласта);

$n_c$  – коэффициент запаса прочности целика.

#### 4.3. Расчет крепи в камерах

Крепь камер служит для поддержания пород непосредственной кровли в течение всего периода их отработки, а затем частично извлекается. Удельное давление  $p$  от веса пород непосредственной кровли составляет

$$p = \delta_H h_H, \quad (4.7)$$

где  $\delta_H$  – средневзвешенный объемный ВВС пород непосредственной кровли;

$h_H$  – мощность непосредственной кровли.

Выполненные ВНИИМ исследования показали, что в средних частях камер по их ширине и длине нагрузка на крепь значительно выше, чем вблизи неотработанного массива и целиков. При этом увеличение нагрузки происходит постепенно от краев камер к их центру, где оно возрастает до максимума. Исходя из этого давление на крепь по ширине камеры  $p_y$  может быть вычислено по следующей формуле:

$$p_y = \delta_H h_H \left( 2 - \frac{4y}{A} \right), \quad (4.8)$$

где  $y$  – расстояние от центра камеры до крепи;

$A$  – ширина камеры.

Общая плотность крепи рассчитывается по удельной нагрузке, определяемой по формуле (4.7); ее расстановка по ширине камеры производится в соответствии с плотностью, рассчитываемой с учетом формулы (4.8). При этом расстановка ее должна осуществляться участками с одинаковой плотностью, меньшей или большей средней плотности, с таким расчетом, чтобы в пределах площади всей камеры плотность крепи соответствовала ее средней расчетной величине. Плотность крепи на отдельных участках должна быть примерно равной плотности, рассчитанной по формуле (4.8) для середины участка (отклонения допускаются в пределах  $\pm 20\%$ ).

При существующей технологии выемки сланца камеры крепятся деревянной крепью. Допустимая нагрузка  $P$  на деревянную стойку находится по формуле

$$P = \frac{\sigma_{кр} F}{n_c}, \quad (4.9)$$

где  $\sigma_{кр}$  – критические напряжения сжатия;

$F$  – площадь поперечного сечения стойки;

$n_c$  – коэффициент запаса прочности стойки.

Величину критических напряжений сжатия вдоль волокон для основной стойки определим по формуле

$$\sigma_{кр} = 220 - \frac{6 \ell_p}{d} \text{ кгс/см}^2, \quad (4.10)$$

где 220 и 6 - эмпирические коэффициенты, кгс/см<sup>2</sup>;

$l_c$  - длина стойки;

$d$  - диаметр стойки.

Таким образом, допустимая нагрузка на основную стойку с учетом зависимости (1.10) составит

$$P = (220 - \frac{6 l_c}{d}) \frac{F}{n_c}. \quad (4.11)$$

По найденным из выражений (4.7) и (4.11) значениям  $p$  и  $P$  определяется необходимая плотность крепи

$$n = \frac{P}{p} = \frac{0,1 n_c \gamma_H h_H}{(220 - \frac{6 l_c}{d}) F}, \quad (4.12)$$

где  $\gamma$  выражено в тс/м<sup>3</sup>,  $h$  - в м,  $F$  - в м<sup>2</sup>.

#### 4.4. Исходные данные для расчетов и рекомендации по отработке и креплению камер

Первое обрушение нижней пачки пород основной кровли мощностью около 2,5 м с отслоением на горизонте 6,1 м от кровли сланцевого пласта на шахтах Ленинградского месторождения горючих сланцев происходит при отходе лав от заднего целика на 40-48 м. При этом пролет обрушения основной кровли по поверхности ее контакта с непосредственной кровлей составляет 35-45 м при средней величине  $L_0 = 40$  м. Шаг последующих обрушений основной кровли составляет 1/3 ÷ 1/4 величины пролета ее первого обрушения, т.е.  $l_0 = 12$  м. Угол обрушения непосредственной кровли составляет  $\omega_H = 25^\circ$  ( $tg 25^\circ = 0,466$ ), а средняя величина угла излома всей толщи пород до дневной поверхности  $\omega = 19^\circ$  ( $tg 19^\circ = 0,344$ ). Мощность непосредственной кровли составляет в среднем  $h_H = 3,6$  м, а ее усредненный объемный вес  $\gamma_H = 2,3$  тс/м<sup>3</sup>. Средний объемный вес подрабатываемой толщи пород  $\gamma = 2,5$  тс/м<sup>3</sup>. Занимаемая мощность пласта (высота целиков) на участках месторождения с нормальными условиями изменится в пределах от 1,6 до 1,8 м, составляя в среднем 1,7 м. Суммарная зона разрушения стенок выработок и целиков взрывными работами  $q$  по данным ВНИИ составляет 0,6 м.

Расчет целиков обычно осуществляется по "кубиковой" прочности. Для вычисления длительной "кубиковой" прочности пласта

по формуле (4.3) в нее подставляется предел длительной "кубиковой" прочности, который, согласно выполненным во ВНИИ лабораторным и натурным исследованиям, можно принять равным половине условно-мгновенной "кубиковой" прочности сланцевого пласта  $R_0$ , составляющей для Ленинградского месторождения 1500 тс/м<sup>2</sup>. Таким образом, предел длительной "кубиковой" прочности пласта  $R_\infty$  в этом случае будет равен  $0,5 \cdot 1500 = 750$  тс/м<sup>2</sup>.

Другие параметры формулы (4.3) можно предварительно определить исходя из данных для Эстонского месторождения, полученных в результате многолетних наблюдений за устойчивостью столбчатых междуканальных целиков (для Ленинградского месторождения таких данных нет). При этом параметр  $m$ , характеризующий наклон кривой длительной прочности, можно принять таким же, как для Эстонского месторождения, т.е.  $m = 0,25$ , а параметр  $C$  можно определить исходя из условия принятия одинаковой степени снижения прочности пласта на обоих месторождениях для промежутка времени  $t = 1$  мес; отсюда  $C = 725$  тс/м<sup>2</sup>. Параметры  $C$  и  $m$ , определенные для Ленинградского месторождения, дают запас прочности, поскольку здесь пласт содержит больше известняка, чем на Эстонском месторождении. Известняк же снижает прочность во времени меньше горючего сланца, поэтому и весь пласт на Ленинградском месторождении должен меньше снижать прочность во времени, чем на Эстонском.

С учетом найденных значений параметров формулы (4.3) зависимость для определения длительной "кубиковой" прочности пласта может быть записана в окончательном виде так:

$$R_t = 750 + 725 \left(\frac{1}{t}\right)^{0,25}. \quad (4.13)$$

При принятых на Ленинградском месторождении размерах выемочных участков и существующей скорости продвижения очистных работ срок отработки одного выемочного участка достигает полутора лет. Таким образом, при расчете длительной "кубиковой" прочности пласта для междуканальных целиков и целиков между выемочными участками следует принимать  $t = 18$  мес. Для этого периода времени длительная "кубиковая" прочность пласта  $R_t$  составляет 1100 тс/м<sup>2</sup>.

При определении коэффициента запаса прочности кровли горных выработок и целиков должны учитываться следующие основные факторы: достоверность значений показателей прочностных характеристик горных пород, изменение прочности пород во времени, неточность применяемой расчетной схемы и возможность отклонения фактических размеров горных выработок и целиков от проектных, а также другие

факторы, которые могут иметь место и точный учет которых практически невозможен. В общем виде для нормальных геологических условий коэффициент запаса прочности подсчитывается по формуле

$$n = n_1 \cdot n_2 \cdot n_3, \quad (4.14)$$

где  $n_1$  — коэффициент, учитывающий изменение прочностных характеристик пород;

$n_2$  — коэффициент, учитывающий изменение прочности горной породы во времени;

$n_3$  — коэффициент, учитывающий неточность расчетной схемы, возможные отклонения фактических размеров горных выработок и целиков от расчетных и другие неучтенные факторы.

Определение ширины камер осуществляется в зависимости от величины пролета первого обрушения основной кровли. Коэффициент  $n_1$  определим как отношение квадратов средней величины этого пролета к минимальной, т.е.

$$n_1 = \frac{40^2}{35^2} \approx 1,3.$$

При выборе размеров камер исходя из известных пролетов первого обрушения основной кровли, а также с учетом особенностей схемы ведения очистных работ в камрах и наличия постоянного контроля за смещениями их кровли можно принимать  $n_3 = 1$ .

Коэффициенты  $n_2$  для известняка основной кровли, а также общие величины коэффициентов запаса прочности в зависимости от времени отработки камеры приведены в табл. 4.1.

Таблица 4.1

Зависимость коэффициента запаса прочности основной кровли от времени отработки камеры

Время отработки камеры $t$ , сут	10	20	30	40	50	60	70	120
Коэффициент $n_2$	1,14	1,16	1,17	1,18	1,19	1,19	1,20	1,21
Коэффициент запаса прочности $n_k$	1,48	1,51	1,52	1,53	1,55	1,55	1,56	1,57

Выбор коэффициента запаса прочности при расчете целиков осуществляется исходя из следующих соображений. По данным ВНИИМ, разброс прочностных показателей горных пород Прибалтийского бассейна при испытаниях в натуральных условиях, как правило, не выхо-

дит за пределы  $\pm 15\%$ , поэтому принимаем  $n_1 = 1,15$ . Поскольку расчет целиков производится по длительной прочности, принимаем  $n_2 = 1$ , а  $n_3 = 1,05$ . Таким образом, при определении размеров целиков коэффициент запаса прочности должен составлять

$$n_4 = 1,15 \cdot 1 \cdot 1,05 \approx 1,2.$$

Такая величина коэффициента запаса прочности должна приниматься при расчете столбчатых и непрорезанных горными выработками ленточных целиков. В случае расчета ленточных целиков, прорезанных горными выработками, как, например, междуканерные целики, этот коэффициент запаса прочности необходимо умножить на коэффициент, учитывающий изрезанность целика горными выработками:

$$K_s = \frac{S}{S_0},$$

где  $S$  и  $S_0$  — площадь целика соответственно без вычета площади прорезывающих его выработок и с вычетом этой площади. Для междуканерных целиков при системе разработки камерами-лавами можно принимать  $K_s = 1,1$ ; общий коэффициент запаса прочности в этом случае будет составлять  $n_4 = 1,3$ .

При выборе коэффициента запаса прочности деревянной крепи необходимо учитывать неодинаковую несущую способность и неравномерность нагружения стоек (принимается  $n_1 = 1,3$ ), а также снижение их несущей способности во времени (в пределах реального срока отработки камер можно принимать несущую способность деревянных стоек во времени неизменной, т.е.  $n_2 = 1$ ). Все прочие факторы, как и при расчете пролетов камер, учитываются коэффициентом  $n_3 = 1,15$ . Общий коэффициент запаса прочности стоек составит

$$n_5 = 1,3 \cdot 1 \cdot 1,15 = 1,5.$$

Срок отработки каждой камеры, как правило, не должен превышать 1 мес. В исключительных случаях время отработки камер может быть увеличено до 2 мес. При этом следует считаться с возможностью появления пригрузки основной и непосредственной кровли со стороны залегающих выше подработанных пород.

Величина пригрузки консоли несущего слоя кровли со стороны вышележащих слоев зависит от отношений мощностей отдельных пригружающих слоев и их суммарной мощности к мощности несущего

слоя, причем с увеличением первого отношения пригрузка уменьшается, а с увеличением второго — возрастает. В соответствии с результатами этих исследований для условий Ленинградского месторождения, где отношение суммарной мощности пригружающих слоев основной кровли к мощности ее нижней несущей пачки составляет около 2,4, а отношение мощностей отдельных пригружающих слоев к мощности той же нижней пачки основной кровли находится в пределах от 0,5 до 1, пригрузка составляет примерно 0,5 собственного веса слоя. С запасом можно принять такую же максимальную пригрузку нижней несущей пачки основной кровли в камерах.

Исходя из того, что при отработке камеры в течение 1 мес пригрузки нижней пачки основной кровли нет, что подтверждается методом обратного пересчета и другими косвенными расчетами, а при ее отработке за 2 мес и более пригрузка ориентировочно (с запасом) становится равной максимальной ее величине, коэффициент, учитывающий наличие пригрузки, может быть рассчитан по следующей формуле:

$$K_n = 1 + \frac{t - 30}{60}, \quad (4.15)$$

где  $t$  — время отработки камеры, сут.

При расчетах пролетов камер, срок отработки которых по каким-либо причинам планируется свыше 1 мес, на коэффициент, рассчитанный для соответствующего периода времени, должен быть умножен коэффициент запаса прочности, взятый из табл. 4.1. В случае отработки камер за 30 сут и менее следует принимать  $K_n = 1$ , а свыше 60 сут —  $K_n = 1,5$ .

Что касается пригрузки непосредственной кровли, то, учитывая ее более высокую гибкость, чем основной кровли, коэффициент пригрузки ее и, следовательно, крепи камер можно приближенно принять равным 1,1. Таким образом, при расчетах плотности крепи камер, отработываемых свыше 30 сут, коэффициент запаса прочности крепи нужно принимать равным 1,1  $n_c = 1,1 \cdot 1,5 = 1,65$ .

Удельное давление пород непосредственной кровли в соответствии с формулой (4.7) составляет

$$P = 2,3 \cdot 3,6 = 8,28 \text{ тс/м}^2.$$

Для такого давления на крепь и средней длины стойки, равной средней воспринимаемой мощности пласта  $l_c = 1,7 \text{ м}$ , выполнены расчеты плотности крепи камер при различном диаметре стоек. Расчеты сде-

ланы при коэффициенте запаса прочности  $n_c = 1,5$ . Результаты их сведены в табл. 4.2.

Т а б л и ц а 4.2

Плотность и расстановка крепи в зависимости от диаметра стоек

Диаметр стоек $d$ , см	Допустимая нагрузка на стойку $P$ , тс	Необходимая плотность крепи $\Pi$ , стоек/м <sup>2</sup>	Расстановка крепи, м
14	15	0,55	2x0,9
15	18	0,46	2x1,1
16	21	0,39	2x1,2
17	24	0,35	2x1,4
18	28	0,30	2x1,7
19	31	0,27	2x1,9
20	35	0,24	2x2,2

Стойки диаметром меньше 14 см для крепления камер применять не следует.

Расстояние между рядами крепи принимается равным ширине вруба, которая при принятой технологии выемки пласта составляет, как правило, 1,9–2,0 м. Расстояние между стойками в ряду следует выбирать в зависимости от диаметра крепежного леса, руководствуясь табл. 4.2, и с учетом зависимости (4.8). При необходимости увеличения плотности крепи в центральных частях камер в соответствии с зависимостью (4.8) нужно уменьшать расстояние между стойками в ряду и пробивать дополнительные ряды крепи. В нормальных условиях в средних частях пролетов камер пробивается не менее трех дополнительных рядов крепи. Они устанавливаются одновременно с основными в период отработки этих частей камер. Расстояние между стойками в дополнительных рядах такое же, как и в основных, но по длине они не доводятся до бортовых целиков на 15 м. В случае выемки пласта без оставления целиков между выемочными участками дополнительные ряды крепи пробиваются на всю длину лавы (камеры).

Деревянные стойки крепи камер должны устанавливаться под верхняки, назначение которых заключается прежде всего в придании крепи необходимой податливости. Минимально необходимая величина податливости крепи в камерах должна быть близкой к максимальному прогибу основной кровли, достигаемому к моменту отработки камеры 40 мм. При отсутствии такой податливости крепь может ока-

заться преждевременно поврежденной. Максимально допустимая величина податливости крепи определяется величиной критического прогиба кровли камер, при которой появляются трещины разлома, и не должна превышать 80 мм. Верхняки должны изготовляться из дерева мягких пород (ель, сосна, осина и т.п.). В качестве верхняков могут применяться обрезки досок, горбылей, распилов, расколочных рудничных стоек. Допускается применение составных (не более чем из двух частей) верхняков. Толщина верхняков должна быть 4–6 см, длина – 25 см, ширина – не менее диаметра стойки.

Установка крепи в камере должна производиться после отгрузки горной массы вслед за передвижкой конвейера. По мере продвижения погрузочной машины необходимо через 3 м устанавливать стойки временной крепи. Отставание временной крепи от места погрузки горной массы не должно превышать 20 м. Отставание постоянной крепи от забоя лавы допускается до 5 м, а перед подрубкой лавы оно должно быть не более 3 м. Подрубку лавы можно начинать лишь после установки постоянной крепи с отставанием не менее 10 м от места ее возведения.

После отработки камер крепь в них частично извлекается. Эта операция должна выполняться до момента окончания отработки следующей камеры.

Величины максимальных смещений кровли в камерах к моменту отработки колеблются в пределах от 30 до 60 мм и составляют в среднем 45 мм, включая смятие целика. В отработанных камерах непосредственно перед обрушением величина прогиба кровли находится в пределах 100–120 мм, включая смятие целика. Величина прогиба основной кровли к моменту отработки камеры достигает в среднем 40 мм; перед обрушением она составляет в зависимости от ширины камеры 80–100 мм, что соответствует наклону кровли около 6 мм на 1 м полупролета камеры, или 0,006. Осадка целиков изменяется в зависимости от их ширины в пределах от 10 до 45 мм. Приведенные данные позволяют ориентироваться при осуществлении контроля за устойчивостью кровли камер в процессе их отработки.

При обрушении непосредственной кровли возможность возникновения опасных воздушных ударов исключена, так как обрушение ее происходит отдельными участками ограниченных размеров. Кроме того, на середине пролета и у целиков перед обрушением в кровле образуются трещины разлома, через которые часть воздуха уходит вверх, заполняя пустоты, возникающие в результате оседания слоев подработанных пород.

#### 4.5. Дополнительные требования к управлению кровлей и креплению горных выработок в зонах карстовых нарушений, обводненных геологических трещин и скоплений напорных вод в кровле

В зонах трещиноватости карстовых нарушений (особенно если они обводнены), в местах обводненных тектонических трещин и скоплений напорных вод в кровле управление кровлей и крепление горных выработок осложнено: В этих случаях могут иметь место повышенное давление на крепь, заколы в кровле и вывалы пород на высоту от 0,4 до 0,8 м, а также приток воды в выработку до 3 м<sup>3</sup>/ч, в связи с чем для обеспечения безопасности ведения горных работ необходимо проводить дополнительные мероприятия по усилению крепи и повышению устойчивости кровли выработок. Влияние осложненных условий обнаруживается уже при проходке подготовительных и нарезных выработок. Наличие и степень осложнений должны быть отражены в горно-геологическом паспорте подготавливаемого к эксплуатации участка.

При отработке камер на участках с одной–тремя несближенными тектоническими трещинами, параллельными забоям лавы (трещины считаются несближенными, если расстояние между ними по нормали превышает 5 м), ширина их принимается обычной, но на середине пролета устанавливаются четыре дополнительных ряда крепи. При наличии в кровле двух сближенных, параллельных забоям лавы трещин необходимо устанавливать на середине пролета камеры пять дополнительных рядов крепи.

При ведении очистных работ на участках с обводненными тектоническими трещинами северо-западного простирания и в непосредственной близости (до 30 м) от карстовых зон допускается отставание крепи от забоя во время уборки горной массы до 4 м, а перед взрывными работами – не более 2 м. В этих случаях отставание временной крепи от места погрузки горной массы погрузочной машиной не должно превышать 15 м.

Образующиеся при проходке нарезных выработок вблизи карстовых нарушений заколы в дальнейшем затрудняют отход очистного забоя от нарушенных участков. Отход очистным забоем от разрезной печи при наличии зависшего нарушенного слоя вполне возможен и безопасен при соблюдении следующих условий. Консоль нарушенного слоя крепится анкерами, которые устанавливаются вдоль забоя с интервалом 1,5 м. Длина анкеров должна быть не менее 1,05 м.

Если при взятии очередного цикла консоль с анкерами не обрушилась, то перед производством следующего вруба должен устанавливаться ряд анкеров с тем же интервалом непосредственно у забоя. Уборка горной массы в таких местах должна производиться короткими участками длиной не более 6 м, с креплением кровли анкерами. Уборку горной массы на следующем участке разрешается производить только после завершения работ по креплению анкерами предыдущего. Указанные меры должны соблюдаться до тех пор, пока забой лавы не пройдет нарушенную зону и не удалится от нее на 6 м.

При наличии в кровле камеры слоев пород, разбитых косыми и горизонтальными трещинами на мелкие блоки, эти слои необходимо опустить или закрепить анкерами длиной не менее 1,05 м, установленными по сетке 1 x 1 м. Если слой этих пород постоянно обрушается при взрывных работах и подхватить его анкерами не представляется возможным, то при наличии экономической целесообразности можно такие участки обрабатывать с отгрузкой горной массы вручную.

В случае появления заколов при проходке бортовых штреков вдоль карстовых нарушений указанные штреки должны быть отнесены от карста с таким расчетом, чтобы зона дробления, максимальная ширина которой достигает 20 м при среднем значении 10 м, осталась в целике. Если в кровле бортовых штреков имеются заколы или вывалы, то при ведении очистных работ у таких нарушений в лаве необходимо оставить околострековый целик, ширина которого определяется величиной зоны нарушения. Обычно оказывается достаточной ширина целика, равная 3 м.

Существенно осложняется обработка камер при наличии в полостях между слоями непосредственной кровли скопления напорной воды. Величина гидронапора в таких водяных "мешках" составляет примерно 7 м вод.ст., а при подработке старых разведочных скважин, забитых в основании породой, достигает 25 м вод.ст. Наличие в кровле напорной воды приводит к значительному (в 2-4 раза) увеличению нагрузок на крепь. Проявление гидронапора всегда приурочено к обводненным трещинам. При подработке очагов напорной воды процесс оседания кровли и деформирования крепи в камерах развивается весьма интенсивно. В течение суток скорость смещения кровли возрастает до 30 мм/сут (нормальная скорость - 3 мм/сут), заметно возрастает смятие верхняков, происходит интенсивное разрушение стоек, а через 1-2 сут могут повлечься трещины разлома

в кровле. Такие явления могут наблюдаться практически при любом пролете камеры. Зоны подобных нарушений составляют до 30 x 60 м.

Во всех случаях внезапного возрастания нагрузок на крепь и смещений кровли, особенно при пролетах, меньших 30 м, необходимо немедленно пробурить дренажные шпуров глубиной 2 м с таким расчетом, чтобы они пересекли вторую водопродвижающую плоскость. Дренажные шпуров в этом случае следует бурить в местах поломки стоек и сильного сжатия верхняков. После дренирования кровли и замены поврежденной крепи работы в камере могут продолжаться по обычной технологии.

В процессе отработки камер следует проводить профилактический дренаж, для чего по мере отхода лавы от целика нужно бурить в кровлю каждой камеры по два шпуров глубиной не менее 2 м. Шпуров следует располагать в 15-20 м от оси сборного штрека на 12-18 м от заднего целика.

#### 4.6. Контроль за состоянием кровли и крепи камер

Кровля камер прогибается плавно по всему пролету. Максимум кривой смещений кровли несколько сдвинут к заднему целику. Нарастание смещений кровли происходит, как правило, равномерно. Скорость опускания кровли зависит от гидрогеологических условий и от характеристики крепи в камере. Величины критических смещений кровли достаточно стабильны и могут быть использованы для установления критерия оценки ее состояния. Таким критерием может являться наклон кровли, под которым понимается отношение разности величин смещений двух точек кровли к горизонтальному расстоянию между ними, выраженное в мм на 1 м.

На рис. 4.4 приведен график критических наклонов кровли камер, построенный по данным натурных измерений. При этом наклоны вычислены как отношения величин смещения кровли в данной точке к расстоянию до ближайшей опоры. Этот график позволяет определить величину критического наклона кровли в разных точках по ширине камеры. Вблизи середины пролета камеры величина критического наклона кровли равна 4 мм/м. По найденной на графике (см. рис. 4.4) величине критического наклона можно определить величину критического опускания кровли. Так, при ширине камеры 34 м для середины пролета она составляет  $34 \times 0,5 \times 4 = 68$  мм.



При достижении величины критического наклона кровли или соответствующей ему величины ее критического опускания работ в камере должны быть прекращены. Однако если это связано с проявлением влияния гидронапора, то при пролетах камер до 30 м очистные работы могут быть возобновлены после выпуска воды из кровли.

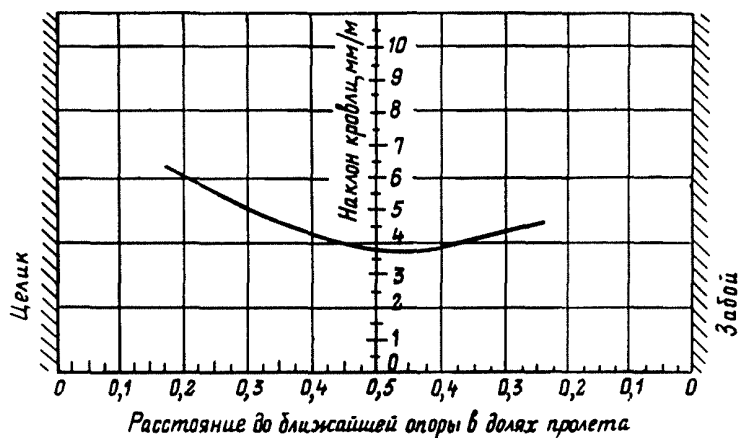


Рис. 4.4. Изменение наклона кровли по ширине камеры

Контрольные измерения опускания кровли должны осуществляться контрольно-измерительными стойками и начинаться при отходе забоя от целика на 18–20 м. Контрольно-измерительные стойки должны устанавливаться в камерах в 14–15 м от целика. По длине забоя желательно иметь три наблюдательные станции: одну у сборного штрека и по одной на середине длины каждой камеры. При отработке камер только в одном столбе измерительную стойку следует устанавливать по середине длины камер этого столба. В случае наличия только одной стойки ее следует устанавливать в 8–10 м от сборного штрека. При указанной установке контрольно-измерительных стоек первоначальный отсчет необходимо производить не с нуля, а с 15 мм, что соответствует средней величине смещения кровли в этой точке к моменту установки стойки. Контроль за смещениями кровли осуществляется горными мастерами ежемесячно с занесением данных в специальный журнал.

Оценку состояния кровли камеры и установление опасности ее обрушения можно весьма надежно и своевременно осуществлять по состоянию крепи в центральных частях камер. Нормальное состояние кровли характеризуется отсутствием поломанных стоек, за исключением отдельных стоек с дефектами, рассредоточенных по всему выработанному пространству камеры, а не сконцентрированных на каком-либо участке. Появление и непрерывное увеличение числа поломанных стоек в средней части камеры при полном смятии верхняков на соседних с ними стойках является признаком критического состояния кровли. Чаще всего крепь разрушается сначала на участках размером по длине камеры до 40 м и шириной до 10 м в центральных частях камер возле сборного штрека. Если в одном месте средней части пролета камеры на участке площадью 80 м<sup>2</sup> (8 x 10 м) и менее поломано свыше 30% стоек, очистные работы в ней должны быть прекращены. Это указание не касается поломки стоек вследствие действия гидронапора.

В тех случаях, когда полом стоек вызван действием гидронапора, необходимо принять меры по спуску воды. Отличительными признаками действия гидронапора является следующее:

участки с поврежденной крепью расположены не в центральной части лавы;

разрушение крепи происходит быстро, и в течение 1–2 сут количество поломанных стоек достигает 30%, причем площадь с нарушенной крепью имеет ограниченные размеры (до 30 x 60 м);

наличие сосредоточенных повреждений крепи при пролетах камеры менее 30 м.

Общее состояние кровли камер следует оценивать только по двум факторам: наклону кровли и состоянию крепи. Видимое хорошее состояние непосредственной кровли не является показателем ее хорошей устойчивости, поскольку до самого обрушения она сохраняется без видимых следов нарушения.

## 5. ТЕХНОЛОГИЧЕСКИЕ ПРОЦЕССЫ ОЧИСТНЫХ РАБОТ И СРЕДСТВА МЕХАНИЗАЦИИ

### 5.1. Погрузка горной массы

Погрузка взорванной горной массы производится в очистном забое погрузочной машиной на скребковый конвейер. При выемке

пласта мощностью более 1,6 м рекомендуется применять погрузочную машину ППНБ-2, а более 1,8 м возможно применение и погрузочной машины ЗПНБ-2 (табл. 5.1).

Т а б л и ц а 5.1

Техническая характеристика погрузочных машин

Параметры	ППНБ-2	ЗПНБ-2
Теоретическая производительность, м <sup>3</sup> /мин	2,66	3,27
Ширина покла, мм	1600	1800
Рабочая ширина желоба конвейера, мм	535	650
Скорость движения машины, м/мин:		
рабочая	9,9	9,8
маневровая	17,9	16,8
Высота разгрузки, мм:		
максимальная	2800	2980
минимальная	150	490
Мощность электропривода, кВт:		
ходовой части гидронаоса	11	20
заборно-погрузочной части скребкового конвейера	20	1x15
Общая установленная мощность, кВт	31	65
Габаритные размеры, мм:		
длина	7100	7800
ширина	1600	1800
высота (мин/макс)	1200/2800	1450/2980
Масса, кг	6750	11840

Выбор типа и количества погрузочных машин в очистном забое, а также определение их производительности производится согласно "Практическому руководству по выбору типа погрузочных машин с нагребными лапами для условий сланцевых шахт" (1972 г.).

Ширина полосы взорванной горной массы, т.е. расстояние между забоем и скребковым конвейером, составляет 4-5 м в зависимости от горно-геологических условий. Часть горной массы (около 4%) при взрыве попадает на конвейер и таким образом грузится без участия погрузочной машины. Во избежание пспадания части горной массы за конвейер во время взрывных работ к секциям скребкового конвейера со стороны выработанного пространства крепятся борты из резиновой ленты. При погрузке горной массы целесообразно применять следующую схему (рис. 5.1):

начинать погрузку со стороны сборного штрека, осуществляя при этом очередность заходов, указанную на рис. 5.1;

сразу после окончания погрузки перегонять погрузочную машину обратно в исходное положение с одновременной зачисткой почвы перед конвейером.

## 5.2. Доставка горной массы

Доставка горной массы вдоль лавы осуществляется скребковыми конвейерами. Выбор типа и числа скребковых конвейеров производится с учетом типа и числа применяемых погрузочных машин, их технической производительности и длины лавы.

Основные технические данные наиболее приемлемых для условий сланцевых шахт скребковых конвейеров приведены в табл. 5.2.

Т а б л и ц а 5.2

Техническая характеристика скребковых конвейеров

Тип	Производительность, т/ч	Длина при двух лангателях в горизонтальной установке, м	Мощность привода, кВт	Завод-изготовитель	Примечание
СП-63	260	140	2x45 (2x32)	"Свет шахтера"	Серийный
СП-63м	300	110	2x45	"Свет шахтера"	То же
СП-80к	300	160	2x55	Анкерский	"-

При применении в одной лаве погрузочной машины ППНБ-2 (или ЗПНБ-2) при длине лавы до 110-120 м целесообразно использование скребкового конвейера СП-63м.

В счетверенных камерах-лавах транспорт вдоль забоя в смежных камерах-лавах, расположенных по одну сторону от сборного штрека, целесообразно осуществлять с помощью двух последовательно установленных скребковых конвейеров, причем первый из них от сборного штрека должен быть мощнее и производительнее второго.

Передвижка конвейера производится после бурения шпуров в забое. Конвейер передвигается в сторону забоя с помощью врубовой машины одновременно с перегонем машины в исходное положение

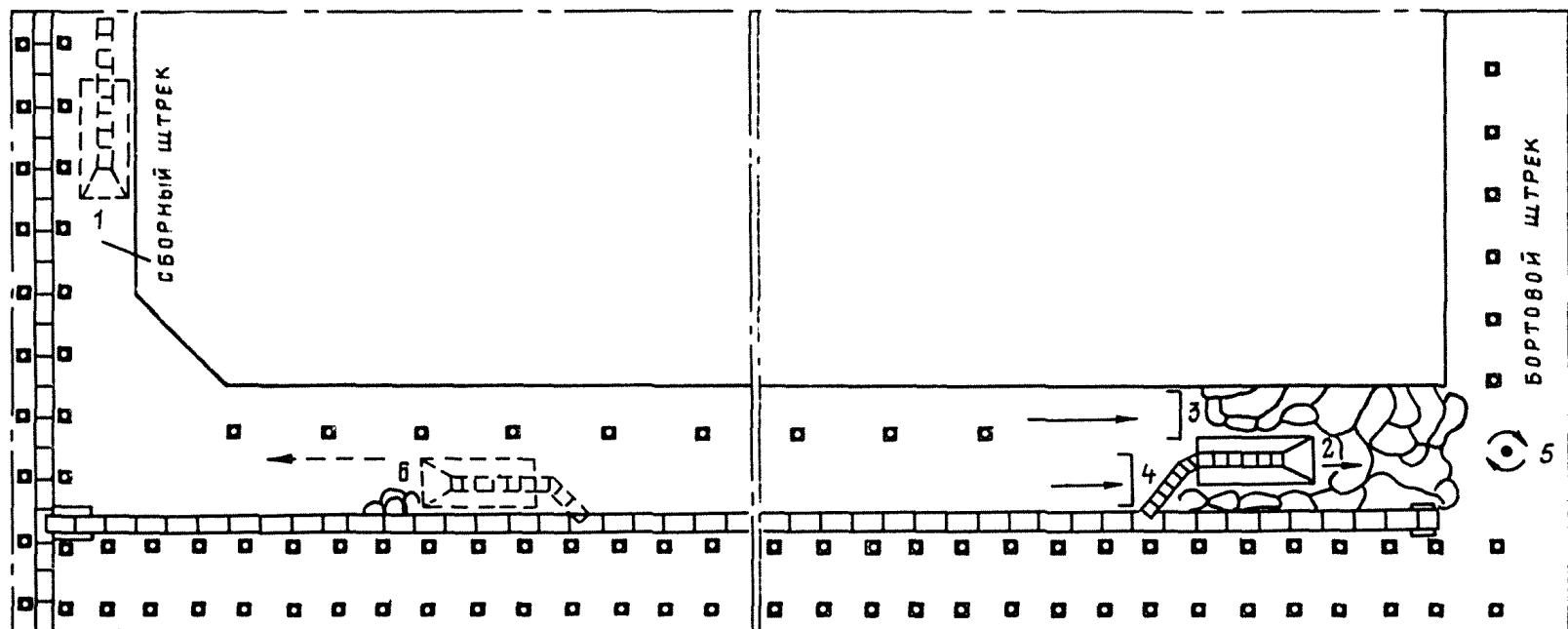


Рис. 5.1. Схема загрузки горной массы погрузочной машиной ПНБ-2:

1 - исходное положение погрузочной машины; 2, 3, 4 - направление и очередность заходов при загрузке горной массы; 5 - место разворота погрузочной машины; 6 - направление переезда машины с зачисткой у решеток конвейера

ние. Можно применять специальные домкраты. Передвижку можно производить также с помощью привода самого конвейера и тросового приспособления, если это допускается правилами эксплуатации скребкового конвейера конкретного типа. Направление передвижки в камере-лаве зависит от принятой схемы организации работ на данном участке.

### 5.3. Бурение забоя

Фронт для бурения забоя создается по мере отгрузки из него горной массы. Для бурения применяются бурильные установки на колесном ходу типа УБРС-1, передвигаемые вручную и выпускаемые ремонтно-механическим заводом ЛПО "Ленинградсланец". Расположение и глубина шпуров приводятся в паспорте буровзрывных работ.

В связи с тем, что паспортом БВР предусмотрено бурение двух рядов шпуров (по I-му слою и мергелистому сланцу над плитой), установки УБРС-1 выпускаются соответственно в модификациях для верхнего и нижнего бурения. В одной лаве, как правило, находится комплект из двух установок.

С целью повышения производительности процесса бурения в камерах-лавах целесообразно применять бурильную установку БУА-3с, производительность которой равна производительности комплекта из двух установок УБРС-1.

Техническая характеристика бурильных установок приводится в табл. 5.3, схемы бурения забоя - на рис. 5.2. Направление движения установок при бурении зависит от принятой на участке организации работ.

### 5.4. Крепление выработок

Устойчивость пород непосредственной кровли в камерах-лавах обеспечивается деревянной стоечной крепью.

В паспорте крепления камеры-лавы указываются параметры основной и временной крепи на различных стадиях первого и последующих циклов (во время отгрузки горной массы, до и после передвижки скребкового конвейера, во время зарубки пласта и взрывных работ). Кроме того, в паспорте приводятся схема крепления стоек камер-лавы со сборным и бортовым штреками и способ крепления конвейерного става в забое. Размеры стоек и плотность крепи определяются согласно разделу 4.

Т а б л и ц а 5.3

Техническая характеристика бурильных установок для ПО "Ленинградсланец"

Показатели	БУА-3с	УБРС-1
Число бурильных машин	I	I
Высота бурения, м	0,08-3,40	$\frac{1,45-1,70^x)}{0,87-1,05}$
Способ бурения	Электровращательный	
Диаметр шпура, мм	42-44	
Мощность привода вращателя, кВт	7,5	3,0
Ход подачи, м	2,5	1,8-2,2
Способ подачи	Гидравлическая	Ручная
Максимальное усилие подачи, кгс	1000	150
Скорость подачи вращателя, м/с	0-0,25	0-0,08
Скорость обратного хода вращателя, м/с	0,50	
Тип ходовой части	Гусеничная	Шневоколесная
Привод ходовой части	Электрический	Ручной
Мощность привода ходовой части, кВт	II	-
Скорость передвижения, м/с	0,5	-
Габариты установки в транспортном положении, м:		
высота	1,40	$\frac{1,2-1,75}{1,17-1,35}$
ширина	1,40	1,2
длина	7,35	3,15
Масса установки, кг	5250	$\frac{445}{425}$

x) В числителе - для бурения верхних шпуров, в знаменателе - нижних.

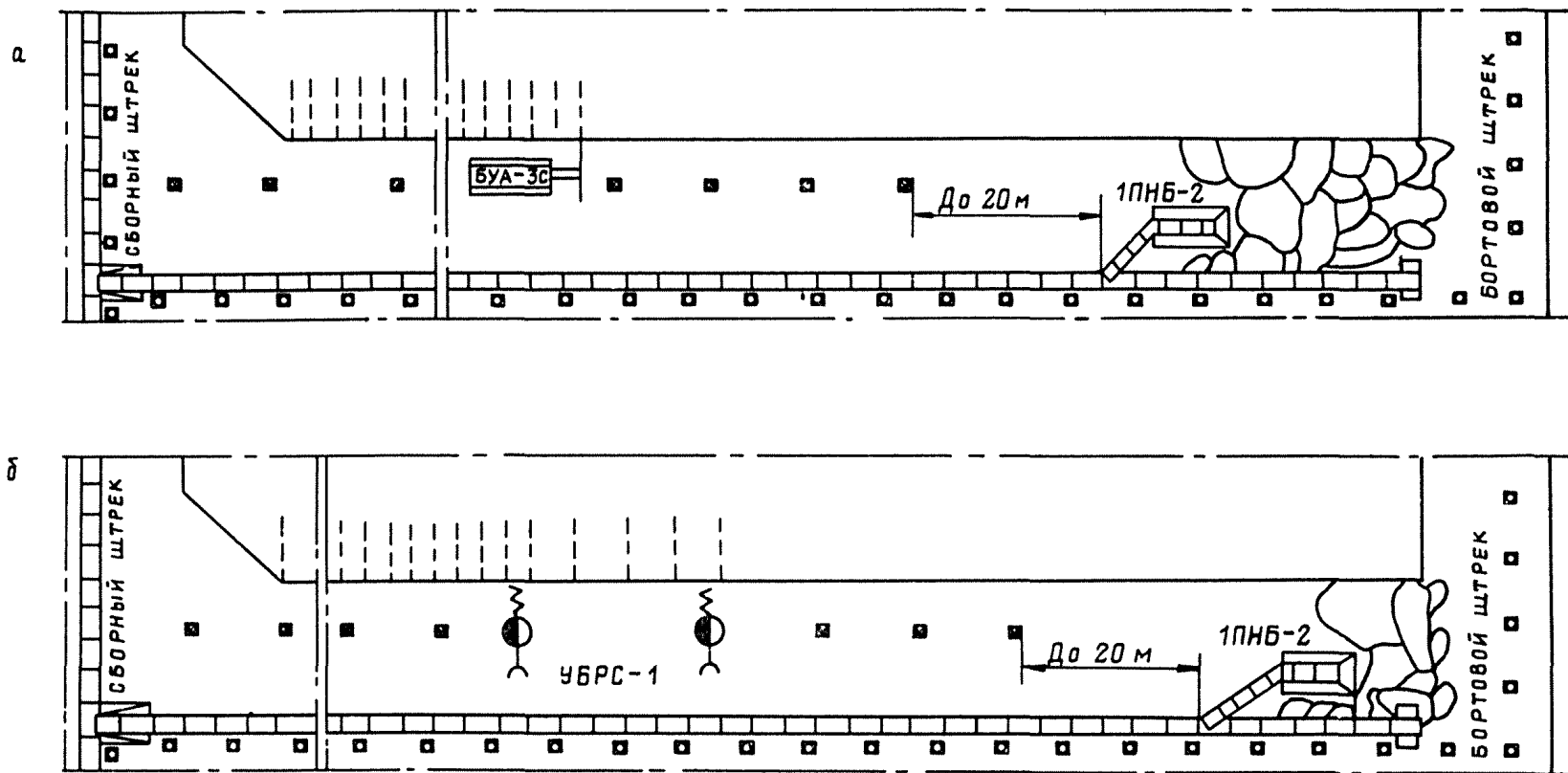


Рис. 5.2. Схема бурения забоя:

а - бурение забоя с БУА-3с; б - бурение забоя с помощью УБРС-1

С целью обеспечения податливости деревянных стоек последние устанавливаются под верхняк-подкладку. Установка постоянной крепи производится на каждом цикле вслед за передвижкой конвейера. Возведение постоянной крепи должно опережать подрубку пласта не менее чем на 10 м и не отставать более чем на 3 м от ряда временной крепи. В нормальных горно-геологических условиях отставание последнего ряда крепи от забоя не должно превышать 5 м.

Учитывая влияние междуканнерных целиков на поддержание кровли в камере-лаве, применяют различную густоту постоянной крепи. В рядах вблизи целиков применяется увеличенное расстояние между стойками, в сторону середины пролета сокращается расстояние между стойками и в середине пролета камеры-лавы устанавливаются еще три-четыре дополнительных ряда стоек (рис. 5.3). Дополнительные ряды устанавливаются одновременно с основными и не доводятся до бортовых целиков на 15 м.

Временная крепь, деревянные стойки с подкладкой устанавливаются, как правило, через 3 м друг от друга и с отставанием от погрузочной машины не более чем на 15 м. После передвижки скребкового конвейера деревянные стойки в камере-лаве устанавливаются вплотную к конвейеру. Стойки, выбитые по разным причинам в лаве и в сборном штреке, восстанавливаются до начала работ.

В разрезных штреках перед началом обработки очередной камеры-лавы полностью восстанавливается анкерная крепь; в это же время на сборном штреке устанавливаются два дополнительных ряда анкерной крепи. Извлечение анкеров в этих выработках производится одновременно с извлечением деревянной крепи.

Извлечение деревянных стоек из отработанных камер-лав производится согласно специальному проекту, утвержденному главным инженером шахты. После извлечения крепи каждая камера-лава должна быть изолирована органическим рядом стоек в сборном и бортовом штреках и в монтажных печах.

В ходе очистных работ необходимо постоянно следить за состоянием кровли камер-лав. Контроль производится в соответствии с разделом 4.1.

### 5.5. Зарубка очистного забоя

Зарубка пласта обеспечивает увеличение подвигания забоя за взрыв и выход крупнокусковой горной массы, а также экономию взрывчатых материалов. Для зарубки предусмотрено применение вру-

бовой машины "Урал-33", техническая характеристика которой приведена ниже.

Длина бара, м	2,0
Скорость движения режущей цепи, м/с:	
рабочая	2,96
эспомогательная	1,59
Скорость подачи, м/мин:	
рабочая	0-2,8
маневровая	0-8,1
Рабочее тяговое усилие на канате, кгс	1200-1600
Электродвигатель:	
тип	ЭДК4-1м
мощность, кВт	93
Габаритные размеры, мм:	
длина в рабочем положении (с раскльбовщиком)	4000
длина в транспортном положении с баром длиной 2 м	7670
ширина	720
высота	400
масса, т	4,3

Зарубку пласта производят по нижней части пачки Ш, оформляя тем самым почву очистной выработки. Перед началом зарубки врубовая машина перегоняется в исходное положение одновременно с передвижкой скребкового конвейера (рис. 5.4, а). Зарубка забоя начинается после передвижки конвейера и установки ряда постоянной крепи (рис. 5.4, б). При этом последняя должна быть установлена с опережением не менее чем на 10 м от места зарубки. Во избежание оседания зарубленного массива до взрывных работ во врубовую щель устанавливаются через 6 м деревянные подшашки. Направление зарубки, как правило, принимается от сборного штрека к бортовому, но допускается и обратное направление; это зависит от принятой на участке схемы организации работ. Параметры зарубки (место и глубина щели, расположение подшашек) указываются в паспорте буровзрывных работ, увязка зарубки с возведением крепи указывается в паспорте управления и крепления кровлей.

### 5.6. Взрывные работы

Разрушение промышленного пласта производится взрывным способом. После зарубки забоя ранее пробуренные шпуровые заряды

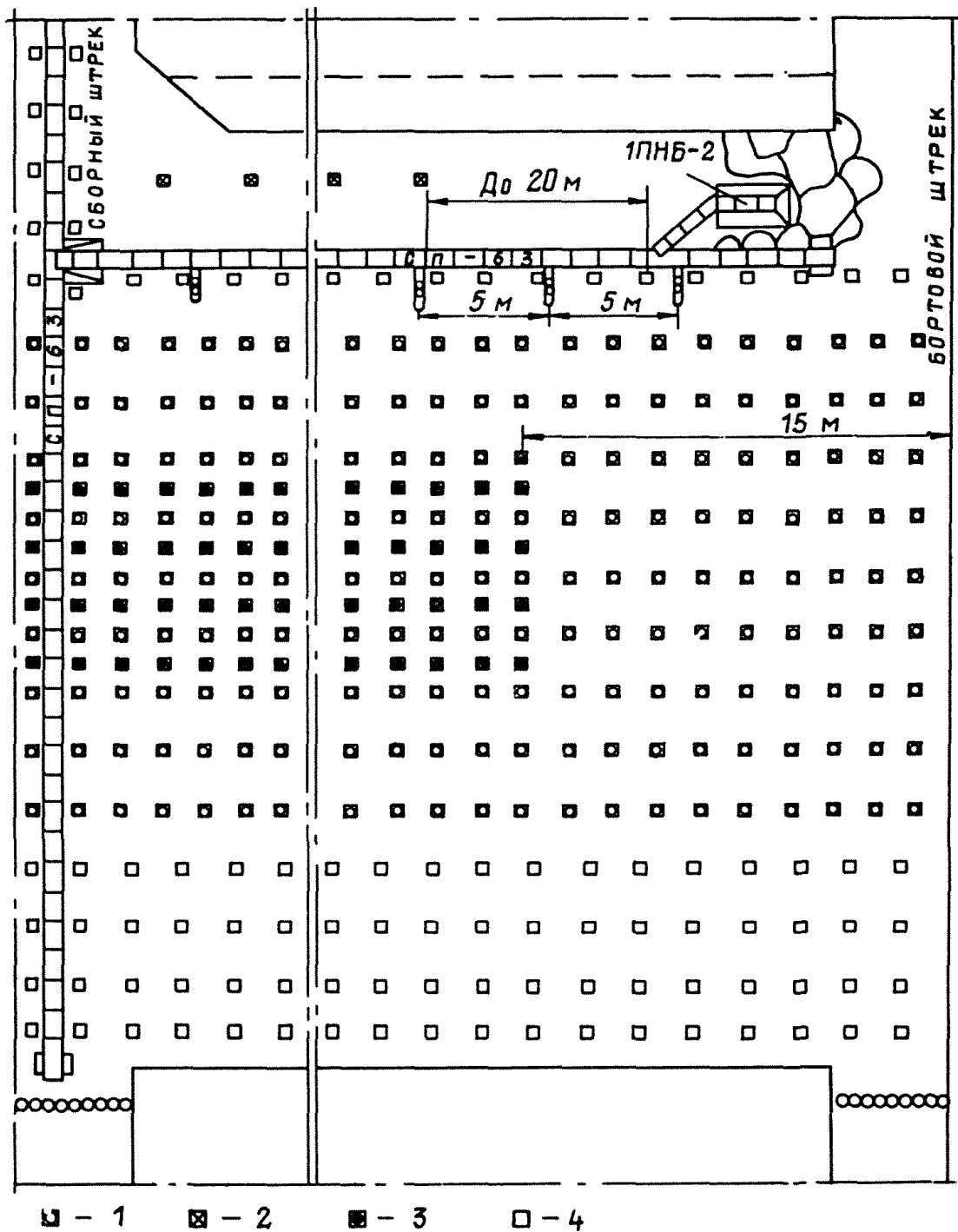


Рис. 5.3. Схема установки деревянной стоечной крепи в камере-лаве:

1 - основные ряды деревянной стоечной крепи; 2 - временная деревянная крепь у забоя; 3 - дополнительные ряды крепи в середине камеры-лавы; 4 - ряды деревянной крепи с увеличенным расстоянием между стойками в ряду в начале и конце камеры-лавы

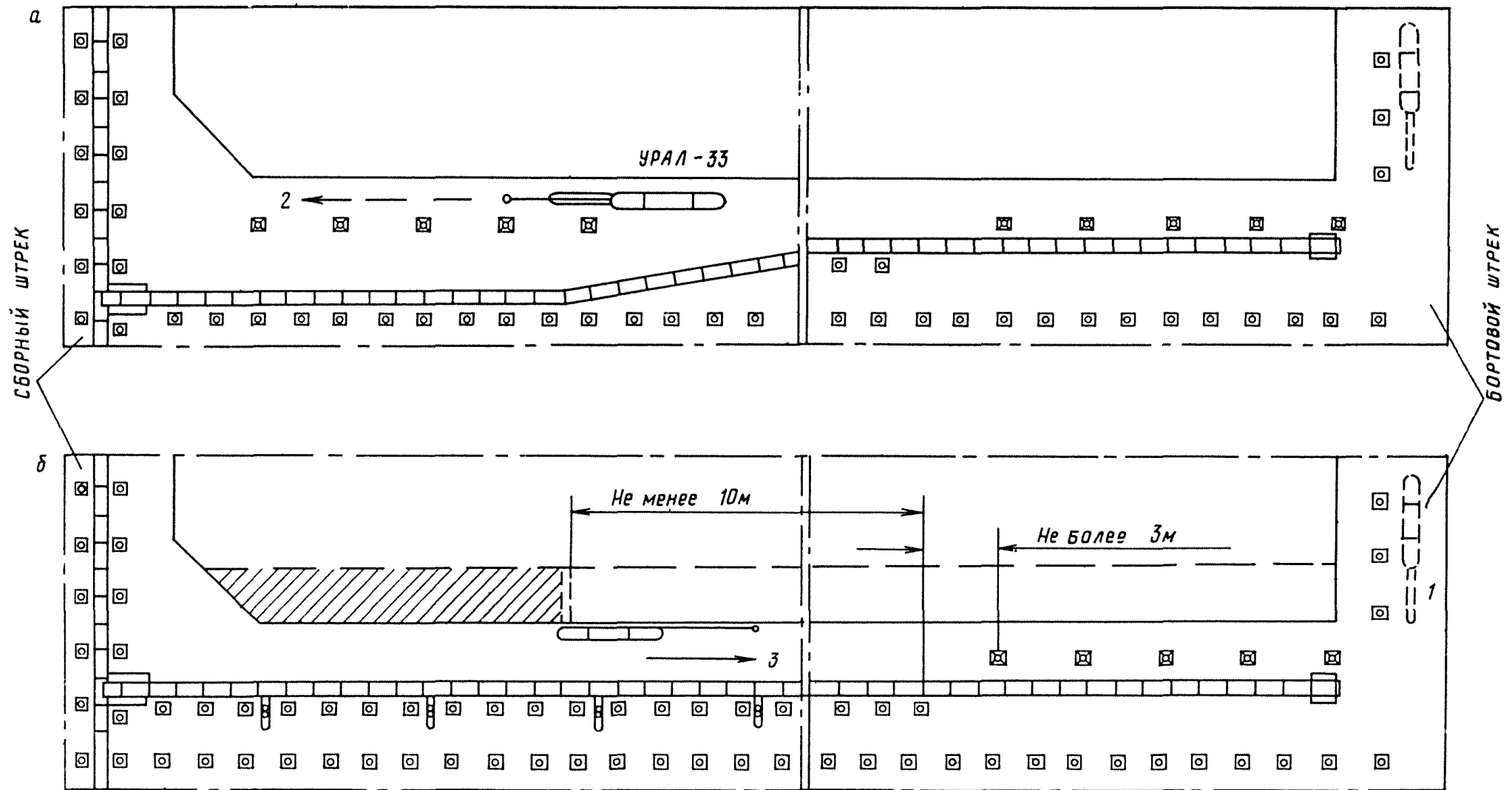


Рис. 5.4. Схема зрубки пласта:

а - перегона врубовой машины; б - подрубка пласта; 1 - исходное положение; 2 - направление перегона;  
3 - направление зрубки



вручную патронированным ВВ, монтируется электровзрывная сеть и производится взрывание. Взрывание забоя лавы, как правило производится в несколько приемов. Длина участка, взрываемого за один прием, определяется в основном мощностью конвейера. Для скребковых конвейеров типа СП-63м длина участка составляет 20-30 м.

Для проведения взрывных работ необходимо иметь соответствующую техническую документацию. Перечень, порядок составления и оформления документации определяются "Инструкцией по оформлению документации на производство взрывных работ в подготовительных и очистных забоях шахт ПО "Ленинградсланец" (1976 г.).

Количество взрывчатого вещества и средств взрывания определяется по "Инструкции по расчету норм расхода взрывчатых материалов" (1981 г.). При необходимости применяется опытное взрывание. Паспорт буровзрывных работ утверждается главным инженером шахты.

Обеспечение условий безопасности при взрывных работах достигается соблюдением требований "Единых правил безопасности при взрывных работах" (1967 г.) и "Руководства по безопасному применению короткозамедленного взрывания и предупреждению взрывов пыли на шахтах Прибалтийского бассейна" (1975 г.). Эти условия также должны быть отражены в паспорте буровзрывных работ.

Для обеспечения безопасности ведения взрывных работ в пылеопасных сланцевых шахтах требуется выполнение ряда специальных мероприятий. В конструкции заряда дополнительно к глиняной запирающей забойке предусмотрено применение гидроампулы. Одновременно с заряданием шпуров очередного взрываемого участка в начале этого участка (со стороны взорванного забоя) устанавливаются водораспылятельные сосуды емкостью 40-50 л.

Эти мероприятия выполняются согласно "Руководству по безопасному применению короткозамедленного взрывания и предупреждению взрывов пыли на шахтах Прибалтийского сланцевого бассейна" (1975 г.). Доставка, хранение, учет и использование ВВ при проведении взрывных работ производится согласно "Инструкции по устройству и эксплуатации подземных раздаточных камер и участков пунктов хранения взрывчатых материалов на угольных и сланцевых шахтах" (1978 г.).

### Пример расчета паспорта буровзрывных работ

Для условий камер-лав примерный расчет паспорта буровзрывных работ целесообразно производить следующим образом.

Сначала определяются исходные данные для расчета: прочность пород, вынимаемая мощность, подвигание забоя за цикл (глубина вруба), длина лавы.

Прочность пород принимается по шкале Протодьяконова для сланца 2-4, для известняка 6-8. Вынимаемая мощность при выемке пачек I-III принимается I,8 м.

Глубина вруба определяется подвиганием забоя за цикл. Последнее в свою очередь определяется величиной максимально допустимого незакрепленного пролета у забоя - 5 м. Отсюда следует, что рациональная величина подвигания за цикл составляет I,9 м (с небольшим резервом). Высота вруба - 0,14 м. Длину лавы принимаем равной 100 м.

Удельный расход ВВ определяется согласно "Инструкции по расчету норм расхода взрывчатых материалов" и составляет 0,46 кг на I м<sup>3</sup>.

Количество горизонтальных рядов шпуров при вынимаемой мощности  $\leq 1,9$  м составляет 2, расстояние между зарядами в горизонтальном ряду в среднем - I,35 м. Общее число зарядов в двух рядах составляет тогда 148 шт.

Нижний горизонтальный ряд шпуров располагается в нижней части пачки III, и для обеспечения подвигания забоя, равного глубине вруба, их длину целесообразно принимать на 0,1 м больше глубины вруба, т.е. 2,0 м. Эти шпуры располагают горизонтально (рис. 5.5). Из тех же соображений длину верхнего горизонтального ряда шпуров, расположенного в ложной кровле, целесообразно принимать равной 2,2 м. Эти шпуры расположены наклонно, с подъемом 5° от горизонтальной плоскости. Лава длиной 100 м взрывается за 4 приема. Расход ВВ на лаву по приемам взрывания и по шпурам приводится в табл. 5.4.

В начале лавы, со стороны сборного штрека, расположены три шпура для образования ниши на сопряжении со сборным штреком. Эти шпуры располагают со стороны сборного штрека (см. рис. 5.5).

Т а б л и ц а 5.4

Расход ВМ на цикл в одной лаве

Приемы взры- вания	Показатели по шпурам						
	Электродетона- торы		Номер шпуров	Длина шпура, м	Заряд на шпур, кг	Величина за- бойки	
	Степень замедле- ния	Коли- чество				Глина, см	Гидро- ампу- лы, шт.
I	О	I	1н	2,0	0,9	15	2
	П	I	2н	2,0	0,9	15	2
	У	I	3н	2,0	0,9	15	2
	О	9	1, 5, 9...33	2,0	1,2	50	18
	П	9	3, 7, 11...35	2,0	1,2	50	18
	IУ	9	2, 6, 10...34	2,2	0,9	50	18
	У	9	4, 8, 12...36	2,2	0,9	50	18
За прием -		39	39 шт.	81,6	40,5		78
II	О	2	2 сосуда	-	0,3	-	-
	О	10	37, 41, 45...73	2,0	1,2	50	20
	П	10	39, 43, 47...75	2,0	1,2	50	20
	IУ	10	38, 42, 46...74	2,2	0,9	50	20
	У	10	40, 44, 48...76	2,2	0,9	50	20
За прием -		42	40 шт.	84,0	42,6		80
III	О	2	2 сосуда	-	0,3	-	-
	О	9	77, 81, 85...109	2,0	1,2	50	18
	П	9	79, 83, 87...111	2,0	1,2	50	18
	IУ	9	78, 82, 86...110	2,2	0,9	50	18
	У	9	80, 84, 88...112	2,2	0,9	50	18
За прием -		38	36 шт.	75,6	38,4		72
IУ	О	2	2 сосуда	-	0,3	-	-
	О	9	113, 117, 121...145	2,0	1,2	50	18
	П	9	115, 119, 123...147	2,0	1,2	50	18
	IУ	9	114, 118, 122...146	2,2	0,9	50	18
	У	8	116, 120, 124...144	2,2	0,9	50	16
За прием -		37	35 шт.	73,4	37,5		70
За цикл -		156	150	314,6	159,0		300

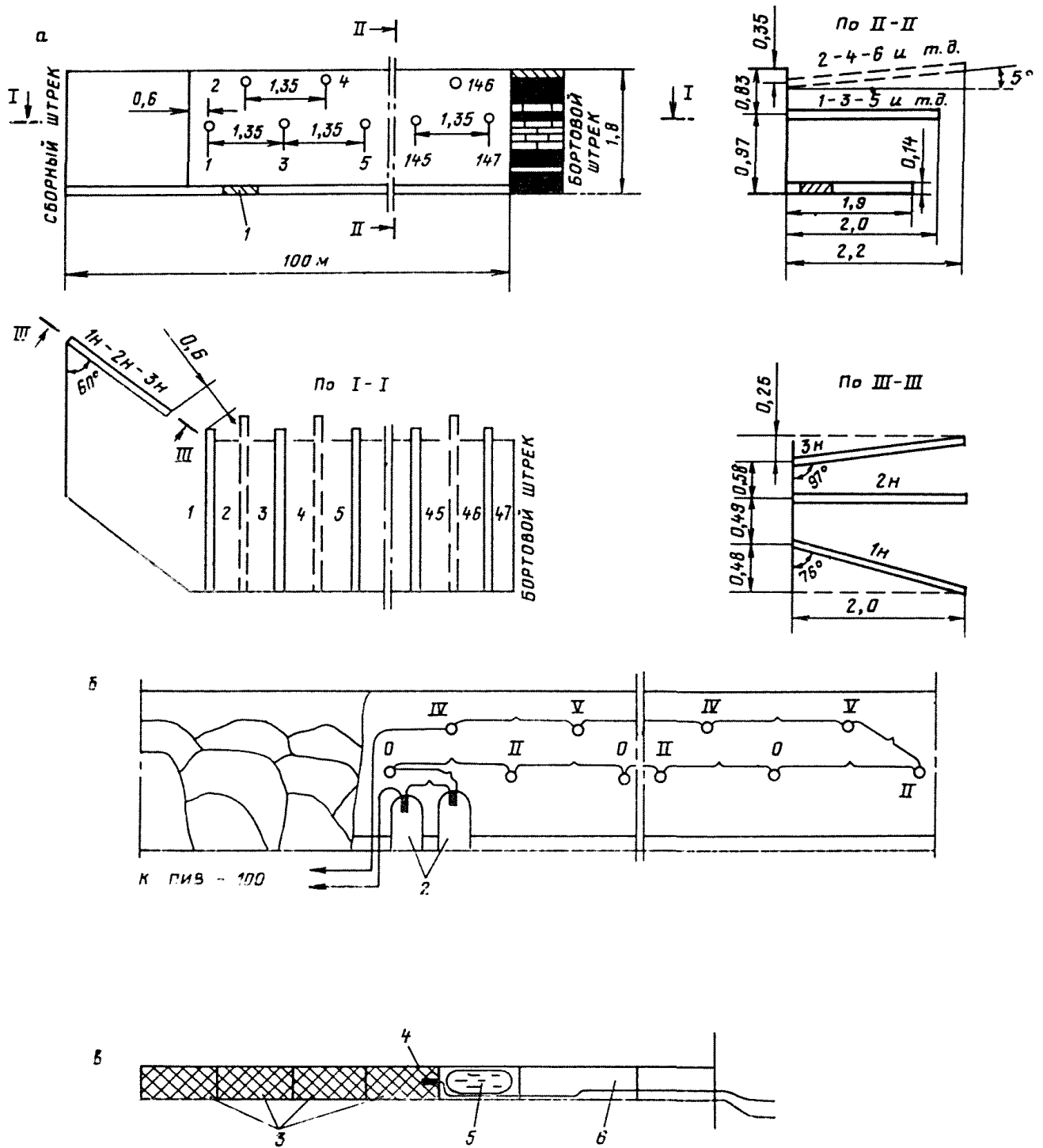


Рис. 5.5. Схема расположения шпуров и водораспылительных сосудов в забое камеры-лавы;

а - схема расположения шпуров; б - схема расположения водораспылительных сосудов и монтажа электровзрывной сети на один прием; в - конструкция заряда; г - деревянная подкладка для крепления врубовой пилы; 2 - сосуд для водораспыления; 3 - патроны ВВ; 4 - электродетонатор; 5 - гидрозасылка; 6 - запрещающая забойка

## 6. УЧАСТКОВЫЙ ТРАНСПОРТ

После определения количества и массы зарядов, а также количества и типа электродетонаторов необходимо провести проверочный расчет сопротивления электровзрывной сети, монтируемой на один прием взрывания. Для примера выбираем исходные данные I приема взрывания (см. табл. 5.4).

Общее сопротивление сети (Ом) равно

$$R = n_{1дет} \cdot R_{1дет} + n_{2дет} \cdot R_{2дет} + \frac{2L_M \cdot \gamma_M}{S_{пр}},$$

где  $n_{1дет}$  - количество детонаторов ЭД-8а (0 ступень);  $n_{1дет} = 10$ ;  
 $R_{1дет}$  - среднее сопротивление детонаторов ЭД-8а, Ом;  $R_{1дет} = 3,0$ ;  
 $n_{2дет}$  - количество детонаторов ЭДКЗ-25;  $n_{2дет} = 29$ ;  
 $R_{2дет}$  - среднее сопротивление детонаторов ЭДКЗ-25, Ом;  
 $R_{2дет} = 2,5$ ;  
 $L_M$  - длина магистрального провода; принимается 400 м;  
 $\gamma_M$  - удельное сопротивление меди, Ом·мм<sup>2</sup>;  $\gamma_M = 0,0175$ ;  
 $S_{пр}$  - площадь сечения магистрального провода; принимаем 0,75 мм<sup>2</sup>.

Сопротивление сети составляет

$$R = 10 \cdot 3,0 + 29 \cdot 2,5 + \frac{2 \cdot 400 \cdot 0,0175}{0,75} = 121,2 \text{ Ом.}$$

Для измерения сопротивления взрывной сети применяется измерительный мост Р-353 с пределом измерения 30-3000 Ом (табл. 5.5), для взрывания пласта - взрывная машинка типа ШВ-100, рассчитанная на максимальное допустимое сопротивление 320 Ом и максимальное число электродетонаторов 100 штук. При сопротивлении сети  $R \leq 100$  Ом можно применять и взрывной испытатель ВИО-3.

Таблица 5.5

Характеристика контрольно-измерительных приборов

Показатели	Р-353	ВИО-3
Пределы измерения, Ом	0,3-30 30-3000	100 (максимально)
Точность, %	5	
Масса, кг	1,3	0,54

### 6.1. Конвейерный транспорт по сборному штреку

Транспортирование горной массы по сборному штреку при данной технологии производится с помощью ленточных конвейеров. Технические характеристики конвейеров, в наибольшей степени отвечающих условиям оланцевых шахт, приведены в табл. 6.1.

Таблица 6.1

Техническая характеристика ленточных конвейеров

Модель конвейера	Приемная способность при стационарной установке, м <sup>3</sup> /мин	Ширина ленты, мм	Скорость движения ленты, м/с	Техническая производительность, т/ч		Допустимая длина для конвейера при угле наклона выработки 0°, м	Суммарная мощность двигателя, кВт
				номинимальная	максимальная		
2ЛВ0	7,2	800	1,6	320	320	950	80
	9,3	800	2,0	340	400	800	80
ЛД100К	11,2	1000	1,6	420	475	1100	100
КЛЗ-500ПМА	-	1000	2,26	500	-	400	75

Основными технологическими требованиями, предъявляемыми к конвейерам при их выборе, являются: возможность приема на несущий орган конвейера максимальных минутных грузопотоков без просыпания горной массы на почву и обеспечения нормального режима работы привода и ленты в периоды максимального поступления горной массы на конвейер. В соответствии с этими требованиями основными техническими параметрами, по которым выбираются конвейеры, являются их приемная способность (т/мин) и техническая производительность (т/ч). Под приемной способностью конвейера понимается количество горной массы, которое может принять в единицу времени (минуту) движущаяся лента при наибольшем допустимом заполнении ее грузом. Приемная способность для каждого типоразмера конвейера является постоянным параметром, который определяется скоростью движения ленты и ее геометрическими размерами - шириной и углом наклона боковых роликов - и приводится в заводских характеристиках (м<sup>3</sup>/мин). Для определения при-

емной способности последние необходимо умножить на плотность транспортируемой горной массы в разрыхленном состоянии (насыпная масса). При полустационарной установке конвейера, когда необходимо обеспечивать центрирование ленты, рекомендуется принимать приемную способность на 10% меньше расчетной. Для обеспечения приема горной массы на ленту конвейера без просыпания ее на почву сборного штрека необходимо, чтобы приемная способность конвейера была не менее максимального минутного грузопотока, поступающего на этот конвейер.

Техническая производительность конвейера является переменным параметром, зависящим от его длины и угла наклона выработки. При установлении диапазона применения технической производительности конвейера заводами-изготовителями учитываются такие конструктивные параметры, как мощность привода и прочность ленты.

Выбор конвейера по технической производительности заключается в установлении допустимой (по мощности привода, прочности ленты и другим конструктивным параметрам) длины конвейера для конкретных горно-геологических условий работы в случае наибольшей загрузки ленты горной массой, поступающей из обеих лав в наиболее производительную смену цикла. В связи с тем, что в заводских характеристиках показана зависимость допустимой длины конвейера от угла его установки и величины равномерного часового грузопотока, а фактический грузопоток, поступающий на конвейер, неравномерный, необходимо сначала расчетным путем установить величину условного равномерного грузопотока (эксплуатационную производительность), эквивалентную величине фактического максимального неравномерного грузопотока. После этого по заводской характеристике, соответствующей технической производительности, равной или близкой к расчетной эксплуатационной производительности (не превышающей ее), можно установить допустимую длину конвейера для данных условий.

Выбор конвейера по приемной способности и технической производительности должен производиться для конкретной камеры-лавы по методике, изложенной в "Основных положениях по проектированию подземного транспорта новых и действующих угольных шахт" (1977 г.).

Поступающие на сборный конвейер суммарные минутные грузопотоки, создаваемые погрузочными машинами, зависят от типа и числа

одновременно работающих машин. Поскольку расчетных методов определения суммарных грузопотоков, создаваемых работой погрузочных машин, нет, то они определяются опытно-расчетным приемом.

По данным хронометражных наблюдений установлено, что суммарный максимальный грузопоток при работе двух погрузочных машин ППНБ-2 (спаренные камеры-лавы) составляет 6,5-7,0 т/мин, при работе четырех погрузочных машин ППНБ-2 (четверенные камеры-лавы) - 9,5-10,0 т/мгч.

При максимальных сменных нагрузках на одну пару камер-лав около 750 т горной массы (по данным хронометражных наблюдений) в кондиционном размере кусков 400 мм в наибольшей степени применим ленточный конвейер 2Л80 с приемной способностью 9,3 м<sup>3</sup>/мин. Для четверенных камер-лав при максимальных сменных нагрузках около 900 т горной массы в кондиционном размере кусков 400 мм в наибольшей мере подходит конвейер ЛЛЮОК. С целью унификации оборудования и для повышения эксплуатационной надежности и работоспособности участкового транспорта рекомендуется для всех вариантов технологической схемы использовать ленточный конвейер ЛЛЮОК.

При отсутствии на шахтах конвейеров унифицированного ряда допускается применять серийно выпускаемые конвейеры других типов с соответствующими параметрами. В конце ленточного конвейера устанавливается скребковый конвейер СП-63м длиной 60 м, который по мере приближения забоев к приводной головке передвигается.

## 6.2. Погрузочные пункты

Вид магистрального транспорта устанавливается на основе технико-экономического сравнения вариантов конвейерного и электровозного транспорта с учетом конкретных горнотехнических условий каждой шахты.

На действующих шахтах производственного объединения "Ленинградсланец" транспортирование горной массы от выемочных участков до околоствольного двора осуществляется с помощью электровозной откатки. В перспективе на реконструируемой шахте "Ленинградская" и вновь строящейся шахте "Кировская" предусмотрено транспортирование горной массы осуществлять комбинированным способом (по панельным штрекам - конвейерным транспортом, по главным штрекам - электровозным транспортом).

Для обеспечения бесперебойной работы очистного забоя в периоды отсутствия порожняка на погрузочном пункте при электровозной откатке по панельному штреку или в период непродолжительных остановок магистрального ленточного конвейера на панельном штреке эти пункты должны иметь аккумулярующие емкости в виде механизированных бункеров.

Нагрузка на пару камер-лаз, обеспечиваемая планограммой в размере 1606 т горной массы в сутки (934 т товарного сланца), по данным практики за 1978-1979 гг., освоена передовыми бригадами без наличия аккумулярующей емкости на погрузочном пункте.

На погрузочном пункте спаренной камеры-лавы с погрузкой выше нормативной и для счетверенной камеры-лавы при любых нагрузках необходимо иметь аккумулярующую емкость. С учетом параметров суммарного грузопотока и среднего времени ожидания порожняка емкость аккумулярующего бункера должна составить около 70 т при одновременной работе двух погрузочных машин и около 100 т - при одновременной работе более двух машин. Отечественная промышленность начинает осваивать механизированные бункера емкостью 60-100 т.

В перспективе при использовании комбинированного транспорта целесообразно на погрузочных пунктах панели устраивать бункер, емкость которого определяется конкретно для каждого случая в зависимости от поступающего минутного грузопотока и ритмичности работы электровозной откатки.

До промышленного выпуска механизированных бункеров в качестве аккумулярующей емкости рекомендуется применение запаса порожних вагонеток, равного одному составу.

Размеры порожняковой и грузовой ветвей погрузочного пункта, оборудованного механизированным бункером емкостью, равной или большей нормативной, должны обеспечивать размещение не менее I,2 порожнего и грузевого составов.

Размеры порожняковой ветви погрузочного пункта, для которого аккумулярующая емкость принята в виде запаса порожних вагонеток, должны обеспечивать одновременное размещение нормативного запаса вагонеток и одного обменного состава вагонеток, перевозимого электровозом при каждом рейсе. Длина грузовой ветви погрузочного пункта должна быть не меньше длины порожняковой ветви.

Для размещения аккумулярующей емкости в виде запаса порожних вагонеток на погрузочном пункте спаренных камер-лаз необходимо подготовку выемочных участков осуществлять в шахматном порядке

согласно схеме, приведенной в разделе 7; на погрузочном пункте счетверенных камер-лаз подготовку выемочных участков необходимо осуществлять последовательно.

На погрузочных пунктах для выполнения операций, связанных с погрузкой горной массы в вагонетки, рекомендуется применять либо автоматизированные погрузочные комплексы, выбор которых производится с учетом типов применяемых на шахте вагонеток, способов загрузки, интенсивности грузопотоков, а также горнотехнических условий, либо дистанционно управляемые толкатели и перекрыватели межвагонного пространства.

При выборе оборудования погрузочного пункта необходимо исходить из условия, что производительность его должна обеспечивать прием максимального минутного грузопотока, поступающего с конвейера.

Толкатели должны обеспечивать передвижение наибольшего количества груженых и порожних вагонеток; при недостаточном тяговом усилии одного толкателя рекомендуется последовательная установка двух толкателей.

В случае применения электрогидравлического толкателя ПТВ-3м с целью увеличения скорости проталкивания вагонеток допускается применение толкателя с двумя параллельно присоединенными маслостанциями.

При транспортировании горной массы в вагонетках ВД-5,6 предусматривается применение гидравлического толкателя ПТВ-2м-01 и перекрывателя межвагонного пространства маятникового типа, в вагонетках ВГ-3,3 - гидравлического толкателя ПТВ-3м и перекрывателя межвагонного пространства маятникового типа. Технические характеристики указанных толкателей приведены в табл.6.2.

Таблица 6.2  
Техническая характеристика толкателей

Параметры	ПТВ-3м	ПТВ-2м-01
Тип рабочего органа	Рейка-кулак	
Тяговое усилие, кгс	3000	3000
Зона действия, м	3,70	4,73
Скорость движения рабочего органа, м/с	0-0,26	0-0,26
Тип проталкиваемых вагонеток	ВГ-3,3	ВД-5,6
Масса, кг	1900	1820
Мощность, кВт	8	II
Завод-изготовитель	Каменский	

### 6.3. Транспортирование горной массы от подготовительных забоев

Если в качестве магистрального транспорта по панельным штрекам используется электровозная откатка, целесообразно применение этого же вида транспорта для перемещения горной массы от погрузочных пунктов подготовительных забоев.

Горная масса транспортируется в составах шахтных вагонеток ВД-5,6 или ВГ-3,3 с помощью контактных электровозов К14 (14КР). В перспективе, когда транспортирование горной массы от выемочных участков по панельным штрекам будет осуществляться с помощью конвейеров, целесообразно и для транспортирования горной массы от погрузочных пунктов подготовительных забоев использовать этот же вид транспорта.

Транспортирование горной массы из проходческих забоев подготовительных выработок до передвижного погрузочного пункта предусмотрено осуществлять с помощью самоходного вагона 5ВС-15 (5ВС-15М) на расстояние 40-130 м и скребкового конвейера СП-63 (СП-63М), передвижного по мере удаления проходческого забоя. На погрузочном пункте погрузка горной массы в шахтные вагонетки осуществляется с помощью скребкового перегружателя, изготовленного собственными силами на базе погрузочной машины ППНБ2 (ППНБ2).

При проходке выемочных штреков (сборных, бортовых и разрезных) доставку горной массы из проходческих забоев до сборного штрека предусмотрено осуществлять с помощью скребковых конвейеров СП63 (СП63М), наращиваемых по мере продвижения забоев, по сборному штреку - с помощью ленточного конвейера ЛШОК, который будет в дальнейшем использоваться для транспортирования горной массы из очистных забоев. На панельном штреке для перегрузки горной массы с ленточного конвейера в шахтные вагонетки целесообразно монтировать оборудование погрузочного пункта, которое будет предназначаться и для обслуживания очистных забоев.

### 6.4. Вспомогательный транспорт

Поскольку для транспортирования горной массы по панельным и главным откаточным штрекам используется электровозная откатка, то целесообразно доставку материалов и оборудования к погрузочным пунктам очистных и подготовительных забоев производить с помощью контактных электровозов К10 (10КР) и К14 (14КР) в грузовых (оборудование, крепежный лес и другие материалы) или

специально оборудованных (ВМ, ГСМ) вагонетках ВГ-2,5 или ВГ-3,3. Доставка материалов и оборудования от погрузочных пунктов к месту сопряжения камер-лав со сборным штреком и в забои выемочных штреков осуществляется в такелажных ручных тележках, изготавливаемых собственными силами. Доставка материалов и оборудования в забои подготовительных выработок (откаточные и вентиляционные панельные штреки) производится с помощью самоходного вагона 5ВС-15М. Крепежный материал доставляется в очистные забои по бортовому штрекам с помощью тягача, изготовленного на базе ходовой части погрузочной машины ППНБ2, и саней-волокуш, а также аккумуляторных электровозов 4,5АРП-2М.

Краткая техническая характеристика аккумуляторного электровоза 4,5АРП-2М

Снежная масса, т	4,5
Мощность электродвигателей в часовом режиме, кВт	12
Тяговое усилие в часовом режиме, кгс	700
Скорость движения при номинальном напряжении, км/ч	6,44
Электродвигатель:	
тип	ЭДР-7П
число	2
номинальное напряжение, В	80
Аккумуляторная батарея:	
тип	66 ТНН/300
энергоёмкость, кВт·ч	24,7
номинальное напряжение, В	82,5
Габаритные размеры, мм	
длина по буферам	3300
ширина по выступающим частям для колес 900 мм	1300
высота от головки рельса	1300

Для разгрузки леса из вагонеток и для погрузки его на тягач и сани-волокуши у места сопряжения бортового и откаточного штреков рекомендуется монтировать электротельфер грузоподъемностью до 2,0 т.

В перспективе при использовании конвейерного транспорта по панельным штрекам для транспортирования вспомогательных материалов и оборудования следует предусматривать в панельном конвейерном штреке однопутный рельсовый путь.

Перевозку людей по откаточным штрекам к очистным и горноподготовительным забоям следует осуществлять в составах людских вагонеток при помощи электровозной тяги.

## 7. ГОРНОПОДГОТОВИТЕЛЬНЫЕ РАБОТЫ

### 7.1. Общие положения

Для подготовки части шахтного поля к очистным работам (см. схему подготовки выемочного участка) проходят панельные откаточные и панельные вентиляционные штреки. Выемочные участки в панелях готовят путем проходки сборного и бортовых, а также разрезных штреков будущих камер-лаз.

Высокая прочность пород пласта и боковых пород позволяет во всех выработках, проводимых для подготовки выемочного участка, обеспечивать устойчивость пород непосредственной кровли в подготовительных выработках (очистные работы практически не оказывают на нее влияния) деревянными стойками и металлической анкерной крепью. В нормальных горно-геологических условиях панельные штреки крепят анкерной крепью, сборные штреки — анкерной крепью и деревянными стойками, бортовые и разрезные штреки — деревянными стойками (при этом в качестве временной крепи в двух последних применяют анкерную крепь). Для всех подготовительных выработок составляются паспорта крепления кровли, которые утверждаются главным инженером шахты. Параметры анкерной крепи, порядок их установки и извлечения определяются согласно "Указаниям по применению металлической и железобетонной штанговой крепи на сланцевых шахтах Ленинградского месторождения" (1979 г.).

Сечение выработок определено исходя из требований транспорта, проветривания и применяемого проходческого оборудования. Типовые размеры выработок сланцевых шахт Ленинградского месторождения приведены в табл. 7.1.

Таблица 7.1

Основные размеры подготовительных выработок

Выработка	Ширина, м	Высота, м	Площадь поперечного сечения, м <sup>2</sup>
Панельные откаточные штреки	5,0	2,8-3,4	14,0-17,0
Панельные вентиляционные штреки	5,0	2,4-3,1	12,0-15,5
Сборные штреки	6,0	1,6-1,9	9,6-11,4
Бортовые штреки	4,0	1,6-1,9	6,4-7,6
Разрезные штреки	4,0	1,6-1,9	6,4-7,6

При планировании объема подготовительных работ на последующие периоды следует учитывать горно-геологические условия шахтного поля. На обводненных участках панельные штреки необходимо проводить с определенным опережением подготавливаемых выемочных участков для удовлетворения условий дренажа.

Как правило, выемочные участки в панели подготавливаются последовательно. В исключительных случаях (длина разминки погрузочного пункта превышает ширину обрабатываемого выемочного участка) требуется применение так называемого шахматного порядка подготовки выемочного участка (рис. 7.1).

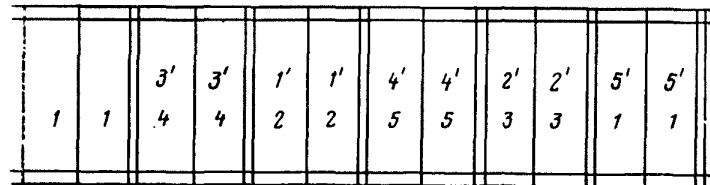


Рис. 7.1. Схема подготовки выемочных участков на панели в шахматном порядке:

1, 2, 3, 4, 5 - последовательность отработки камер-лаз; 1', 2', 3', 4', 5' - последовательность подготовки камер-лаз

Из-за относительно высокой крепости пород пласта основным техническим направлением в области подготовительных работ остается совершенствование буровзрывного способа. Бурение штуров по забоям производится ручными электросверлами СЭР-1ЭМ. В качестве взрывчатых веществ применяется предохранительный аммонит ПЖВ-20 или Т-19, а для взрывания зарядов используются электродетонаторы мгновенного, короткозамедленного и замедленного действия.

Крепление кровли — клинораспорными анкерами длиной 1,35 и 1,5 м типа ЭС-100П. Для бурения штуров в кровле применяются специальные станки. Для установки анкеров в забоях подготовительных выработок применяется специальная лестница-стремянка.

Проветривание забоя осуществляется вентиляторами местного проветривания СВМ-6М по прорезиненным трубам диаметром 600 мм; осушение забоев при обводнении — дренажными щелями, при необходимости применяется насосная установка.

Используются две существенно различающиеся технологии проведения выработок: подготовительных (главные и панельные штреки высотой более 2,4 м) и выемочных (сборные, разрезные и бортовые штреки высотой до 1,9 м).



## 7.2. Проведение подготовительных выработок

Панельные и главные штреки проходят по две, три или четыре выработки параллельно. При проходке четырех выработок крайние являются вентиляционными, а средние – откаточными. Проходка четверенных выработок осуществляется группированием их по две для более эффективного использования оборудования.

В состав оборудования, используемого при проведении спаренных подготовительных выработок, входят:

погрузочная машина ПНБ2	2
самоходный вагон 5BCI5M (5BCI5)	1
скребковый конвейер СП63 (СП63М)	1
ручное электросверло СЭР-19м	4
лебедка ЛМГН	1
лебедка ЛС17	1
перегружатель	1
вентилятор местного проветривания СЕМ6	2

Отгрузка горной массы из забоев подготовительных выработок осуществляется погрузочными машинами ПНБ2 (см. схему проведения подготовительных выработок). Целесообразным является применение буропогрузочных машин ПНБ2БС или 2ПНБ2БС с навесным бурильным оборудованием, параметры которого соответствуют требованиям бурения по пласту сланца (табл. 7.2). Применение таких машин позволит увеличить производительность труда проходчиков ориентировочно на 20%.

Таблица 7.2

Техническая характеристика бурильного оборудования буропогрузочных машин ПНБ2БС и 2ПНБ2БС

Параметры и размеры	ПНБ2БС	2ПНБ2БС
диаметр штуров, мм	42,0	42,0
Глубина штуров, м	2,5	2,75
Размеры забоя, обуриваемого с одного положения, м:		
высота	3,5	4,0
ширина	3,8	3,8
Максимальное усилие подачи, кН(кгс)	10 (1000)	15 (1500)
Максимальная скорость подачи бурильной головки, м/мин:		
рабочий ход	9,0	9,0
обратный ход	15,0	15,0
Параметры бурильной машины:		
частота вращения, об/мин	1300-1500	1300-1500
мощность двигателя, кВт	7,5	7,5

Для транспортирования горной массы из забоя используется самоходный вагон 5BCI5M (5BCI5), который доставляет ее к скребковому конвейеру СП63 (СП63М). Скребковым конвейером горная масса транспортируется к погрузочному пункту, где она грузится перегружателем в шахтные вагоны ВД5,6. Самоходный вагон может быть использован не только для транспортирования горной массы, но и для доставки материалов и оборудования в забой, а также для бурения верхних рядов штуров. Ниже приведена техническая характеристика шахтного самоходного вагона 5BCI5.

Габаритные размеры, мм:	
длина	8200
ширина	2500
высота	1450
Грузоподъемность максимальная, т	15,0
Объем кузова, м <sup>3</sup>	8,6
с подставками	11,0
Общая установленная мощность, кВт	12,7
Скорость движения, км/ч	2,5; 5,8
Высота разгрузки, мм	430-1445
Масса вагона, т	16,2

Перемещение порожних и груженых вагонеток на погрузочном пункте осуществляется с помощью лебедок ЛМГН и ЛС17.

В качестве основной формы организации труда рекомендуется комплексная проходческая бригада, выполняющая все основные процессы и вспомогательные работы в забое. Профилактический осмотр и ремонт оборудования выполняются электромеханической службой участка в трехчасовой промежуток между сменами.

Минимально необходимая численность проходчиков определяется исходя из условия обеспечения обслуживания применяемого в технологической схеме комплекта машин. Так, при погрузке горной массы на самоходный вагон заняты не менее трех рабочих: машинист погрузочной машины, водитель самоходного вагона, оператор погрузочного пункта. При выполнении относительно простых операций (бурение по забоям и кровле, анкерование) в соответствии с требованиями ПБ в забое должно находиться не менее двух рабочих.

На рис. 7.2 приведен график организации работ при параллельном проведении откаточного и вентиляционного штреков (сечением соответственно 15,5 и 14,0 м<sup>2</sup>), при разработке которого строго соблюдалось условие, требующее, чтобы в каждый период времени суммарная численность рабочих в обоих забоях была равна численности сменного состава проходчиков (5 человек).

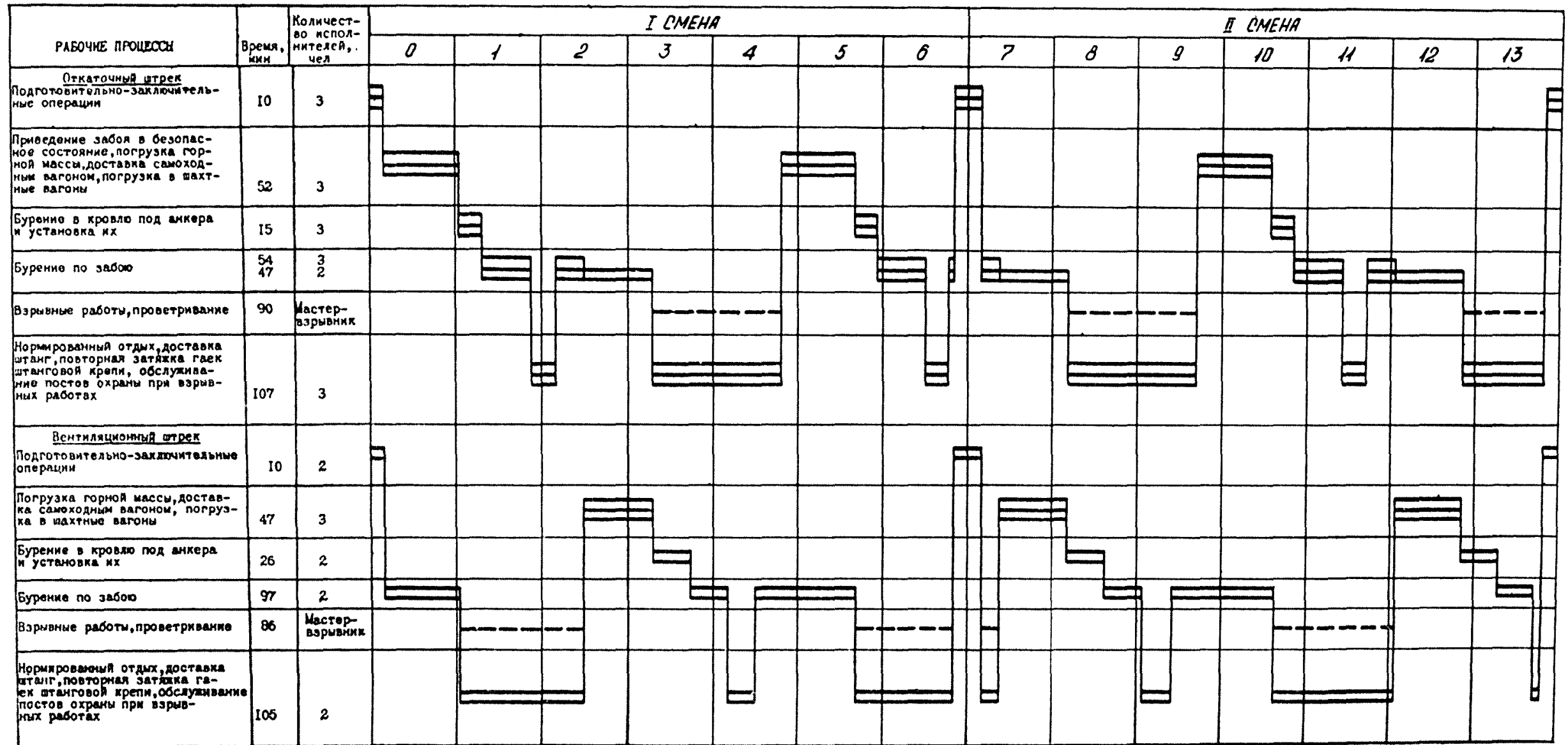


Рис. 7.2. График организации работ при параллельном проведении откаточного и вентиляционного штреков

### 7.3. Проведение внемочных выработок

Подготовка внемочного участка (спаренных камер-лав) – схема проведения внемочных выработок спаренных камер-лав – осуществляется следующим образом. Проходится сборный штрек шириной 6 м с устьями разрезных штреков шириной 4 м и длиной 10 м. Расстояние между разрезными штреками выбирается из условия поддержания основной кровли согласно разделу 4. Работы по проведению разрезных штреков начинаются, когда опережение сборного относительно их достигает 80–100 м. При проходке разрезного штрека на полную длину, т.е. половину ширины внемочного участка, из него, если это предусмотрено паспортом работ, начинается проходка бортового штрека, который проходится на двойное расстояние между разрезными штреками. Одновременно проводится разрезной штрек на другую сторону от сборного. После проведения его на полную длину и при отсутствии необходимости проведения второго бортового штрека оборудование перебрасывается либо в следующий разрезной штрек, либо в забой сборного штрека. Обязательным является наличие двух одновременно работающих забоев.

При этом применяется следующее оборудование:

ленточные конвейеры ЛП00К (КЛЗ500-ПМА)	1
скребковые конвейеры СП6З (СП6ЗМ)	4
погрузочные машины ППНБЗ	2
ручные электросверла СЭР-1Эм	5

Подготовка внемочного участка счетверенных камер-лав (см. схему проведения внемочных выработок счетверенных камер-лав) осуществляется следующим образом. Проходится сборный штрек шириной 6 м с устьями разрезных штреков шириной 4 м и длиной 10 м. Расстояние между разрезными штреками выбирается исходя из условия поддержания основной кровли на цепях. Работы по проведению разрезных штреков начинаются, когда сборный штрек пройден на ширину двух камер лав, т.е. на 80–100 м. После проходки разрезного штрека на полную длину, т.е. на половину ширины внемочного участка (около 200 м), из него начинается проходка бортового штрека. Длина заходки бортового штрека равна двойному расстоянию между разрезными штреками. Одновременно проходятся разрезные штреки и в другой половине внемочного участка.

После проходки разрезных и бортовых штреков два звена начинают проходку промежуточных бортовых штреков из последних разрезных штреков в обратном направлении, т.е. к панельным штрекам.

В это же время третье звено переходит в забой сборного штрека. Могут быть отличия от представленной последовательности проходки внемочных выработок счетверенных камер-лав, но обязательным условием является наличие трех одновременно работающих забоев.

При этом применяется следующее оборудование:

ленточные конвейеры 2Л80, ЛП00К (КЛЗ500-ПМА)	1
скребковые конвейеры СП6З (СП6ЗМ)	6
погрузочные машины ППНБЗ	3
ручные электросверла СЭР-1Эм	7

Перспективным направлением механизации работ при проведении внемочных выработок является применение самоходных вагонов типа ИВС5, позволяющих резко улучшить условия труда за счет исключения тяжелой ручной операции по наращиванию и разборке скребковых конвейеров. Техническая характеристика самоходного вагона ИВС5 приведена ниже.

Грузоподъемность, т	5,0
Емкость кузова, м <sup>3</sup>	4,9
Скорость движения, км/ч	3,5; 7
Максимальный преодолеваемый уклон, град	15,0
Высота разгрузки, мм	300–1100
Габаритные размеры, мм:	
длина	6700
ширина	1900
высота	1100
Ширина колеи, мм	220
Минимальный радиус поворота по наружному габариту, мм	650
Общая установленная мощность, кВт	68
Напряжение, В	660
Исполнение электрооборудования	Взрывобезопасное
Емкость кабельного барабана, м	180
Масса вагона, т	8

Крепление сборных штреков осуществляется металлической анкерной крепью типа ЭС-100П длиной 1,35 м, устанавливаемой по сетке 1,5 x 1,2 м (см. поперечные сечения внемочных выработок), и деревянными стойками. Последние устанавливаются в два ряда с расстоянием между стойками 2 м после проходки и зачистки бортового штрека.

Крепление разрезных и бортовых штреков осуществляется металлическими анкерами, устанавливаемыми в два ряда в соответствии с паспортом крепления (обычно 1,5 x 1,5 м). При необходимости

извлечения анкерной крепи из кровли это начинается с расстояния 20 м от забоя, где вместо анкеров устанавливается ряд деревянных стоек на расстоянии 1,8 м друг от друга.

Для снижения давления воды на кровлю бурятся дренажные шпурны на всех сопряжениях штреков.

При проведении сборных штреков в случае достижения скребковыми конвейерами длины 90–100 м они демонтируются, после чего производится наращивание ленточного конвейера и монтаж скребкового конвейера длиной 10–12 м. В разрезных штреках демонтаж скребкового конвейера производится после проходки их на полную длину. Если из разрезного штрека проходится бортовой, то скребковый конвейер первого из них является "перекачным", а демонтаж его производится после проведения очередной заходки бортового штрека.

Отбойка горной массы осуществляется буровзрывным способом, бурение шпуров – ручными электросверлами СЭР-19М, способ взрыва – зарядов – электрический. Погрузка отбойной горной массы производится погрузочными машинами типа ПНЕЗ. Доставка горной массы до ленточного конвейера осуществляется скребковыми конвейерами. Ленточным конвейером горная масса доставляется на погрузочный пункт, находящийся на панельном откаточном штреке, где она перегружается в вагонетки ВД5,6 (ВГЗ,3). Контактными электровозами груженые составы доставляются к стволу. При подготовке внемочного участка режим работы камер-лаз тот же, что и при проведении подготовительных выработок, – пятидневная рабочая неделя; три семичасовые рабочие смены и трехчасовой ремонтный промежуток. Явочный состав бригады – 12–15 человек. В каждую смену на проходке выходит звено из четырех–пяти человек. Ежедневное техническое обслуживание машин, их осмотр и плано-предупредительный ремонт выполняют два ремонтных электрослесаря, закрепленных за бригадой, дежурные электрослесаря, а также члены бригады.

Основные процессы проходческого цикла представлены на графиках организации работ при проведении внемочных выработок (рис. 7.3 и 7.4).

Цикл начинается с осмотра забоя и приведения его в безопасное состояние (окайловка боков и кровли выработки, установка при необходимости дополнительного крепления, проверка машин и механизмов). Затем проходчики подносят к забой электросверла, буровые штанги, резцы, шпурочистку, приспособление для бурения

кровли, комплект анкерной крепи. После бурения и крепления кровли они вдвоем производят обруивание забоя. По окончании обруивания электросверла и буровой инструмент убирается на безопасное расстояние от забоя. На такелажной тележке проходчики подвозят 3–4 линейные секции и необходимое количество скребковой цепи и наращивают став скребкового конвейера. После подготовки забоя мастер-взрывник производит зарядание и взрывание. Проходчики во время ведения взрывных работ находятся на постах. По окончании взрывных работ забой проветривается, его осматривает мастер-взрывник, после чего дает разрешение на продолжение работ в забое. Проходчики еще раз проверяют состояние забоя, один из них приступает к отгрузке горной массы, другой подчищает почву и места перегрузки от разлетевшейся и просыпанной горной массы, следит за питанием погрузочную машину кабелем. После отгрузки взорванной горной массы цикл повторяется. В конце каждой смены все звено осуществляет зачистку става ленточного конвейера на сборном штреке.

Электрооборудование (пускатели, реле утечки, бурильные трансформаторы и др.) должны монтироваться на раме, позволяющей передвигать его с помощью лебедки вслед за продвижением забоя. Разгрузка оборудования и механизмов производится с помощью ручной тали.

#### 7.4. Определение параметров подготовки очистного фронта

К основным параметрам подготовительных работ относятся: продолжительность подготовки очистного фронта, скорость проведения горных выработок; число одновременно действующих подготовительных забоев и численность проходческого звена.

Продолжительность подготовки очистного фронта  $t_{лог}$ , исходя из времени отработки внемочного поля и резерва времени (около 25%) на возможное перевыполнение плана добычи, определяется из следующего выражения:

$$t_{лог} = 0,75 \frac{H \cdot \ell \cdot P}{B \cdot Q} \text{ мес.}$$

где  $H$  – длина внемочного поля, м;

$\ell$  – суммарная длина фронта одновременно действующих очистных забоев, м;

$P$  – производительность пласта, т/м<sup>2</sup>;

$B$  – число плановых рабочих дней в месяце;

$Q$  – нагрузка на очистной забой, т/сут.

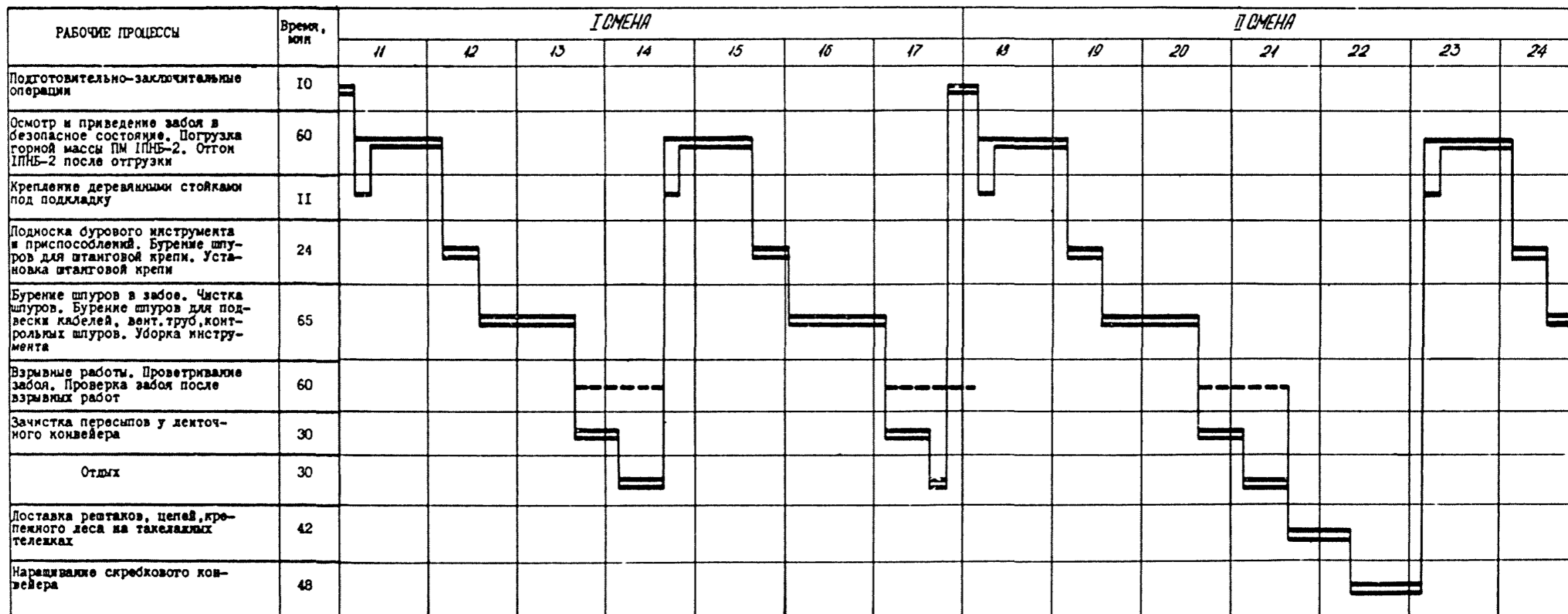


Рис. 7.3. График организации работ при проведении сборного штрека

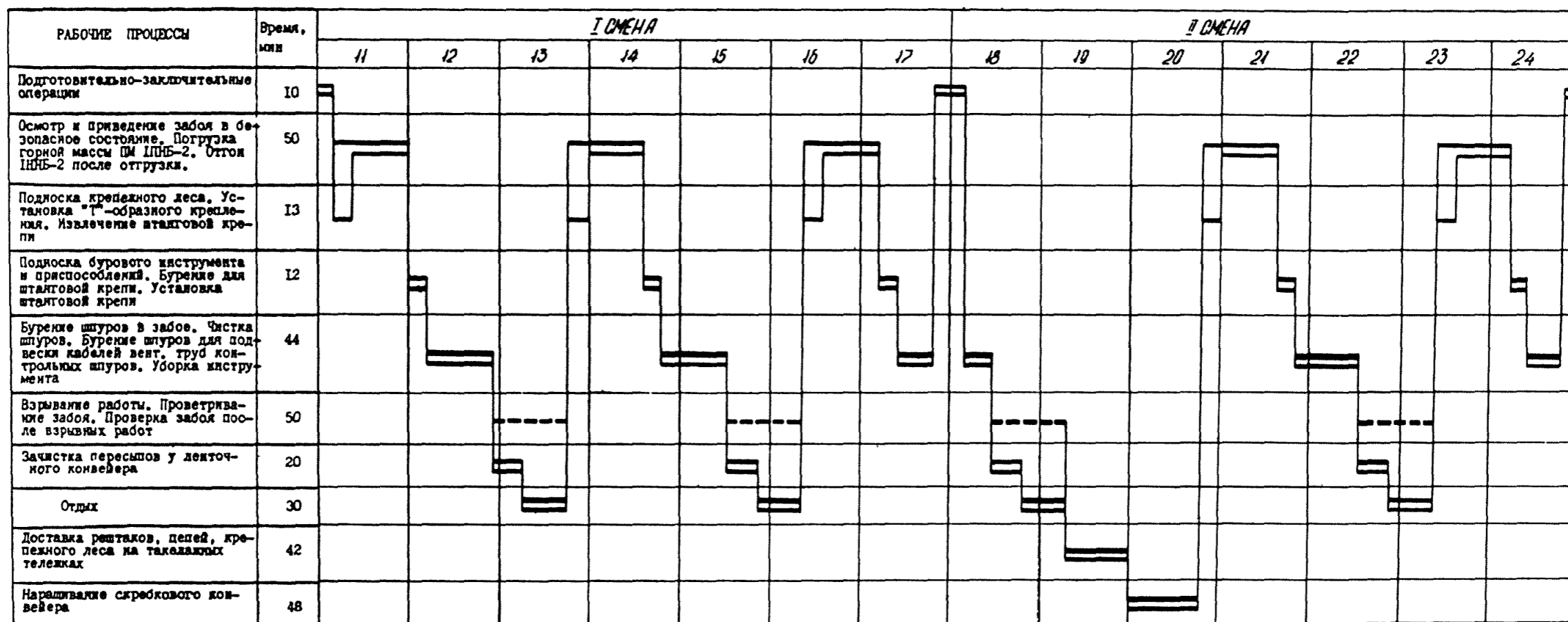


Рис. 7.4. График организации работ при проведении разрезного и бортового штреков

Число одновременно действующих забоев устанавливается на основе расчетных значений скорости проведения подготовительных выработок.

Число одновременно действующих подготовительных забоев определяется с учетом соотношения различных видов выработок и их объемов из следующего выражения:

$$m_3 = \frac{\sum_1^K \frac{L_i}{v_{oi}}}{t_{под}}$$

где  $K$  - число видов выработок;

$L_i$  - длина  $i$ -й выработки, м;

$v_{oi}$  - расчетная скорость проходки  $i$ -й выработки, м/мес.

С применением исходных данных для расчета (таблица к схемам I-8) спаренных камер-лав продолжительность подготовки составляет

$$t_{под} = 0,75 \frac{[700-17 \cdot (4+8)] 200 \cdot 1,99}{21,5 \cdot 825} = 8,4 \text{ мес.}$$

Число одновременно действующих подготовительных забоев сборных, бортовых и разрезных штреков равно

$$m_3 = \frac{\frac{700}{173,4} + \frac{4800}{222,8}}{8,4} = 3,08.$$

Принимаем три забоя с превышением нормативной скорости проходки на 3%.

Для счетверенных лав продолжительность подготовки составляет

$$t_{под} = 0,75 \frac{[700-17 \cdot (4+8)] 400 \cdot 1,99}{21,5 \cdot 1320} = 10,4 \text{ мес.}$$

Число одновременно действующих подготовительных забоев сборных, бортовых и разрезных штреков определится следующим образом:

$$m_3 = \frac{\frac{700}{173,4} + \frac{3600}{222,8}}{10,4} = 4,53.$$

Принимаем четыре забоя с превышением нормативной скорости проходки 13%.

## 8. ВОПРОСЫ ВЕНТИЛЯЦИИ И БОРЬБЫ С ПЫЛЬЮ

Для обеспечения безопасных условий труда при высоких нагрузках на очистные забоя в технологической схеме представлены необходимые аэродинамические параметры выемочного участка: общее количество воздуха для выемочного участка, количество воздуха для отдельных забоев и депрессия выемочного участка.

Проветривание сланцевых шахт Ленинградского месторождения имеет некоторые особенности, связанные с горно-геологическими условиями месторождения: отсутствием газовыделения (метана, углекислоты и др.) из горючих сланцев и боковых пород и неглубоким залеганием пласта сланца. В то же время сланцевые шахты являются опасными по взрыву пыли. Неглубокое залегание сланца обуславливает применение главным образом флангово-участковой схемы проветривания.

Все расчеты по вентиляции проводятся в соответствии с "Временной инструкцией по расчету количества воздуха для проветривания сланцевых шахт" (1978 г.). Данные об аэродинамических сопротивлениях горных выработок, вентиляционных сооружений и устройств представлены в табл. 8.1 и 8.2.

Таблица 8.1  
Удельное аэродинамическое сопротивление горных выработок

Горная выработка	Сечение в сечу, м <sup>2</sup>	Удельное аэродинамическое сопротивление $R_{100}$ , кмбрг
Главный и панельный откаточный штрек	15,0	0,00071
Главный и панельный вентиляционный штрек	11,5	0,00237
Сборный штрек с конвейером	10,5	0,00282
Бортовой штрек	7,0	0,00501
Разрезная выработка	7,0	0,00501
Очистной забой	59,5/7,0	0,00033/0,01172

Для примера в технологической схеме принято, что в панели имеются выемочный участок со спаренными лавами для счетверенными камерами-лавами и четыре или пять подготовительных забоев, работающих одновременно. Принят всасывающий способ проветривания как преобладающий на шахтах Ленинградского месторождения.

Мероприятия, направленные на предупреждение взрыва пыли в очистных и подготовительных забоях, проводятся согласно "Руководству по безопасному применению короткозамедленного взрывания и предупреждению взрывов пыли на шахтах Прибалтийского сланцевого бассейна" (1975 г.).

Т а б л и ц а 8.2

Аэродинамическое сопротивление вентиляционных сооружений и устройств

Вентиляционное сооружение или устройство	Аэродинамическое сопротивление, кПа
Глухая перемычка	110
Вентиляционная дверь для прохода людей	90
Вентиляционная дверь для пропуска транспорта	30
Глухой кроссаяг	90
Кроссаяг с одной дверью	25

## 9. ЭЛЕКТРОСНАБЖЕНИЕ ОЧИСТНЫХ И ПОДГОТОВИТЕЛЬНЫХ РАБОТ

### 9.1. Общие положения

На шахтах Ленинградского месторождения электроснабжение забойного оборудования следует производить по кабелям, проложенным по скважинам или шурфам, а где невозможно из-за сильной заболоченности местности, то через ствол.

Экономически выгоднее подводить высокое напряжение (6 кВ) непосредственно к подземным участковым трансформаторным подстанциям с последующей его трансформацией.

В разработанных схемах электроснабжения технологических схем очистных и подготовительных работ в качестве низкого напряжения использовано напряжение 660 В. В схемах предусмотрено использование нового взрывобезопасного электрооборудования на напряжении 660 В. При отсутствии отдельных типов электрооборудования (ТСШВП, ПВИ и др.) они могут быть заменены другими видами взрывобезопасного оборудования, приведенными в таблицах данного раздела, если их применение для условий конкретных участков допускается правилами безопасности.

В схемах электроснабжения в качестве источников питания приняты передвижные участковые трансформаторные подстанции. Применение этих подстанций позволяет приблизить источник питания непосредственно к забоям, что способствует более качественному электроснабжению, сокращает расход кабелей, повышает оперативность управления электроснабжением очистных и подготовительных работ.

Приводятся два варианта схем электроснабжения очистных работ, составляемых в соответствии с рекомендуемым набором технологического оборудования камер-лав: схемы электроснабжения очистных работ с двумя буровыми установками УБРС-I для спаренных камер-лав и четырьмя УБРС-I для счетверенных камер-лав (I и III варианты) и схемы электроснабжения очистных работ с одной буровой установкой БУА-ЗС для спаренных и двумя БУА-ЗС для счетверенных камер лав (II и IV варианты), а также два варианта схем электроснабжения подготовительных работ: проходка выемочных выработок (сборный, бортовой и нарезной штреки) буровзрывным способом для спаренных и счетверенных камер-лав и проходка подготовительных выработок (панельных штреков) с применением самоходного вагона БВС-I5. Схемы состоят из двух частей:

схемы размещения передвижных подстанций (ТСШВП) и распределительных подземных пунктов (РПП) на плане горных работ; принципиальной схемы электроснабжения погрузочного пункта, камер-лав и подготовительных забоев.

На принципиальной схеме электроснабжения камер-лав и подготовительных забоев указаны типы пусковой и коммутационной аппаратуры, мощность электродвигателей забойного оборудования, марки и длина кабелей, а также значения расчетных минимальных токов короткого замыкания и уставок тока срабатывания реле максимального тока.

В начале отработки очередного выемочного участка при очистных работах в спаренных камерах-лавах РПП на сборном штреке ствится на расстоянии 80 м вдоль сборного штрека от первого подготавливаемого забоя камеры-лавы; расстояние между ТСШВП и РПП на сборном штреке 200 м. Такая расстановка электрооборудования позволяет перетаскивать ТСШВП только два раза в течение отработки выемочного участка.

В счетверенных камерах-лавах расстояние между ТСШВП и РПП на сборном штреке составляет 400 м. Электротягач находится на среднем бортовом штреке, но в случае необходимости его можно



использовать в крайних бортовых штреках; при этом надо увеличить длину кабеля на 100 м.

Питание распределительных пунктов и электроснабжение отдельных токоприемников забоя рекомендуется осуществлять по кабелям типа ГРШЭ. Для питания электросверл рекомендуется применять кабель типа ШРБЭ и ШВБЭ, для освещения сборного и откаточного штреков – КРПСН напряжением 127 В, для забоя – также кабели КРПСН.

В случае применения общешахтного напорного трубопровода нет необходимости предусматривать в схемах электроснабжения очистных работ распределительную и пусковую аппаратуру для противопожарных и осушительных насосов.

## 9.2. Методика и порядок расчета схем электроснабжения

Исходные данные оборудования, потребителей электроэнергии и технические характеристики двигателей, необходимые для расчета схем электроснабжения подготовительных забоев, приводятся в таблицах данного раздела.

9.2.1. Мощность трансформаторов выбирается по расчетной мощности трансформатора  $S_p$ , которая определяется по формуле

$$S_p = \frac{K_c \sum P_{уст}}{\cos \varphi} \text{ кВА,}$$

где  $K_c$  – коэффициент спроса;

$\sum P_{уст}$  – суммарная установленная мощность токоприемников, кВт;

$\cos \varphi$  – условный средневзвешенный коэффициент мощности для групп очистных и подготовительных забоев, принимаемый равным 0,7.

Коэффициент спроса определяется по формуле

$$K_c = 0,3 + 0,7 \frac{P_H}{\sum P_{уст}},$$

где  $P_H$  – номинальная мощность наиболее мощного электродвигателя, кВт.

С учетом перегрузочной способности трансформатора повышение расчетной мощности  $S_p$  допускается не более чем на 10%. При невыполнении этого условия следует выбрать другой трансформатор.

9.2.2. Расчет кабелей сети участка сводится к выбору марок и сечений питающих кабелей:

а) сечение магистрального кабеля выбирается по условию

$$J_{доп} \geq J_{расч},$$

где  $J_{доп}$  – длительно допустимый ток кабеля соответствующего сечения по нагреву (А); при температуре окружающей среды, отличающейся от 25°C, следует вводить поправочные коэффициенты (табл. 9.1).

Таблица 9.1

Поправочные коэффициенты на температуру воздуха для токовых нагрузок на кабели

Расчетная температура среды $t$ , °C	Нормированная температура $t_n$ , °C	Поправочные коэффициенты при фактической температуре среды $t$ , °C								
		0	5	10	15	20	25	30	35	40
25	65	1,27	1,22	1,17	1,12	1,06	1,00	0,94	0,87	0,79
	70	1,25	1,20	1,15	1,11	1,06	1,00	0,94	0,89	0,82
	75	1,28	1,18	1,14	1,10	1,05	1,00	0,95	0,95	0,84
	80	1,20	1,17	1,13	1,09	1,04	1,00	0,95	0,90	0,85

$J_{расч}$  – фактический ток нагрузки магистрального кабеля, А;

$$J_{расч} = \frac{K_c \sum P_{уст}}{\sqrt{3} U_H \cos \varphi} \text{ А,}$$

где  $P_{уст}$  – установленная мощность токоприемников, питающихся по кабелю, кВт;

$U_H$  – номинальное напряжение сети, В.

Значения  $K_c$  и  $\cos \varphi$  принимаются такими, как при определении мощности трансформатора. Если условию  $J_{доп} > J_{расч}$  не удовлетворяет ни один кабель максимального сечения, то к прокладке принимают два параллельных или раздельно включенных кабеля. При параллельном включении кабелей их суммарное сечение определяется по условию

$$2 J_{доп} \geq J_{расч};$$

б) сечение гибких кабелей для питания отдельных токоприемников участка предварительно выбирается, исходя из длительно допустимой нагрузки по нагреву номинальным током  $J_H$ , согласно условию

$$J_{доп} > 1,1 J_H.$$

С учетом механической прочности предпочтительные сечения гибких кабелей должны быть не менее ( $\text{мм}^2$ ):

для погрузочных машин	16-25
конвейеров	10-16
электросверл	4-6
прочих электродвигателей	10-16

в) выбранные сечения кабелей проверяются по допустимой потере напряжения на зажимах наиболее удаленного токоприемника в нормальном режиме работы. Потери напряжения  $\Delta U_{тр}$  в трансформаторе определяются по формуле

$$\Delta U_{тр} = \sqrt{3} I_{рабч} (R_{т} \cos \varphi + X_{т} \sin \varphi) B,$$

где  $R_{т}$  - активное сопротивление трансформатора;

$X_{т}$  - индуктивное сопротивление трансформатора, которое определяется по формуле

$$X_{т} = \sqrt{Z_{т}^2 - R_{т}^2} \text{ Ом}; \quad R_{т} = \frac{\Delta P_{к} U_{н}^2}{S_{н.тр}^2} \text{ Ом},$$

где  $Z_{т}$  - полное сопротивление трансформатора;

$$Z_{т} = \frac{e_{к} \cdot U_{н}^2}{S_{н.тр}} \text{ Ом};$$

$\Delta P_{к}$  - потери мощности трансформатора при номинальной нагрузке трансформатора, Вт (табл. 9.2);

$e_{к}$  - напряжение короткого замыкания, % (табл. 9.2).

Потери напряжения в гибком кабеле определяются по формуле

$$\Delta U_{р.к} = \sqrt{3} I_{рабч} L (R \cos \varphi + X \sin \varphi) B,$$

где  $R$  - активное сопротивление трансформатора и кабелей - см. табл. 9.3;

$X$  - индуктивное сопротивление трансформатора и кабелей - см. табл. 9.3;

$L$  - длина кабеля, км.

Параметры схемы электроснабжения должны обеспечивать напряжение на зажимах электродвигателя не ниже 0,8 номинального:

$$U_{н} \geq 0,8 U_{н}.$$

Технические характеристики подстанций ТСШП

Тип подстанции	Номинальная мощность	Напряжение при х.х., В		Номинальный ток, А		Напряжение, %	Ток х.х., %
		В.Н.	Н.Н.	В.Н.	Н.Н.		
ТСШП-160/6	160	6000+5%	690/400	15,4	147/231	3,5	6,5
ТСШП-180/6	180	6000+5%	690/400	17,5	150/260	3,5	5,0
ТСШП-250/6	250	6000+5%	690/400	24,0	209/362	3,5	5,0
ТСШП-400/6	400	6000+5%	690	38,5	334,7	3,5	4,5
ТСШП-100/6	100	6000+5%	690/400	9,6	83,5/144,3	3,5	8,0

	Потери, Вт	
	Х.х. при номинальном напряжении	К.з. при номинальной нагрузке
ТСШП-160/6	1250	2000
ТСШП-180/6	1350	2000
ТСШП-250/6	1650	2600
ТСШП-400/6	2100	3700
ТСШП-100/6	1000	1270

Напряжение на зажимах электродвигателей при пуске определяется по формуле

$$U_{н} = \frac{U_{0} - \Delta U_{н.р}}{1 + \sqrt{3} \frac{I_{н.п}}{U_{н}} (R \cos \varphi + X \sin \varphi)} B,$$

где  $U_{0}$  - напряжение трансформатора при холостом ходе, В;

$\Delta U_{н.р}$  - потери напряжения от работающих электродвигателей в тех участках сети, через которые подключен пускаемый двигатель, В.

9.2.3. Выбор фидерных автоматических выключателей и магнитных пускателей осуществляется по назначению, номинальному току, номинальному напряжению, а пускателей - дополнительно и по мощности подключаемого электродвигателя.

Фидерные автоматические выключатели проверяются по предельному току отключения. Рабочий ток, который проходит через автомат, определяется по формуле

$$I_{раб} = \frac{K_{с} \sum P_{уст}}{\sqrt{3} U_{н} \cos \varphi} A;$$

Т а б л и ц а 9.3  
Сопроотивление кабелей с медными жилами

Сопроотивление	Сопроотивление кабеля (Ом/км) при сечении жилы, мм									
	4	6	10	16	25	35	50	70	95	120
Активное бронированного и гофрированного кабелей при температуре 20°C	4,600	3,070	1,840	1,150	0,740	0,520	0,423	0,260	0,194	0,153
Индуктивное бронированного кабеля напряжением до 1000 В	0,095	0,090	0,073	0,068	0,066	0,064	0,063	0,061	0,060	0,060
Индуктивное гофрированного кабеля напряжением до 1000 В	0,101	0,095	0,092	0,090	0,088	0,084	0,081	0,079	0,078	0,076

Примечание. Индуктивное сопротивление гофрированного кабеля приведено по справочным данным. Расчетные величины сопротивлений гофрированных кабелей современных конструкций несколько выше приведенных.

типоразмер фидерного автомата выбирается, исходя из условия

$$J_H \geq J_{pab},$$

где  $J_H$  - номинальный ток фидерного автомата, выбираемый по табл. 9.4.

Т а б л и ц а 9.4

Основные технические данные автоматических  
взрывобезопасных выключателей

Тип выключателя	Номинальный ток, А	Предельная коммутационная способность (А) при $cos \varphi = 0,6$ и напряжении 660 В, А	Уставка тока срабатывания максимальных расцепителей, А	
			с цифровой маркировкой	без цифровой маркировки
АВ-320Д0	320	20000	800-2400 (через 200А)	
АВ-200Д0	200	20000	400-1200 (через 100А)	
АФВ-1А	200	12000	300;450;600	375;525
АФВ-2А	350	12000	600;900;1200	750;1050
АФВ-3А	500	12000	1000;1500;2000	1250;1750

Примечание. Автомат АФВ-1А устанавливается вместо автомата АВ-200Д0, а АФВ-2А вместо АВ-320Д0, если последних нет в наличии.

Магнитные пускатели проверяются на соответствие их коммутационных и разрывных способностей величинам пускового тока защищаемого двигателя. Основные технические данные магнитных пускателей приведены в табл. 9.5.

Выборанный фидерный выключатель или магнитный пускатель проверяются на способность отключать минимальный ток двухфазного к.з.:

$$J_0 > 1,92 J_{к.з. min}^{(2)},$$

где  $J_0$  - предельно отключаемый ток защитного аппарата, А;  
 $J_{к.з. min}^{(2)}$  - расчетный минимальный двухфазовый ток к.з. на зажимах защитного аппарата, который определяется по формуле

$$J_{к.з. min}^{(2)} = \frac{K U_0}{2 Z_{к.з.}},$$

Таблица 9.5

## Технические данные магнитных пускателей

Тип пускателя	Номинальный ток, А	Наибольшая мощность подключаемого электродвигателя при напряжении 660 В, кВт	Предельно отключаемый ток, А	Уставка реле максимального тока, А
ПМВИ-13м	63	55	1400	150;200;250;325
ПМВИ-23м	120	100	2400	300;400;500;650;800
ПМВИ-6I	250	155	2100	500;1000
			15	1500
ПМВИР-4I	80	52	800	100;125;160;200
ПВИ-250	250	160	3750	500;1000;1500
ПВИ-125	125	100	2500	250-750 (через 50 А)
ПВИ-63	63	55	1500	125-375 (через 25 А)
ПВИР-63	63	55	1500	125-375 (через 25 А)

Примечание. При отсутствии пускателей типа ПВИ-63, ПВИ-125, ПВИ-250, ПВИР-63 они могут быть заменены соответственно пускателями ПМВИ-13, ПМВИ-23м, ПМВИ-6I, ПМВИР-4I.

где  $K$  - коэффициент, учитывающий снижение тока к.з. из-за возможности уменьшения напряжения в высоковольтной сети;  
 $Z_{к.з.}$  - эквивалентное сопротивление до точки к.з., Ом;

$$Z_{к.з.} = \sqrt{(R_T + R_K)^2 + (X_T + X_K)^2} \quad \text{Ом};$$

$R_K, X_K$  - активное и индуктивное сопротивление кабелей от трансформатора до точки к.з., Ом;

$$R_K = \sum_{i=1}^n R_i; \quad X_K = \sum_{i=1}^n X_i;$$

$R_i = R_0 L_i$  - активное сопротивление отдельных участков кабелей сети от трансформатора до точки к.з., Ом;

$R_0$  - величина удельных активных сопротивлений, Ом/км;

$L_i$  - длина  $i$ -го участка кабеля, км;

$X_i = X_0 L_i$  - индуктивное сопротивление отдельных участков сети от трансформатора до точки к.з., Ом.

Таблица 9.6

Технические данные электродвигателей при номинальной нагрузке

Тип электродвигателя	Номинальная мощность, кВт	Скорость вращения, об/мин	Ток линейный (А) при напряжении (В)		КПД	cos φ	$\frac{J_n}{J_n}$	$\frac{M_n}{M_n}$	$\frac{M_n}{M_n}$
			380	660					
ЭДКОФ 42/4	45,0	1475	88,5	51,0	0,895	0,86	6,5	2,7	3,2
ЭДКЧ 1м	9,3	1460	202,0	117,0	0,913	0,86	4,1	-	-
МА 36-42/4	100,0	1480	194,0	112,0	0,925	0,85	6,5	2,0	2,5
КОФ 12-4	10,0	1470	21,0	12,0	0,870	0,84	6,7	2,2	2,3
КОФ 12-6	8,0	970	19,0	11,0	0,850	0,75	4,5	2,0	2,0
КОФ 22-4	20,0	1475	40,0	23,0	0,900	0,85	6,0	2,1	2,1
КОФ 11-6	6,0	970	14,5	8,4	0,850	0,75	4,5	2,0	2,0
ВАО 92-4	100,0	1470	190,0	110,0	0,950	0,88	6,0	1,8	2,2
ВАО 51-4	7,5	1460	15,1	8,7	0,880	0,86	6,5	1,4	2,2
ВАО 61-4	13,0	1460	26,0	15,0	0,885	0,86	7,0	1,5	2,2
ВАО 71-4	22,0	1460	42,5	24,5	0,900	0,88	7,0	1,6	2,2
ВАО 41-4	4,0	1450	8,5	4,9	0,845	0,84	5,0	1,4	2,2
ВАО 52-6	7,5	970	16,7	9,6	0,885	0,80	6,5	1,3	2,2
ВАО 72-4	30,0	1460	58,0	33,5	0,900	0,88	7,0	1,6	2,2

Если отключающая способность проверяемого защитного аппарата оказывается равной или меньшей рассчитанной по выражению

$$J_0 > 1,92 J_{к.з.min}^{(2)}$$

величины, то при наличии на присоединения, питающем защитный аппарат, группового, общего или другого защитного аппарата необходимо проверить, удовлетворяет ли он условию

$$J_{к.з.min}^{(2)} \leq \frac{J_{0.гp}}{1,92},$$

где  $J_{0.гp}$  - предельно отключенный ток группового или общего защитного аппарата.

Если ни один из защитных аппаратов не удовлетворяет условию, необходимо установить дополнительный защитный аппарат согласно требованиям Инструкции к § 387 ПБ.

9.2.4. Выбор и проверка уставок токовых реле аппаратов низкого напряжения.

Величина уставки тока срабатывания реле автоматических выключателей и магнитных пускателей определяется по формулам:

а) для защиты магистрали:

$$J_y \geq J_{н.п} + \sum J_{н.раб},$$

где  $J_y$  - уставка срабатывания реле, А;

$J_{н.п}$  - номинальный пусковой ток наиболее мощного электродвигателя;

$\sum J_{н.раб}$  - сумма номинальных токов всех остальных токоприемников (табл. 9.6);

б) для защиты ответвлений, питающих электродвигатель или группу одновременно пускаемых электродвигателей:

$$J_y \geq \sum J_{н.п};$$

в) для защиты ответвлений, питающих осветительную нагрузку:

$$J_y \geq J_{н.раб}.$$

Выбранная и принятая к установке на шкале ближайшая большая уставка тока срабатывания реле проверяется по расчетному минимальному току двухфазного к.з.:

$$\frac{J_{к.з.min}^{(2)}}{J_y} \geq K_{\chi},$$

где  $K_{\chi}$  - коэффициент чувствительности.

9.2.5. Минимальный ток двухфазного к.з. в кабеле может быть найден также по формуле

$$I_{к.з. min}^{(2)} = \frac{I_{н.п}}{2\sqrt{(R_T + R_{50} L_{прив})^2 + (X_T + X_{50} L_{прив})^2}} \text{ А,}$$

где  $R_T; X_T$  - активное и индуктивное сопротивление обмоток трансформатора, Ом;

$R_{50}; X_{50}$  - активное и индуктивное сопротивление кабеля с сечением основной жилы 50 мм<sup>2</sup>, принимаемое равным соответственно 0,423 и 0,075 Ом/км;

$L_{прив}$  - приведенная длина кабельной линии, которая определяется суммированием приведенных длин отдельных кабелей по формуле

$$L_{прив} = l_1 K_{п1} + l_2 K_{п2} + \dots + l_n K_{пn} \text{ км,}$$

где  $l_1 \dots l_n$  - фактическая длина кабеля различного сечения;

$K_{п1} \dots K_{пn}$  - коэффициент приведения сечений кабелей для определения  $I_{к.з. min}^{(2)}$  (табл. 9.7).

Таблица 9.7

Коэффициенты приведения сечений кабелей для определения  $I_{к.з. min}^{(2)}$

Сечение основной жилы кабеля, мм <sup>2</sup>	Коэффициент приведения $K_{п}$	Сечение основной жилы кабеля, мм <sup>2</sup>	Коэффициент приведения $K_{п}$
Для сетей напряжением 380 и 660 В (сечения приведены к 50 мм <sup>2</sup> )			
4	12,30	35	1,41
6	8,22	50	1,00
10	4,92	70	0,72
16	3,06	95	0,54
25	1,97	120	0,43
Для сетей напряжением 127 В (сечения приведены к 4 мм <sup>2</sup> )			
2,5	1,60	6	0,67
4	1,00	10	0,40

### 9.2.6. Выбор номинального тока плавких вставок

а) для защиты магистрали:

$$I_B \geq \frac{I_{н.п}}{1,6+2,5} + \sum I_{н.раб} \text{ А,}$$

где  $I_{н.п}$  - номинальный ток плавкой вставки;

б) для защиты ответвления:

$$I_B \geq \frac{I_{н.п}}{1,6+2,5} \text{ А;}$$

при осветительной нагрузке

$$I_B \geq I_{н.раб};$$

в) для трансформаторов, встроенных в агрегат:

$$I_B \geq \frac{1,2+1,4}{K_T} I_{н.раб} \text{ А,}$$

где  $K_T$  - коэффициент трансформации.

### 9.3. Пример расчета схемы электроснабжения камер-лавы

Исходные данные: схема электроснабжения напряжением 660 В камер-лавы (II вариант схемы очистного забоя).

Перечень электрооборудования, установленного на машинах и механизмах в камерах-лавах, представлены в табл. 9.8.

Расчет системы электроснабжения ведется следующим образом.

#### 9.3.1. Суммарная установленная электромеханическая мощность

$$P_{уст1} = 10 + 93 + 270 + 60 + 25 + 93 = 551 \text{ кВт;}$$

$$P_{уст2} = 100 + 8 + 4 = 112 \text{ кВт.}$$

#### 9.3.2. Коэффициент спроса по участку

$$K_{с1} = 0,3 + 0,7 \cdot \frac{93}{551} = 0,42; \quad K_{с2} = 0,3 + 0,7 \cdot \frac{100}{112} = 0,92.$$

#### 9.3.3. Расчет мощности трансформаторов:

$$S_{р1} = 551 \cdot \frac{0,42}{0,7} = 330,6 \text{ кВт;}$$

$$S_{р2} = 112 \cdot \frac{0,92}{0,7} = 147,2 \text{ кВт.}$$

Т а б л и ц а 9.8

Перечень электрооборудования, установленного на машинах и механизмах в камерах-лавах

Электрооборудование	Тип электро- двигателя	Установ- ленная мощность, кВт	Коли- чество двига- телей	Суммарная установ- ленная мощность, кВт	$\eta, \%$	$\cos \varphi$	Рабо- чий ток, А	Пусковой ток, А
Ленточный конвейер ЛЛ-100К	МА 36-42/4	100	1	100	0,925	0,85	112	728
Врубовая машина "Урал-33"	2ДКЧ-1м	93	2	186	0,920	0,86	117	485
Погрузочная машина ПНБ-2	КОФ 22-4	20	2	40	0,900	0,85	23	138
	КОФ 12-4	10	2	20	0,870	0,84	12	80
Скреповый конвейер СП-63м	ЭДКОФ 42-4	45	6	270	0,900	0,86	51	331
Бурильная установка БУА-3С	ВАО 51-4	7,5	1	7,5	0,880	0,86	8,7	56,55
	КОФ 12-4	11	1	11	0,885	0,86	15	105
	КОФ 11-6	6	1	6	0,855	0,80	9,6	62,4
Электросверло УБРС-1	ВАО 41-4	4	2	8	0,845	0,84	4,9	25
Электротягач на базе ПНБ-2	КОФ 12-4	10	1	10	0,870	0,84	12	80
Лебедка ЛС-30	ВАО 72-4	30	1	30	0,900	0,88	33,5	234,5
Толкатель ПТВ 2м-01	КОФ 21-6	11	1	11	0,880	0,76	14,5	72,5

9.3.4. Принимаем две трансформаторные подстанции типа ТСШВП 400/6 и ТСШВП I60/6.

Подстанция ТСШВП I60/6 устанавливается на откаточном штреке, а ТСШВП 400/6 на сборном штреке.

9.3.5. Выбор сечения кабеля от ТСШВП I60/6 до РПШ 0,66 № I:

$$J_{расч} = \frac{0,92 \cdot II2 \cdot I000}{\sqrt{3} \cdot 660 \cdot 0,7} = 128,92 \text{ А.}$$

По табл. 9.9 принимается гибкий кабель типа ГРШЭ сечением жил 50 мм<sup>2</sup> (3 х 50 + 3 х 4 + I х IO);

$$J_{доп} = 200 \text{ А} > J_{расч} = 128,92 \text{ А.}$$

9.3.6. Выбор сечения кабеля от РПШ № I до электропотребителей:

а) для IЛI00K величина  $J_H = II2 \text{ А}$ ;

По табл. 9.9 принимается гибкий кабель типа ГРШЭ сечением 35 мм<sup>2</sup> (3 х 35 + I х IO + 3 х 4);  $J_{доп} = I68 \text{ А} > J_H = II2 \text{ А}$ ;

б) для ПТВЗМ-0I ток  $J_H = I4,5 \text{ А}$ .

По табл. 9.9 принимается гибкий кабель типа ГРШЭ сечением 6 мм<sup>2</sup> (3 х 6 + I х 4 + 3 х 2,5);

$$J_{доп} = 58 \text{ А} > J_H = I4,5 \text{ А.}$$

9.3.7. Выбранные сечения кабелей проверяются по допустимой потере напряжения на зажимах наиболее удаленного токоприемника IЛI00K:

а) потеря напряжения в ТСШВП I60/6:

$$R_T = \frac{I250 \cdot 660^2}{I60000^2} = 0,02I \text{ Ом};$$

$$Z_T = \frac{0,035 \cdot 660^2}{I60000} = 0,095 \text{ Ом};$$

$$X_T = \sqrt{0,095^2 - 0,02I^2} = 0,093 \text{ Ом};$$

$$\Delta U_{тр} = \sqrt{3} \cdot I28,92 \cdot (0,044 \cdot 0,7 + 0,02 \cdot 0,7I) = I8,07 \text{ В};$$

б) потеря напряжения в гибком кабеле от трансформатора до РПШ 0,66 № I равна

$$\Delta U_{г.к} = \sqrt{3} \cdot I28,92 \cdot 0,12 \cdot (0,423 \cdot 0,7 + 0,08I \cdot 0,7I) = 9,46 \text{ В};$$

в) потеря напряжения в гибком кабеле от РПШ 0,66 № I до IЛI00 K составляет

$$\Delta U_{г.к} = \sqrt{3} \cdot II2 \cdot 0,04 \cdot (0,52 \cdot 0,7 + 0,084 \cdot 0,7I) = 3,28 \text{ В.}$$

Напряжение на зажимах электродвигателя IЛI00K равно

$$U_{дв} = 690 - (I8,07 + 9,46 + 3,28) = 659,19 \text{ В} > 627 \text{ В.}$$

Напряжение на зажимах электродвигателя ленточного конвейера при пуске составляет

$$U_n = \frac{690}{I + \sqrt{3} \cdot \frac{I28}{660} \cdot (0,02I + 0,423 \cdot 0,12 + 0,52 \cdot 0,04) \cdot 0,7 + (0,093 + \dots + 0,084 \cdot 0,12 + 0,084 \cdot 0,04) \cdot 0,7I} = 545,02 \text{ В} > 527 \text{ В.}$$

9.3.8. Выбор сечения кабеля от ТСШВП 400/6 до РПШ 0,66 № 3

$$J_{расч} = \frac{0,42 \cdot 55I \cdot I000}{\sqrt{3} \cdot 660 \cdot 0,7} = 289,54 \text{ А.}$$

По табл. 9.9 принимаем гибкий кабель типа ГРШЭ сечением 95 мм<sup>2</sup> (3 х 95 + I х IO + 3 х 4);

$$J_{доп} = 290 \text{ А} > J_{расч} = 289,54 \text{ А.}$$

9.3.9. Выбор сечения кабеля от РПШ 0,66 № 3 до РПШ 0,66 № 4 (аналогично от РПШ 0,66 № 3 до РПШ 0,66 № 5).

Расчетный ток равен

$$J_{расч} = \frac{0,42 \cdot 95,4 \cdot I000}{\sqrt{3} \cdot 660 \cdot 0,7} = 50,19 \text{ А.}$$

По табл. 9.9 принимаем гибкий кабель типа ГРШЭ сечением жилы 35 мм<sup>2</sup> (3 х 35 + I х IO + 3 х 4);

$$J_{доп} = I68 \text{ А} > J_{расч} = 50,19 \text{ А.}$$

Выбор сечения кабеля для врубовой машины "Урал-33" ( $J_H = II7 \text{ А}$ )

По табл. 9.9 принимаем гибкий кабель типа ГРШЭ сечением жилы 35 мм<sup>2</sup> (3 х 35 + I х IO + 3 х 4);

$$J_{доп} = I68 \text{ А} > J_H = II7 \text{ А.}$$



Т а б л и ц а 9.9

## Технические и конструктивные данные шахтных кабелей

Длительно допустимые нагрузки, А	Число и номинальное сечение жил, мм <sup>2</sup>			Наружный диаметр кабеля, мм
	основных	заземляющих	вспомогательных	
Гибкие экранированные кабели марки ГРШЭ				
45	3 x 4	1 x 2,5	3 x 1,5	28,8
58	3 x 6	1 x 4	3 x 2,5	32,0
75	3 x 10	1 x 6	3 x 2,5	35,0
105	3 x 16	1 x 10	3 x 4	40,1
136	3 x 25	1 x 10	3 x 4	41,5
168	3 x 35	1 x 10	3 x 4	47,5
200	3 x 50	1 x 10	3 x 4	49,3
250	3 x 70	1 x 10	3 x 4	53,7
290	3 x 95	1 x 10	3 x 4	57,5
32	3 x 4	1 x 2,5	-	23,7
58	3 x 6	1 x 4	-	28,1
75	3 x 10	1 x 16	-	30,1
105	3 x 16	1 x 10	-	34,6
136	3 x 25	1 x 10	-	37,5
168	3 x 35	1 x 10	-	41,7
200	3 x 50	1 x 10	-	43,8
250	3 x 70	1 x 10	-	49,6
290	3 x 95	1 x 10	-	53,6

## Гибкие кабели марки КРПСН

33	3 x 2,5	1 x 1,5	-	19,1
45	3 x 4	1 x 2,5	-	20,2
58	3 x 6	1 x 4	-	23,4
75	3 x 10	1 x 6	-	26,0
105	3 x 16	1 x 10	-	31,5
136	3 x 25	1 x 10	-	35,1
168	3 x 35	1 x 10	-	36,5
200	3 x 50	1 x 10	-	44,8
250	3 x 70	1 x 10	-	49,2
33	3 x 2,5	2 x 1,5	-	20,7
45	3 x 4	2 x 2,5	-	22,8
58	3 x 6	2 x 4	-	25,0
45	3 x 4	3 x 2,5	-	23,8
58	3 x 6	3 x 4	-	26,0
105	3 x 16	3 x 10	-	38,8
136	3 x 25	3 x 10	-	42,5
168	3 x 35	3 x 10	-	45,5
200	3 x 50	3 x 10	-	48,1

Примечание. Длительно допустимые нагрузки кабелей марки ГРШЭ могут быть увеличены на 10%.

9.3.10. Выбор сечения кабеля от РПШ 0,66 № 3 до электропотребителей:

а) выбор сечения кабеля погрузочной машины:

$$J_H = I_2 + 23 = 35 \text{ А.}$$

Инструкция по эксплуатации погрузочной машины рекомендует гибкий кабель типа ГРШЭ сечением жил  $16 \text{ мм}^2$  ( $3 \times 16 + 1 \times 10 + 3 \times 3$ );

$$J_{доп} = 105 \text{ А} > J_H = 35 \text{ А};$$

б) выбор сечения кабеля для скребкового конвейера СП-63м:

$$J_H = 2 \cdot 51 = 102 \text{ А.}$$

Инструкция по эксплуатации конвейера СП-63М рекомендует гибкий кабель ГРШЭ сечением жил  $35 \text{ мм}^2$  ( $3 \times 35 + 1 \times 10 + 3 \times 4$ );

$$J_{доп} = 168 \text{ А} > J_H = 102 \text{ А};$$

в) выбор сечения гибкого кабеля для буровой установки БУА-3С:

$$J_H = 8,7 + 15 + 9,6 = 33,3 \text{ А.}$$

По табл. 9.9 принимаем гибкий кабель типа ГРШЭ сечением жил  $10 \text{ мм}^2$  ( $3 \times 10 + 1 \times 10 + 3 \times 4$ ). При этом

$$J_{доп} = 75 \text{ А} > J_H = 33,3 \text{ А};$$

д) выбор сечения гибкого кабеля для тягача на базе ИШНБ2:

$$J_H = 12 \text{ А.}$$

По табл. 9.9 принимаем гибкий кабель сечением  $10 \text{ мм}^2$  (ГРШЭ  $3 \times 16 + 1 \times 10 + 3 \times 4$ );

$$J_{доп} = 105 \text{ А} > J_H = 12 \text{ А};$$

г) выбор сечения гибкого кабеля для лебедки ЛС-30:

$$J_H = 33,5 \text{ А.}$$

По табл. 9.9 принимаем гибкий кабель сечением  $10 \text{ мм}^2$  (ГРШЭ  $3 \times 10 + 1 \times 60 + 3 \times 2,5$ );

$$J_{доп} = 75 \text{ А} > J_H = 33,5 \text{ А.}$$

9.3.11. Выбранные сечения кабелей проверяются по допустимой потере напряжения на зажимах наиболее удаленного токоприемника (врубовой машины "Урал-33") в нормальном режиме работ:

а) потеря напряжения в трансформаторе ТСМВП 400/6 определяется следующим образом:

$$R_T = \frac{2100 \cdot 660^2}{4000002} = 0,0057 \text{ Ом}; \quad X_T = \sqrt{0,038^2 - 0,0057^2} = 0,037 \text{ Ом};$$

$$Z_T = \frac{0,035 \cdot 660^2}{400000} = 0,038 \text{ Ом};$$

$$\Delta U_{TP} = \sqrt{3} \cdot 289,54 \cdot (0,0057 \cdot 0,7 + 0,037 \cdot 0,71) = 15,16 \text{ В};$$

б) потеря напряжения в кабеле, проложенном от ТСМВП 400/6 до РПШ 0,66 № 3 составляет

$$\Delta U_{TK} = \sqrt{3} \cdot 289,54 \cdot 0,2 \cdot (0,194 \cdot 0,7 + 0,078 \cdot 0,71) = 19,17 \text{ В};$$

в) потери напряжения в гибком кабеле, проложенном от РПШ № 3 до РПШ № 4, равны

$$\Delta U_{TK} = \sqrt{3} \cdot 0,18 \cdot 50,19 \cdot (0,52 \cdot 0,7 + 0,084 \cdot 0,71) = 6,62 \text{ В};$$

г) потеря напряжения в гибком кабеле, питающем "Урал-33", составляет

$$\Delta U_{TK} = \sqrt{3} \cdot 117 \cdot 0,2 \cdot (0,52 \cdot 0,7 + 0,084 \cdot 0,71) = 17,15 \text{ В.}$$

Напряжение на зажимах электродвигателя "Урал-33" равно

$$U_{дв} = 690 - (15,16 + 19,17 + 6,62 + 17,5) = 631,9 > 627 \text{ В.}$$

Параметры схем электроснабжения должны обеспечивать напряжения на зажимах электродвигателей не ниже 0,8 номинального.

9.3.12. Выбор аппаратов низкого напряжения и токов уставок

Для расчета токов к.з. и уставок защиты должны определяться уставки реле и величины плавных вставок предохранителей по технологическому режиму работы электроприемников. Сначала определяется минимальная уставка тока срабатывания первичных электромагнитных реле прямого действия, которыми комплектуются автоматические выключатели АВ-4у и АВ-6у. Они устанавливаются в качестве общего для оперативного обслуживания электрооборудования участка.

Расчетный ток уставки для АВ-6у на  $U = 660 \text{ В}$  принимается равным

$$J_y = 2 \cdot 485 + 3 \cdot 51 + 2 \cdot 12 + 33,5 + 8,7 + 15 + 9,6 + 8,4 = 1216,2 \text{ А.}$$

Принимаем  $J_y = 1500 \text{ А.}$

Расчетные токи уставок максимальных реле автоматических выключателей, питающих распределительные пункты камер-лав, со-

Т а б л и ц а 9.10

Результаты расчетов токов короткого замыкания и токов уставок

Аппарат	Токи уставок $J_y$ , А	Полученное отношение $\frac{J_{к3}^{(2)}}{J_y}$
(K <sub>1</sub> ) АФВ 2А	1200	$\frac{1940}{1200} = 1,53$
(K <sub>2</sub> ) АФВ 3А	1500	$\frac{4680}{1500} = 3,12$
(K <sub>3</sub> ) АФВ 2А	600	$\frac{1950}{600} = 3,25$
(K <sub>4</sub> ) АФВ 2А	600	$\frac{1950}{600} = 3,25$
(K <sub>5</sub> ) ПМВИ-6I	1000	$\frac{1680}{1000} = 1,68$
(K <sub>6</sub> ) ПМВИ-13м	150	$\frac{1125}{150} = 7,7$
(K <sub>7</sub> ) АП-4	45	$\frac{145}{45} = 5,48$
(K <sub>8</sub> ) ПМВИ-6I	500	$\frac{1155}{500} = 2,31$
(K <sub>9</sub> ) АП-4	45	$\frac{79}{45} = 1,77$
(K <sub>10</sub> ) ПМВИ-23	400	$\frac{1760}{400} = 4,4$
(K <sub>11</sub> ) ПМВИ-23	400	$\frac{749}{400} = 1,87$
(K <sub>12</sub> ) ПМВИ-6I	500	$\frac{1155}{500} = 2,31$
(K <sub>13</sub> ) АП-4	45	$\frac{79}{45} = 1,77$
(K <sub>14</sub> ) ПМВИ-6I	500	$\frac{2690}{500} = 5,38$
(K <sub>15</sub> ) ПМВИ-6I	500	$\frac{2870}{500} = 5,74$
(K <sub>16</sub> ) ПМВИ-6I	500	$\frac{2870}{500} = 5,74$
(K <sub>17</sub> ) ПМВИ-23м	400	$\frac{1054}{400} = 2,64$
(K <sub>18</sub> ) ПМВИ-23м	400	$\frac{1054}{400} = 2,64$
(K <sub>19</sub> ) ПМВИ-23м	400	$\frac{1080}{400} = 2,70$
(K <sub>20</sub> ) ПМВИ-13м	150	$\frac{711}{150} = 4,74$
(K <sub>21</sub> ) АП-4	45	$\frac{90}{45} = 2,00$

Примечание. Если отношение расчетного минимального тока двухфазного короткого замыкания  $J_{к3}^{(2)}$  к уставке тока  $J_y$  срабатывания реле согласуется с допустимой величиной  $\frac{J_{к3}^{(2)}}{J_y} \geq 1,5$ , то выбор мощности трансформатора, сечения гибких кабелей и величин токов уставок произведен правильно.

ставляют: для РПП № 3  $J_y = I2I6,2$  А; принимается  $J_y = I500$  А; РПП № 2, № 4  $J_y = 485 + 4 = 489$  А; принимается  $J_y = 600$  А; для РПП № 3 выбирается фидерный выключатель АФВ-3А; РПП № 2 и РПП № 4 принимаются фидерные выключатели АФВ-2А; РПП 0,66 № I  $J_y = 728 + I4,5 + 4 = 746,5$  А; принимается  $J_y = I200$  А. Выбирается фидерный выключатель АФВ 2А  $J_y = I200$  А.

Для защиты от токов коротких замыканий двигателей отдельных потребителей и питающих их кабелей принимаются максимальные реле, встроенные в магнитные пускатели.

Уставка тока максимального реле магнитного пускателя для ленточного конвейера  $J_{н.л} = 728$  А; принимается  $J_y = I000$  А.

Выбор уставок тока максимальных реле магнитных пускателей для остальных потребителей производится аналогично.

С учетом приведенной длины проводов внутреннего монтажа горных машин (ПНБ-2) расчетные токи двухфазного короткого замыкания в точках ( $K_1, K_2 \dots$ ) составляют величины (А), приведенные в табл. 9.10.

## 10. ПРОИЗВОДСТВЕННО-ТЕХНОЛОГИЧЕСКАЯ СВЯЗЬ И СИГНАЛИЗАЦИЯ

Технические средства производственной связи камер-лаз должны обеспечивать диспетчерскую, аварийную, для оповещения, а также технологическую связь.

В соответствии с Правилами безопасности погрузочные пункты на откаточном штреке, сопряжения сборного штрека с поперечными камерами, а также подготовительные забои должны быть оборудованы телефонными аппаратами общешахтной телефонной связи. В зависимости от структуры административно-хозяйственной и диспетчерской телефонной связи шахты могут быть применены телефонные аппараты ТАША-2, ТАШБ-ЦБ, ТАШБ-АТС, ТАШ-60ЦБ. В перечисленных пунктах устанавливаются также абонентские устройства системы аварийной громкоговорящей связи и оповещения об авариях типа ИГАС-3 или ИГС-1.

Предупредительная предпусковая и кодовая двухсторонняя оперативная звуковая сигнализация конвейерной линии обеспечивается аппаратурой автоматизация и связи, поставляемой с конвейером ЛПОСК (АУК-10ТМ-68; АКС; БС-1). Для автоматизации конвейерных линий можно применять аппаратуру БИСУК-1, а по мере освоения производством - новые, более совершенные образцы.

Предупредительную сигнализацию о запуске механизмов, экстренный останов скребковых конвейеров и громкоговорящую связь в забое рекомендуется осуществлять с использованием следующей аппаратуры:

АУС, ГАУСС - для дистанционного управления механизмами, автоматического включения предупредительного сигнала, организации громкоговорящей связи и выключения конвейеров;

АС-3С - для связи и предупредительной сигнализации;

АУПСМ - для дистанционного управления забойными машинами и механизмами и предупредительной сигнализации об их пуске;

ПС-ИУ - для предупредительной сигнализации о пуске забойных и проходческих машин;

КТВ-2 - для экстренной остановки скребковых конвейеров.

Для телефонных линий следует использовать кабели типа ТАШ, ТАШС, ТРИЭ, для линий управления, сигнализации и связи - кабели типа КТШ, КВРЕМ. По Правилам безопасности для линий управления и сигнализации разрешается использовать голые провода при искробезопасных схемах напряжением 24 В и менее.

При выборе средств связи (основного и вспомогательного оборудования) следует руководствоваться рекомендациями, приведенными в брошюре "Аппаратура связи, рекомендуемая к использованию на предприятиях угольной промышленности" (М., ЦНИИУголь, 1976).

## 11. ПРОИЗВОДСТВЕННАЯ ЭСТЕТИКА И КУЛЬТУРА ТРУДА НА ПОДЗЕМНЫХ УЧАСТКАХ СЛАНЦЕВЫХ ШАХТ

Все мероприятия в области производственной эстетики и культуры труда на участках должны предусматривать снижение утомляемости рабочих, повышение производительности труда и безопасности работ. Для каждого участка эти мероприятия включают: окраску оборудования (горных машин, аппаратуры, ручного инструмента) в оптимальные цвета; рациональное размещение в выработках машин, оборудования и других средств труда в их нормативных запасах при наименьшем загромождении сечения выработки для обеспечения удобства и безопасности горных работ; снижение влияния на работающих неблагоприятных факторов; наличие предупредительных и указательных табло, обеспечивающих полную информацию трудящихся о производственной обстановке на блоке.

Окраска машин, оборудования и других средств труда при подземных работах должна удовлетворять следующим основным тре-

бованиям: цвет оборудования должен в максимальной степени содействовать улучшению рабочей обстановки и исключать излишнее напряжение зрения рабочего; набор сигнально-предупредительных цветов, цветовые обозначения, а также распределение цветов по элементам оборудования должны быть разграничены, давать однозначную информацию и содействовать поднятию культуры производства. Окраску машин, оборудования и аппаратуры рекомендуется производить в соответствии с "Руководящим материалом по лакокрасочному покрытию для угольных машин и оборудования" (М., Гипроуглемаш, 1967). Для окраски подземных машин и оборудования рекомендуются эмали ИЦ 132А (ГОСТ 6631-65) в основном светлых тонов: желтая, фиштакшковая, цвета слоновой кости, светло-серая, голубая, а в отдельных случаях – красная, коричневая, черная. Для окраски предметов и приборов, способствующих обеспечению безопасности труда (телефонов, ящиков аптечек, самоспасателей, огнетушителей и т.д.), должны применяться красные, оранжевые и желтые краски, хорошо различимые на большом расстоянии. Переносные приборы и оборудование, которые в отдельные моменты могут оказаться засыпанными кусками сланца или известняка, следует окрашивать в цвета, хорошо контрастирующие с окружающей средой.

Согласно технологии горных работ, оборудование на участке должно размещаться в строгом соответствии с ПТЭ и полностью отвечать требованиям Правил безопасности. При этом должна быть обеспечена сохранность оборудования, а также его доступность для осмотра и ремонта. Необходимые нормативные запасы оборудования, запасных частей и материалов должны размещаться вблизи рабочих мест в определенном порядке, обеспечивающем быстрое нахождение этих запасов, их сохранность и минимальное заполнение поперечного сечения горных выработок.

Рабочие места в забоях и на погрузочном пункте должны быть соответствующим образом оборудованы, освещены и содержаться в надлежащем состоянии. непригодное для работы оборудование должно немедленно удаляться с участка.

На каждом выемочном участке для обеспечения работающих необходимой производственной информацией кроме табло с указательными знаками должны вывешиваться специальные таблицы. Таблицы выполняются на металлических пластинках размером 25х40 см и окрашиваются различными красками в зависимости от содержания информации. Таблицы должны быть освещены. По назначению они делятся на три группы:

таблицы со срочной или аварийной информацией: противопожарное оборудование, санитарные носилки, резервные самоспасатели и т.д. Эти таблицы должны иметь желтый или оранжевый фон, по которому печатными буквами делается надпись красками или рисуется символ;

информационные таблицы, показывающие названия выработок, пути следования и места, предназначенные для хранения или размещения материалов и оборудования, запасных частей и инструмента, питьевой воды и т.д. Эти таблицы должны иметь светло-голубой или салатный фон, по которому черными буквами делается надпись;

таблицы непосредственно по технике безопасности: "Не работай без каски!", "Пользуйся рукавицами!" и т.д. Эти таблицы должны иметь белый или цвета слоновой кости фон, по которому черными жирными буквами должна быть сделана надпись, обведенная красной светящейся рамкой. В определенных местах вывешиваются единые знаки: телефон, участок № ..., вход запрещен и т.д.

Спецодежда должна предохранять рабочих от воздействия окружающей среды, содержаться в исправном состоянии и быть чистой. Для рабочих применяется светло-серая одежда (брезент), для инженерно-технических работников – темно-синяя.

Для лучшей видимости и повышения безопасности на рабочих местах и путях следования рекомендуется использовать защитные каски светлых тонов, на тыльной стороне которых светящейся краской нанесен квадрат 60х60 мм или впрессована глянцевая пластмассовая пластина, отражающая свет. Защитные каски целесообразно иметь различных цветов: для рабочих – оранжевого или красного цвета, для ИТР – белого.

Ответственность за состояние производственной эстетики и культуры труда на участке несет начальник участка.

## 12. ОПЫТ ПЕРЕДОВЫХ БРИГАД НА ОЧИСТНЫХ И ПОДГОТОВИТЕЛЬНЫХ РАБОТАХ

### 12.1. Работа передовых бригад в очистных забоях

В 1979 г. из 15 действующих камер-лаз 13 (в 1978 г. – 12) работали в нормальных горно-геологических условиях, из них 8 бригад (в 1978 г. – 9) выдавали 840 т и более товарного сланца в сутки. В табл. 12.1 приведены средние показатели лучших бригад за 1978-1979 гг.

Т а б л и ц а 12.1

Средние показатели работы передовых бригад

Камеры-лавы	Условия работ	Годы	Число передовых бригад	Среднесуточная добыча, т		Производительность труда ГРОС, т/выход	
				горной массы	товарного сланца	горной массы	товарного сланца
Счетверенные	Нормальные	1978	-	-	-	-	-
		1979	0,75	1932	1137	63,7	37,9
Строенные	Нормальные	1978	1	1601	942	62,6	36,9
		1979	2	1594	938	65,4	38,5
Спаренные	Нормальные	1978	8	1584	935	61,7	36,5
		1979	5,25	1521	897	60,6	35,7
	Осложненные	1978	1	1407	828	56,8	33,5
		1979	-	-	-	-	-

Нагрузка на спаренную камеру-лаву у передовых бригад превышала среднюю нагрузку на все спаренные камеры-лавы, работающие в нормальных горно-геологических условиях, до 25,6% в 1978 г. и до 15,2% в 1979 г., а производительность труда - соответственно до 12,8 в 1978 г. и до 7,8% в 1979 г. Наиболее высокие показатели достигнуты бригадами Л.И.Яшкова и А.П.Басова на шахте "Ленинградская" и бригадой Н.Е.Алешенкова на шахте № 3 (соответственно 980, 975 и 970 т/сут).

У бригад, работающих в строенных и счетверенных лавах, среднесуточная добыча и производительность труда несколько выше, чем в спаренных лавах (см. табл. 12.1), из-за более широкого фронта работ и применения бурильной установки БУА-3с на одной из строенных камер-лав шахты "Ленинградская" (только в 1979 г.).

Из бригад, работающих в осложненных горно-геологических условиях, передовой была бригада П.И.Панина на шахте "Ленинградская", которой в 1978 г. достигнуты среднесуточная нагрузка на камеру-лаву 828 т товарного сланца и среднесуточная производительность труда 33,5 т на выход. Достигнуты бригадой П.И.Панина показатели превышали средние по бригадам, работавшим в осложненных условиях, на 22,7% по добыче и на 10,2% по производительности труда.

Высокопроизводительная работа передовых бригад обеспечивалась в результате постоянного совершенствования форм и методов организации труда, бережного использования техники, правильности ее эксплуатации, постоянного повышения профессиональной подго-

товки, внедрения передовых починов и опыта социалистического соревнования.

Таким образом, нагрузка на блок у передовых бригад при одинаковых горно-геологических условиях и составе участкового оборудования превышает средние показатели по объединению до 23,6%.

## 12.2. Опыт передовых бригад на подготовительных работах

Объем проведения подготовительных выработок по производственному объединению "Ленинградсланец" за период с 1970 по 1978 гг. возрос с 97,1 до 124,4 км (в 1,28 раза), а средняя скорость проведения выработок за этот же период увеличилась с 220,6 до 230,3 м/мес, т.е. на 4,4%. Средняя производительность проходчика на выход в 1978 г. по шахтам производственного объединения составила 1,45 м. Анализ состояния проходческих работ на шахтах объединения в 1978 г. показывает, что 42% всех подготовительных выработок было пройдено со средней скоростью свыше 101,5 м/мес. В том же году 66% выемочных выработок проходило со средней скоростью более 230 м/мес. Бригада И.В.Погорелова с шахты № 3 проходила в среднем 350 м/мес. Этой же бригадой в 1978 г. было пройдено 8406 м выемочных выработок, причем достигнута производительность труда на выход 2,1 м, или 14,8 м<sup>3</sup>. Показатели работы передовых бригад за 1978 г. приведены в таблице 12.2.

Т а б л и ц а 12.2

Показатели работы передовых бригад за 1978 г.

Шахта	Бригадир	Объем проведенных выработок, м	Скорость проведения выработок, м		Численность бригады, человек	Сечение выработки в свету, м <sup>2</sup>
			средне-месячная	максимально достигнутая за месяц		
Шахта № 3	И.И.Станис	2096	87	160	-	15,0
	И.В.Погорелов	8406	350	420	15	6,9
	В.А.Поляков	5115	269	356	13	7,0
"Ленинградская"	И.И.Мария	2970	124	172	-	15,0
	А.А.Гаврилов	2440	102	161	-	15,0
	М.П.Антонов	6733	281	321	16	8,9
	В.А.Рыков	6986	291	368	15	8,2
	И.Я.Яковлев	7109	296	333	15	8,4
им.С.М.Кирова	Н.Н.Панов	3271	351	367	10	7,7

Приведенные данные показывают, что при одинаковых средствах механизации в передовых бригадах вследствие четкой организации работ основные показатели (скорость продвижения забоя и производительность труда) в 1,1-1,7 раза выше, чем средняя по объединению. Основными путями достижения уровня передовых бригад являются интенсификация проходческих процессов, более эффективное использование погрузочных машин и полная укомплектованность проходческих бригад.

### 13. ОРГАНИЗАЦИЯ ОЧИСТНЫХ РАБОТ

В соответствии с принятой технологией очистных работ в камерах-лавах принята следующая очередность основных операций: погрузка взорванной горной массы, бурение забоя, передвижка конвейера, крепление кровли, зарубка пласта, взрывание и проветривание забоя. Совокупность этих процессов составляет цикл для одного очистного забоя. Ограниченная ширина призабойного пространства, наличие различных процессов и оборудования требуют соблюдения четкой последовательности и взаимосвязи выполнения отдельных операций в пределах цикла, а также между циклами.

В зависимости от длины забоя и норм выработки на основные процессы, а также от пропускной способности участкового и общешахтного транспорта в спаренных камерах-лавах можно организовать работу по двум схемам:

добычная смена в одной лаве - подготовительная (взрывная) смена в соседней лаве (в этой же лаве частично проводятся и другие работы);

одновременное проведение одинаковых работ в обеих лавах, т.е. чередование добычных смен в лавах со взрывными сменами.

В счетверенных камерах-лавах в первом случае основные процессы цикла производятся попарно, во втором случае во всех забоях одинаковые процессы, кроме взрывных работ, производятся практически одновременно, что еще увеличивает неравномерность работы транспорта.

Так как взрывание забоя производится участками длиной 20-30 м, то, например, забой длиной 100 м взрывают в четыре приема, на что вместе с проветриванием затрачивается около 4 ч. При первой схеме организации работ простои одной из лав из-за ведения взрывных работ в соседней лаве составляют до 2 ч в смену. При второй схеме такие простои в добычные смены отсутствуют, но

при первой схеме обеспечивается более равномерная нагрузка на участковый и общешахтный транспорт.

С целью соблюдения четкой организации работ в каждом очистном забое составляется график, который содержит планограмму работ, график выходов рабочих по профессиям и сводку основных технико-экономических показателей. Численность суточной комплексной бригады определяется на основе комплексной нормы выработки.

В качестве примера организации работ рассматриваются два варианта, при которых на выемочном участке одновременно работают две камеры-лавы с общей длиной забоя 200 м и четыре камеры-лавы с общей длиной забоя 400 м. Вынимаемая мощность принята 1,8 м, продвижение забоя за цикл - 1,9 м. Принята первая схема организации работ (взрывные работы ведутся в добычную смену). Планограмма и график организации работ в спаренных камерах-лавах с применением буровой установки БУА-3с приведены на рис. 13.1, для счетверенных камер-лав - на рис. 13.2 и 13.3. Длительность отдельных процессов определена на основе исходных данных, принятых для расчета (таблицы к схемам 1-8), и "Единых норм выработки для сланцевых шахт" (1973 г.).

Среднее выполнение комплексной нормы - 110%, причем по основным процессам - 120%, зарубке пласта - 110% и остальным - 100%.

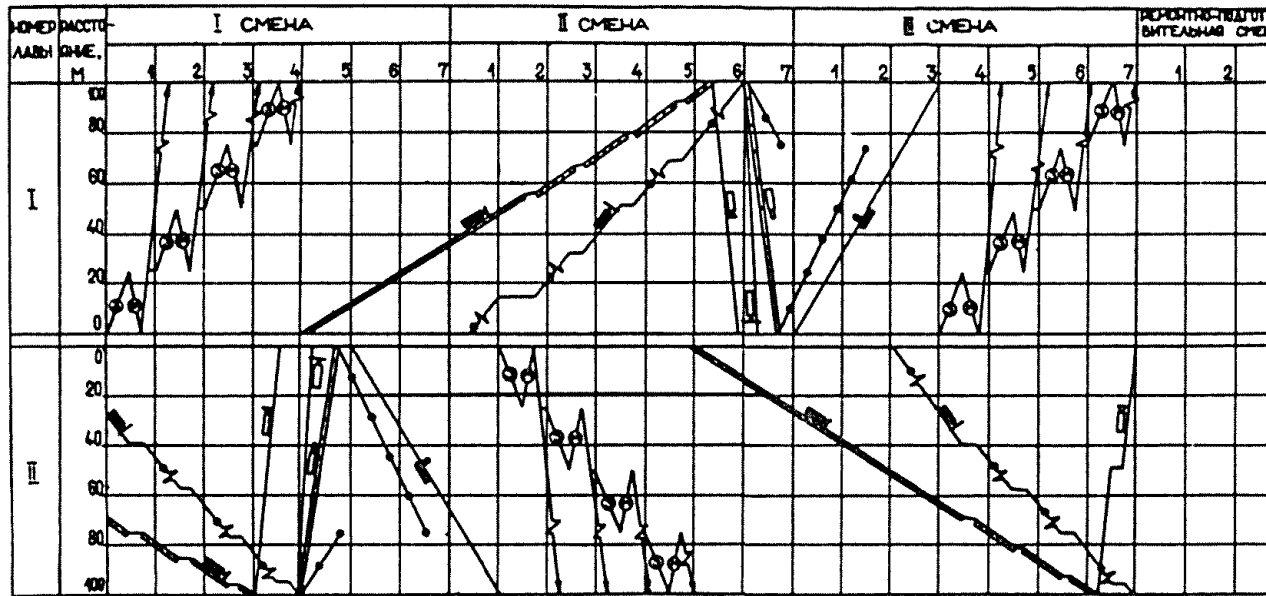
### 14. РАСЧЕТ НАГРУЗКИ НА ОЧИСТНОЙ ЗАБОЙ

#### 14.1. Методика расчета

Нагрузка на камеру-лаву, как и для других технологических схем, определяется горно-геологическими, организационно-техническими и технологическими факторами. Исходным положением для расчета технически обоснованной нагрузки на камеру-лаву является "Инструкция по расчету нормативов нагрузки на очистные забои и средней нагрузки на один действующий очистной забой по способам механизации для сланцевых шахт" (М., ИГД им. А.А.Скобянского, 1980).

Поскольку очистные работы в камерах-лавах базируются на буровзрывной отбойке, к важнейшим рабочим процессам технологического цикла отнесены следующие:

## ПЛАНОГРАММА РАБОТ



- УСЛОВНЫЕ ОБОЗНАЧЕНИЯ**
- загрузка горной массы и возведение временной крепи
  - перегон погрузочной машины с зачисткой валь конвейера
  - бурение шпуров с установкой УБРС-1
  - бурение шпуров со станком БУА-3с
  - перегон бурового станка БУА-3с
  - перегон вальковой машины и перебивка конвейера
  - зарядка пласта
  - крепление постошной крепи
  - зарядание шпуров
  - монтаж электровзрывной сети и взрывание
  - проветривание и осмотр забоя

## ГРАФИК ОРГАНИЗАЦИИ РАБОТ В ОЧИСТНОМ ЗАБОЕ

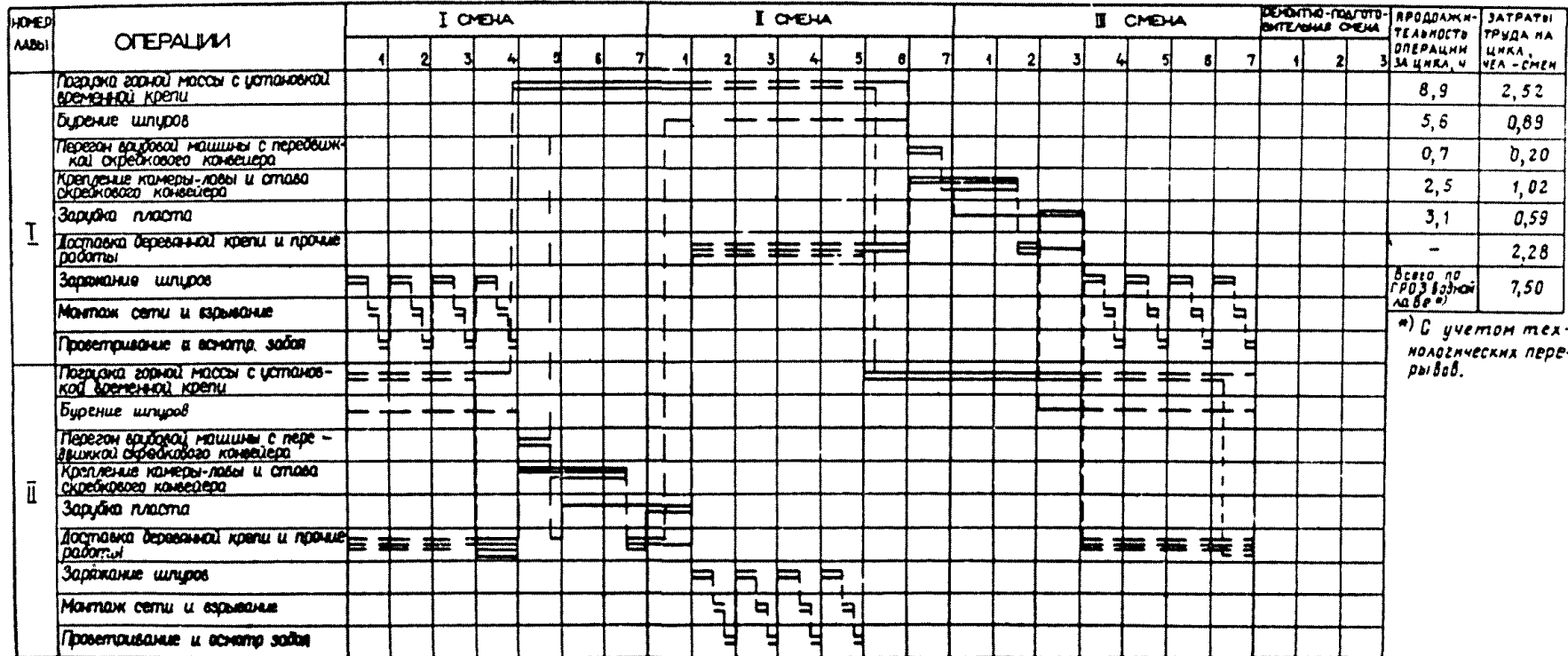


Рис. 13.1. Планограмма и график организация работ в спаренных камерах-лавах с применением бурового станка БУА-3с



# ПЛАНОГРАММА РАБОТ

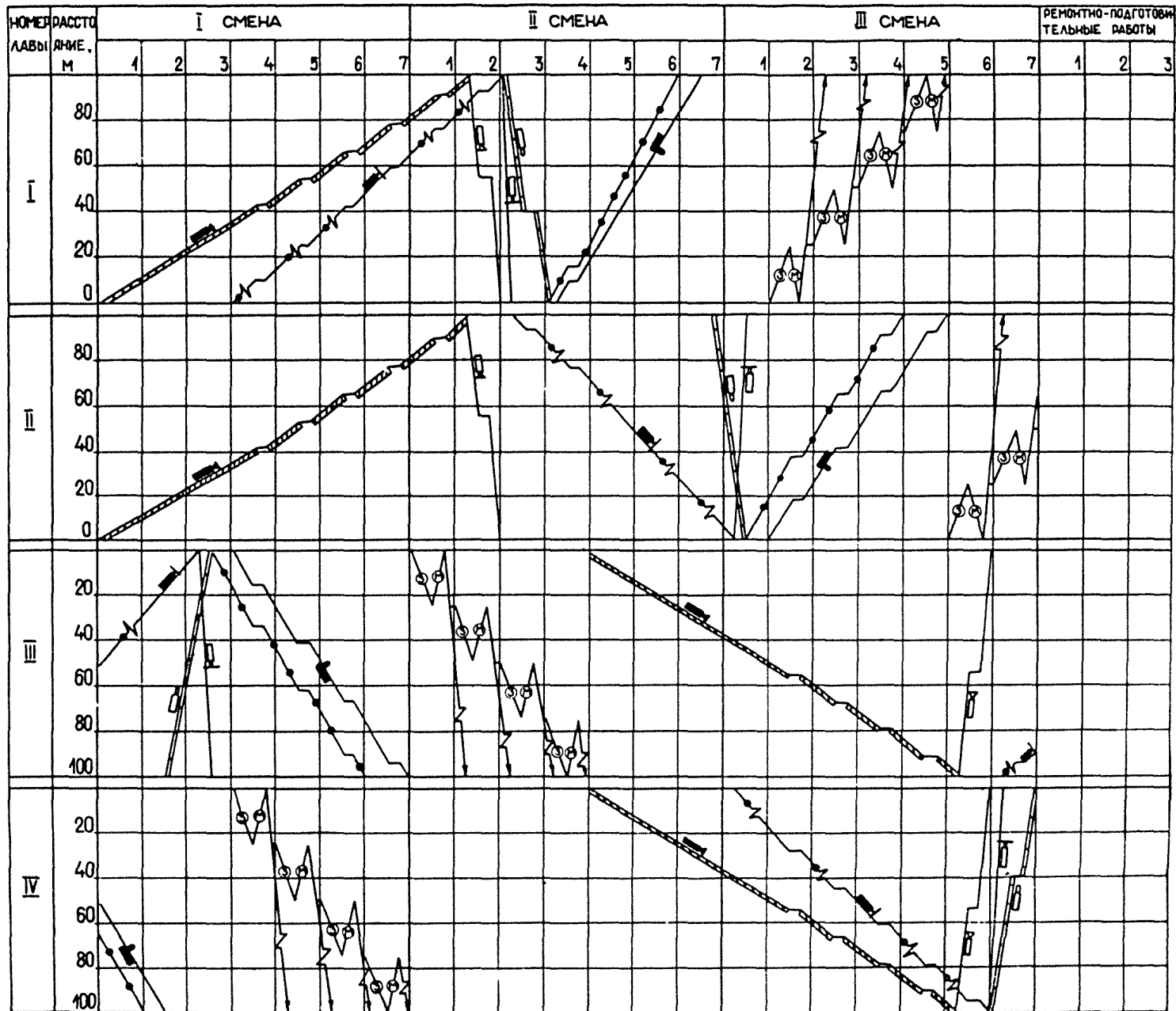
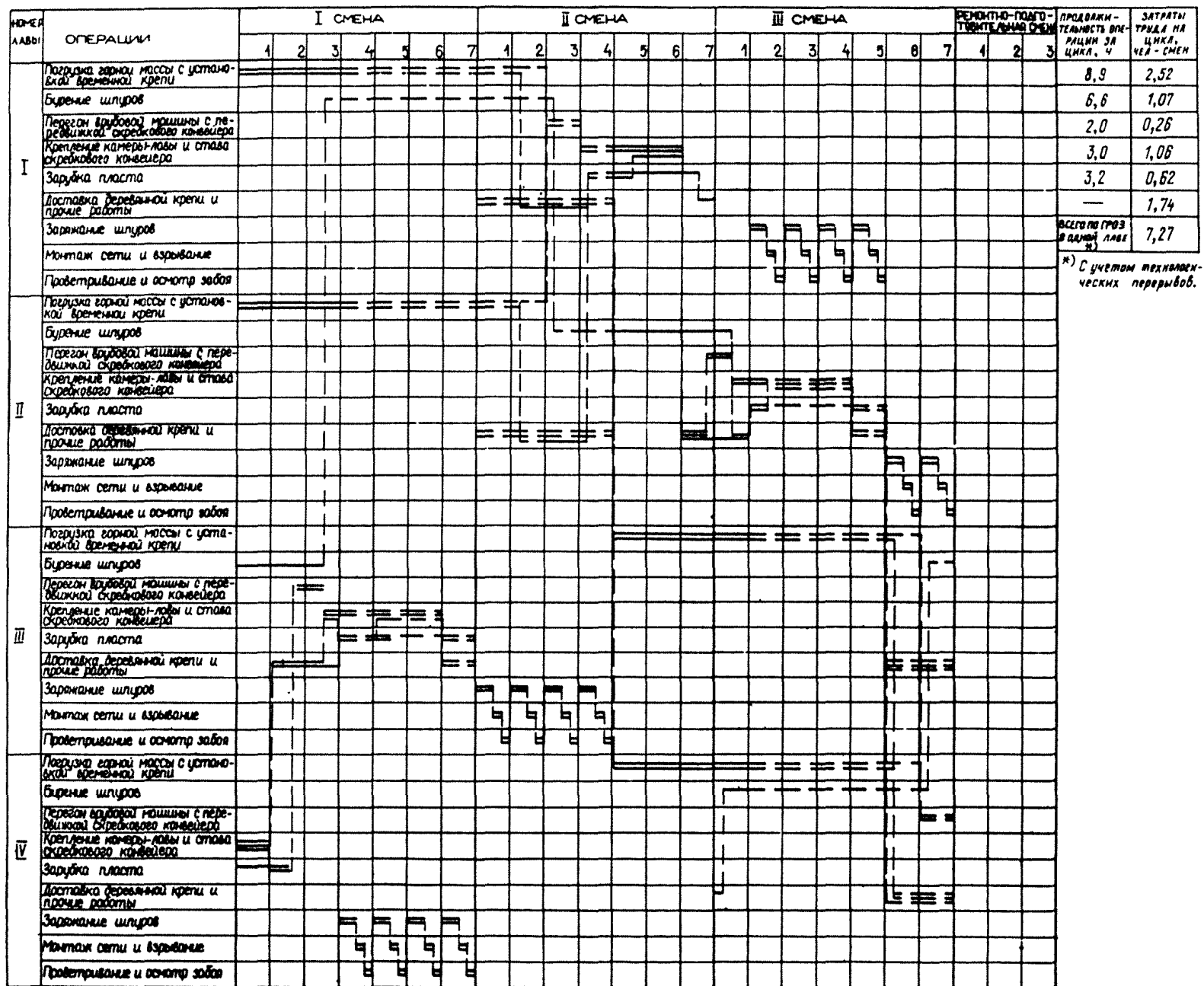


Рис. 13.2. Планограмма работ в счетверенных камерах-лавах с применением бурового станка БУА-3с

## ГРАФИК ОРГАНИЗАЦИИ РАБОТ В ОЧИСТНОМ ЗАБОЕ



\* С учетом технических перерывов.

Рис. 13.3. График организации работ в четверенных камерах-лавах с применением бурового станка БУА-3с

взрывные работы;  
зарубка лавы врубовой машиной;  
погрузка отбитой горной массы на конвейер;  
бурение.

Таблица 14.1

Условные обозначения показателей для расчета  
нагрузки на забой

На долю механизированной погрузки приходится до 90% отбитой горной массы; 4% отгружается в процессе отбойки взрывом и 6% - зачисткой призабойного пространства после погрузки машиной.

Технологические особенности очистных работ таковы, что погрузка горной массы, основной процесс выемочного цикла, довольно часто прерывается технологическими перерывами. В результате норма выработки ( $H_B = 112,8 \text{ м}^3/\text{смену}$ ) оказывается более чем в два раза ниже эксплуатационной производительности погрузочной машины ( $H_M = 270 \text{ м}^3/\text{смену}$ ). Таким образом, дальнейший прирост нагрузки на камеру-лаву должен обеспечиваться прежде всего в результате сокращения времени ведения взрывных работ в течение добычных смен и простоев из-за отсутствия порожняка. Другие рабочие процессы технологического цикла (бурение, крепление, концевые работы и др.), менее трудоемкие по затратам труда, должны как можно полнее совмещаться между собой и с процессом погрузки горной массы.

Расчет нагрузки на очистной забой (т/сут) выполняется по формулам:

для участка спаренных камер-лав

$$A_{\text{сут}} = \frac{P \cdot n_{\text{см}} \cdot K_n}{T_{\text{цч}} + (t_{\text{HV}} \cdot z \cdot h + t_{\text{H}} \ell) \ell + \ell / \ell_{\text{зз}} (T_{\text{зз}} + T_{\text{вп}}) + \frac{1}{n_{\text{вык}} \cdot L \cdot H_n}}; \quad (14.1)$$

для участка счетверенных камер-лав

$$A_{\text{сут}} = \frac{P \cdot n_{\text{см}} \cdot K_n}{T_{\text{цч}} + (t_{\text{HV}} \cdot z \cdot h + t_{\text{H}} \ell) \ell + \ell / \ell_{\text{зз}} [T_{\text{зз}} + (n_{\text{л}} - 1) T_{\text{л}}] + \frac{1}{n_{\text{вык}} \cdot L \cdot H_n}}; \quad (14.2)$$

Обозначения к данным формулам приведены в табл. 14.1.

#### 14.2. Пример расчета нагрузки

Нагрузка на участок счетверенных камер-лав при применении бурильной установки БУА-3с равна:

Показатели	Обозначение
Суточная нагрузка, т	$A_{\text{сут}}$
Производительность пласта, т/м <sup>2</sup> :	
по горной массе	$P$
по товарному сланцу	$P_c$
Ширина камеры-лавы, м	$L$
Длина лавы, м	$\ell$
Длина участка взрывания за один прием, м	$\ell_{\text{зз}}$
Подвигание забоя за цикл, м	$z$
Количество смен	$n_{\text{см}}$
Продолжительность смены, мин	$T_{\text{см}}$
Условно-постоянные затраты рабочего времени, мин:	
на одну смену	$T_{\text{цсм}}$
на один цикл	$T_{\text{чч}}$
Удельные затраты времени, мин/м <sup>3</sup> :	
на 1 м <sup>3</sup> добычи	$t_{\text{HV}}$
на 1 м длиной лавы	$t_{\text{H}}$
Время взрывания на 1 прием, мин	$T_{\text{вп}}$
Время перерыва в соседней лаве на один прием взрывания, мин	$T_{\text{л}}$
Время монтажа электровзрывной цепи, мин	$T_{\text{м}}$
Количество камер-лав в блоке	$n_{\text{л}}$
Сменная норма выходов ГРОЗ	$n_{\text{вык}}$
Норма выработки на переноску оборудования, м/см	$H_n$
Коэффициент выполнения норм выработки	$K_n$
Суммарная длина очистного забоя, м	$\ell_{\text{з}}$
Вынимаемая мощность пласта, м	$\ell$

$$A_{\text{сут}} = \frac{3,42 \cdot 3 \cdot 1,1}{39 + (1,445 \cdot 1,9 \cdot 1,7 + 4,732) \cdot 100 + \frac{100}{25} [63 + (4-1) \cdot 16]} + \frac{1}{9 \cdot 30 \cdot 15,5} = 2267 \approx 2270 \text{ т горной массы}$$

или  $A_{\text{сум}} \cdot \frac{P_c}{P} = 2267 \cdot \frac{1,99}{3,42} = 1319 \approx 1320$  т товарного сланца.

Приведенные ниже характеристики приняты в соответствии с нормативно-паспортными данными шахт производственного объединения:

$P_c = 1,99$  т/м<sup>2</sup>;  
 $P = 3,42$  т/м<sup>2</sup>;  
 $l = 100$  м;  
 $L = 30$  м;  
 $l_{\beta 3} = 25$  м;  
 $z = 1,9$  м;  
 $n_{\text{см}} = 3$ ;  
 $l_3 = 400$  м;  
 $n = 1,7$  м;  
 $n_{\lambda} = 4$  м;  
 $T_{\text{см}} = 420$  мин (продолжительность смены - 7 ч);  
 $T_{\text{усм}} = 25$  мин (из расчета 10 мин на личные надобности и 15 мин на подготовительно-заключительную работу);  
 $T_{\text{ц}} = 39$  мин (в том числе 19 мин на подготовительно-заключительные работы цикла, 20 мин - затраты времени на несомещенные операции);  
 $T_{\beta 3}$  и  $T_M$  принимаются в соответствии с нормативами на взрывные работы ( $T_{\beta 3} = 63$  мин;  $T_M = 16$  мин);  
 $n_{\text{вмк}} = 9$  человек (плановое);  
 $H_{\lambda} = 15,5$  м/см - принято по ЕНВ § 28 (Минуглепром СССР, 1973 г.);  
 $K_{\lambda} = 1,1$  - расчетный коэффициент увеличения нагрузки на забой.

Удельные затраты времени на 1 м<sup>3</sup> добычи определяются по формуле

$$t_{\text{HV}} = n_{\text{пм}} \cdot (T_{\text{ор}} + T_{\beta 3} + 0,75 \frac{T_{\text{ваз}}}{V_{\text{гмс}}}) \text{ мин/м}^3, \quad (I4.3)$$

$$t_{\text{HV}} = 0,9035(0,911 + 0,632 + 0,75 \frac{3}{40}) = 1,445 \text{ мин/м}^3,$$

где  $n_{\text{пм}}$  - доля горной массы, отгружаемая погрузочными машинами;  
 $T_{\text{ор}}, T_{\beta 3}$  - соответственно нормативное время основной и вспомогательной работы, мин/м<sup>3</sup>;

0,75 - относительно несомещаемое время замены составов, доли единицы;

$T_{\text{ваз}}$  - время на замену одной партии вагонеток, мин;  
 $V_{\text{гмс}}$  - объем горной массы в массиве на один состав, м<sup>3</sup>.

Удельные затраты времени на 1 м забоя определяются по формулам:

для участка счетверенных камер-лав

$$t_{\text{HL}} = t_{\text{HL}\beta} + t_{\text{HL}\delta} + t_{\text{HL}\eta} \text{ мин/м}, \quad (I4.4)$$

где  $t_{\text{HL}\beta}$  - удельные затраты времени на зарубку 1 м пласта, пропорциональные длине забоя, мин/м;

$t_{\text{HL}\delta}$  - удельные затраты времени на бурение, пропорциональные 1 м длины лавы, мин/м;

$t_{\text{HL}\eta}$  - удельные затраты времени на передвижку скребкового конвейера, пропорциональные 1 м длины лавы, мин/м;

для спаренных камер-лав

$$t_{\text{HL}} = t_{\text{HL}\beta} + t_{\text{HL}\eta} \text{ мин/м}. \quad (I4.5)$$

Величина  $t_{\text{HL}\delta}$  отсутствует, так как процесс бурения полностью совмещен с процессом погрузки горной массы.

Удельные затраты времени на зарубку определяются по формуле

$$t_{\text{HL}\beta} = \frac{[T_{\text{см}} - (T_{\text{пз}} + T_{\text{лн}})] \cdot z \cdot 100}{H_3 (100 + t_{\% \text{отд}})} \text{ мин/м}; \quad (I4.6)$$

$$t_{\text{HL}\beta} = \frac{[420 - (22 + 10)] \cdot 1,9 \cdot 100}{357 (100 + 12)} = 1,838 \text{ мин/м},$$

где  $T_{\text{пз}} = 22$  мин - время подготовительных операций;

$T_{\text{лн}} = 10$  мин - время на личные надобности;

$H_3 = 357$  м<sup>2</sup> - норма выработки на зарубку;

$t_{\% \text{отд}}$  - нормативное время на отдых - 12% оперативного времени.

Удельные затраты времени на бурение определяются по формуле

$$t_{\text{HL}\delta} = \frac{[T_{\text{см}} - (T_{\text{пз}} + T_{\text{лн}})] \cdot l_{\text{ш}} \cdot n_{\text{ш}} \cdot 100}{H_{\delta} (100 + t_{\% \text{отд}})} \text{ мин/м}; \quad (I4.7)$$

$$t_{\text{HL}\delta} = \frac{[420 - (22 + 10)] \cdot 2,05 \cdot 1,45 \cdot 100}{485(100 + 10)} = 2,206 \text{ мин/м},$$

где  $T_{пз} = 22$  мин;  
 $T_{лн} = 10$  мин;  
 $l_{ш} = 2,05$  м - средняя глубина шпура;  
 $n_{ш} = 1,45$  - количество шпуров, приходящихся на 1 м забоя;  
 $H_{\bar{d}} = 485$  п.м - норма выработки на бурение;  
 $t_{\%отд} = 10\%$ .

Удельные затраты времени на передвижку скребкового конвейера определяются по формуле

$$t_{н\ell n} = \frac{[T_{см} - (T_{пз} + T_{лн})] \cdot 100}{H_{пер} (100 + t_{\%отд})} \text{ мин/м}; \quad (14.8)$$

$$t_{н\ell n} = \frac{[420 - (23 + 10)] \cdot 100}{511 \cdot (100 + 10)} = 0,688 \text{ мин/м},$$

где  $T_{пз} = 23$  мин;  
 $T_{лн} = 10$  мин;  
 $H_{пер} = 511$  м - норма выработки на передвижку;  
 $t_{\%отд} = 10\%$ .

Удельные затраты времени на 1 м забоя составляют:

$$t_{н\ell} = 1,838 + 2,206 + 0,688 = 4,732 \text{ мин/м}.$$

Суточная нагрузка на четверенные камеры-лавы с применением буровых установок УБРС-I определяется аналогично и составляет 2225 т горной массы, или 1295 т товарного сланца.

Нагрузка на участок спаренных камер-лав рассчитывается по формуле (14.1) и составляет:

для варианта с применением бурильных установок УБРС-I - 1420 т/сут горной массы, или 825 т/сут товарного сланца;

для варианта с применением бурильной установки БУА-3с - 1420 т/сут горной массы, или 825 т/сут товарного сланца.

## 15. ЭКОНОМИЧЕСКАЯ ЭФФЕКТИВНОСТЬ ТЕХНОЛОГИЧЕСКОЙ СХЕМЫ

### 15.1. Методика определения экономической эффективности

Исходным положением для расчета экономической эффективности технологической схемы является "Методика определения экономиче-

ской эффективности использования в угольной промышленности новой техники, изобретений и рационализаторских предложений" (1979 г.).

Расчет годового экономического эффекта от внедрения (эксплуатация) новых средств и применения новых или усовершенствованных технологических схем производится по формуле

$$\mathcal{E} = [(C_1 - C_2) - E_H(K_2 - K_1)]A_2 + \mathcal{E}_{кос} \text{ руб.} \quad (15.1)$$

где  $C_1; C_2$  - эксплуатационные затраты соответственно по базовому и рассматриваемому вариантам, руб/т;

$K_1; K_2$  - удельные капитальные вложения на единицу продукции по базовому и рассматриваемому вариантам, руб/т;

$E_H$  - нормативный отраслевой коэффициент экономической эффективности капитальных вложений;  $E_H = 0,15$ ;

$A_2$  - годовой объем продукции при рассматриваемом варианте, тыс.т;

$\mathcal{E}_{кос}$  - косвенный экономический эффект в результате ввода рассматриваемого варианта в эксплуатацию, руб.

На сланцевых шахтах косвенный эффект наиболее полно учитывается по формуле

$$\mathcal{E}_{кос} = \mathcal{E}_1 + \mathcal{E}_2 + \mathcal{E}_3 + \mathcal{E}_4 \text{ руб.} \quad (15.2)$$

где  $\mathcal{E}_1$  - годовой экономический ущерб или эффект от изменения величины потерь запасов сланца, руб;

$\mathcal{E}_2$  - годовой экономический эффект от повышения нагрузки на очистной забой, руб;

$\mathcal{E}_3$  - годовой экономический эффект от повышения нагрузки на шахту, руб;

$\mathcal{E}_4$  - годовой экономический эффект от повышения средних темпов проведения подготовительных выработок по шахте, руб.

Годовой эффект или ущерб от изменения величины эксплуатационных потерь сланца при вводе в производство новой технологии определяется по "Методике экономической оценки потерь горючего сланца для шахт Прибалтийского бассейна" (1975 г.). Годовой экономический эффект от повышения нагрузки на очистной забой, если известна величина постоянных расходов для данного забоя до и после повышения нагрузки, определяется по формуле

$$\mathcal{E}_2 = (C_1'' \alpha_1 - C_2'') \text{ руб.} \quad (15.3)$$

где  $C_1''$ ;  $C_2''$  - годовые условно постоянные расходы по обслуживанию данного очистного забоя до и после повышения нагрузки на него, тыс.руб;

$\alpha_\lambda$  - коэффициент роста нагрузки на один очистной забой.

Если величина условно постоянных расходов для данного забоя неизвестна, то при  $\alpha_\lambda \leq 1,1$  значение  $Z_2$  находится из выражения

$$Z_2 = \frac{\gamma_{об} \cdot C_{ш} \cdot D_{1с} \cdot n_{дн}}{100} (\alpha_\lambda - 1) \text{ руб;} \quad (15.4)$$

при  $\alpha_\lambda > 1,1$  величина  $Z_2$  определяется по формуле

$$Z_2 = \frac{\gamma_{об} \cdot C_{ш} \cdot D_{1с} \cdot n_{дн}}{100} [0,1 + (\alpha_\lambda - 1,1) \cdot 0,8] \text{ руб/год,} \quad (15.5)$$

где  $\gamma_{об}$  - удельный вес условно постоянных расходов по звеньям, непосредственно обслуживающим один очистной забой в общешахтной себестоимости 1 т сланца, %;

$C_{ш}$  - производственная себестоимость 1 т сланца в целом по шахте до ввода новой техники, руб;

$D_{1с}$  - суточная нагрузка на шахту в период, предшествовавший внедрению новой техники, т;

$n_{дн}$  - число дней работы шахты в году.

Годовой экономический эффект от повышения нагрузки на шахту в целом определяется с учетом коэффициента роста нагрузки на шахту в результате данного мероприятия  $\alpha_{ш}$ :

при  $\alpha_{ш} \leq 1,1$  - по формуле

$$Z_3 = \frac{\gamma_{ш} \cdot C_{ш} \cdot D_{1с} \cdot n_{дн}}{100} (\alpha_{ш} - 1) \text{ руб,} \quad (15.6)$$

при  $\alpha_{ш} > 1,1$  - по формуле

$$Z_3 = \frac{\gamma_{ш} \cdot C_{ш} \cdot D_{1с} \cdot n_{дн}}{100} [0,1 + (\alpha_{ш} - 1,1) 0,7] \text{ руб,} \quad (15.7)$$

где  $\gamma_{ш}$  - удельный вес условно постоянных расходов на обслуживании общешахтных звеньев в производственной себестоимости 1 т сланца по шахте, %.

Годовой экономический эффект по шахте от повышения средних темпов проведения подготовительных выработок на действующих участках в результате ввода новой техники, а также при развитии подготовительных работ на новых участках  $Z_4$  может укрупненно определяться по формуле

$$Z_4 = K_c \frac{C_{ш} D_1 \gamma_{пз}}{100} \frac{V_{уч}}{V_{ш}} \left(1 - \frac{v_1}{v_2}\right) \text{ руб,} \quad (15.8)$$

где  $K_c = 0,8$  - коэффициент несоответствия уменьшения числа действующих подготовительных забоев и участков темпам роста скорости проведения выработок;

$D_1$  - годовая добыча шахты в период, предшествовавший внедрению на ней новой техники, т;

$\gamma_{пз}$  - удельный вес условно постоянных затрат на проведение подготовительных выработок в производственной себестоимости сланца по шахте до внедрения новой техники, %;

$v_1, v_2$  - средняя скорость проведения выработок на шахте до и после внедрения новой техники, м/мес;

$V_{уч}, V_{ш}$  - среднемесячный объем проведения подготовительных выработок до внедрения новой техники на исследуемом участке и по шахте в целом соответственно, м.

## 15.2. Определение нижней границы области рационального применения новой техники

При определении ожидаемого экономического эффекта от применения четверенных камер-лав, повышающих нагрузку на забой, необходим расчет для случаев возможного ее отклонения. Этим выявляются оптимальные условия осуществления мероприятия, в которых оно может быть признано эффективным.

Нижняя граница области рационального применения счетверенных камер-лав определяется по формуле

$$\alpha_{min} = \frac{E_H K_2'' + C_{2с}'' d_1}{E_H K_1'' + C_{1с}'' d_1 - C_{2с}' d_1}, \quad (15.9)$$

где  $\alpha_{min}$  - коэффициент минимально необходимого относительного роста нагрузки на очистной забой, при котором внедрение новой технологии может считаться экономически эффективным;

- $K_2^n$  - полные капитальные вложения по варианту счетверенных камер-лав, включая необходимые дополнительные капитальные вложения по сложным процессам, руб;  
 $K_1^n$  - полные капитальные затраты по варианту сдвоенных камер-лав, руб;  
 $d_1$  - годовая нагрузка на очистной забой до ввода счетверенных камер-лав;  
 $C_{1c}$  - полная себестоимость 1 т сланца по очистному забою до применения счетверенных камер-лав, руб;  
 $C'_{2c}, C''_{2c}$  - соответственно условно-переменные и условно постоянные расходы в себестоимости 1 т сланца по очистному забою (с учетом смежных вспомогательных процессов) после ввода новой техники, если нагрузка при этом не меняется (т.е.  $d_{min} = 1$ ), руб.

## 16. МЕТОДИЧЕСКИЕ УКАЗАНИЯ ПО ВНЕДРЕНИЮ ТЕХНОЛОГИЧЕСКОЙ СХЕМЫ

Разработанная технологическая схема предназначена к применению для условий Ленинградского месторождения горючих сланцев. Эффективность применения технологической схемы зависит от учета изменений горно-геологических условий в пределах выемочного участка, наличия и величины геологических нарушений и гидро-геологических условий.

Требуется обязательное выполнение условия соблюдения рациональных параметров выемочного участка: длины участка и длины камеры-лавы. Во всех случаях значения этих параметров должны быть не менее минимальных, регламентированных технологической схемой. Необходимым является соблюдение таких важных параметров, как ширина камеры-лавы и время ее отработки. Они не должны превышать максимальных значений, предусмотренных в технологической схеме.

Технологическая схема считается внедренной, если приняты рекомендуемая схема подготовки и система разработки с рациональными их параметрами, набор очистного оборудования, схемы участкового транспорта и электроснабжения, средства связи и сигнализации, а также достигнуты запланированные скорости проведения выработок и нагрузки на забой. В отдельных случаях при резком изменении горно-геологических условий допускаются отклонения от заданных параметров столба и камеры-лавы. Изменение в оборудовании допускается при появлении эквивалентного или более

совершенного по параметрам оборудования. Установленные показатели принимаются для данного забоя как плановые не позднее чем через два месяца после внедрения схемы.

Для оценки результатов внедрения технологической схемы необходимо иметь следующие данные:

число действующих камер-лав к началу и к концу рассматриваемого периода, в том числе камер-лав, работающих по рекомендуемой схеме;

добыча товарного сланца (горной массы) из камер-лав за рассматриваемый период, в том числе из камер-лав, работающих по рекомендуемой схеме;

средняя производительность труда рабочих в камерах-лавах, в том числе в камерах-лавах, работающих по рекомендуемой схеме;

объемы проведения подготовительных и выемочных выработок, а также метраж выработок, в которых была внедрена и освоена рекомендуемая технология;

среднемесячная скорость проведения подготовительных и выемочных выработок, в том числе тех из них, которые освоили показатели, предусмотренные новыми технологическими схемами;

средняя сменная производительность труда проходчиков, в том числе в забоях, работающих по новым технологическим схемам, и в забоях, освоивших показатели, предусмотренные в технологических схемах.

Результаты внедрения технологической схемы оцениваются путем сравнения технико-экономических показателей работы действующих забоев в начале и в конце рассматриваемого периода. Сравняется рост нагрузки на забой по шахте и по производственному объединению в зависимости от удельного участия добычи товарного сланца (горной массы) из забоев, работающих по рекомендуемой схеме.

При внедрении технологической схемы на шахтах необходимо указывать в соответствующих отчетах отклонения от рекомендуемых решений, причины, препятствующие внедрению схемы, и вносить предложения по ее совершенствованию.

Для определения экономической эффективности внедрения рекомендуемой технологической схемы можно пользоваться методикой, приведенной в разделе 15.

## 17. ЗАКЛЮЧЕНИЕ

В технологической схеме даны взаимосвязанные решения всего комплекса вопросов ведения очистных и подготовительных работ

при комбинированной системе разработки камерами-лавами в нормальных горно-геологических условиях Ленинградского месторождения: горных, механизации и организации работ, транспорта, вентиляции, электроснабжения, связи и сигнализации, безопасности.

Технические и технико-экономические вопросы в технологической схеме решены на основе передового опыта работы шахт производственного объединения "Ленинградсланец" и результатов научных исследований.

В схеме использованы средства механизации, которые выпускаются серийно для угольной промышленности и большинство из которых проверено в условиях сланцевых шахт, а также средства малой механизации, изготавливаемые в местных условиях.

При внедрении технологической схемы повышение производительности труда на очистных и подготовительных работах будет достигнуто в результате использования рациональных вариантов механизации и совершенствования организации работ.

Для достижения максимальной эффективности очистных и подготовительных работ необходимо:

перевести процесс бурения шпуров в забоях камер-лав на механическое бурение с помощью установок БУА-3с;

повсеместно перевести электроснабжение участков сетей на напряжение 660 В;

обеспечить при проведении подготовительных выработок широкое внедрение самоходных вагонов 5BCI5M и механизацию бурения с использованием буропогрузочных машин;

изыскать при проведении внемочных выработок эффективные средства механизации доставки горной массы и бурения;

для крепления кровли разработать средства механизация бурения шпуров диаметром 26-28 мм и завинчивания винтовых анкеров;

повысить ритмичность и надежность работы очистных и подготовительных забоев путем улучшения качества технического обслуживания оборудования, своевременного производства капитальных ремонтов, применения более производительного транспортного оборудования, создания аккумулялирующих емкостей на погрузочных пунктах, использования научной организации труда, повышения трудовой и технологической дисциплины;

пересмотреть и привести в соответствие с фактической производительностью и степенью использования машин и механизмов систему существующих нормативов;

широко использовать передовые методы работы.

С целью дальнейшего совершенствования данной системы разработки и достижения более высоких уровней нагрузок на забой необходимо:

создать более совершенное оборудование погрузочных пунктов (скоростные толкатели и механизированные бункера);

изыскать оптимальные пути решения транспортной проблемы шахты с целью сокращения простоев очистных участков из-за транспорта;

изыскать оптимальные решения концентрации работ в камерах-лавах, в том числе ликвидация взрывных работ в добычные смены, более широкое внедрение и одновременное совершенствование технологической схемы с применением большей длины линии очистных забоев (счетверенные камеры-лавы);

разработать прогрессивные средства проведения подготовительных выработок - проходческие комплексы, состоящие из комбайна избирательного действия, устройств для бурения по кровле и возведения винтовых анкеров, перегружателя и т.д.

Внедрение технологической схемы обеспечит повышение эффективности использования техники, упорядочение методов ведения очистных работ, улучшение организации работ и повышение безопасности, что позволит всем бригадам, работающим в камерах-лавах и подготовительных забоях с нормальными горно-геологическими условиями, добиться нагрузок и скоростей, достигнутых передовыми бригадами.

Кроме того, внедрение технологической схемы улучшит планирование горных работ и материально-технического снабжения, повысит концентрацию работ, создаст благоприятные условия для ритмичной работы общешахтного транспорта, что в свою очередь будет способствовать улучшению технико-экономических показателей работы шахт Ленинградского месторождения.



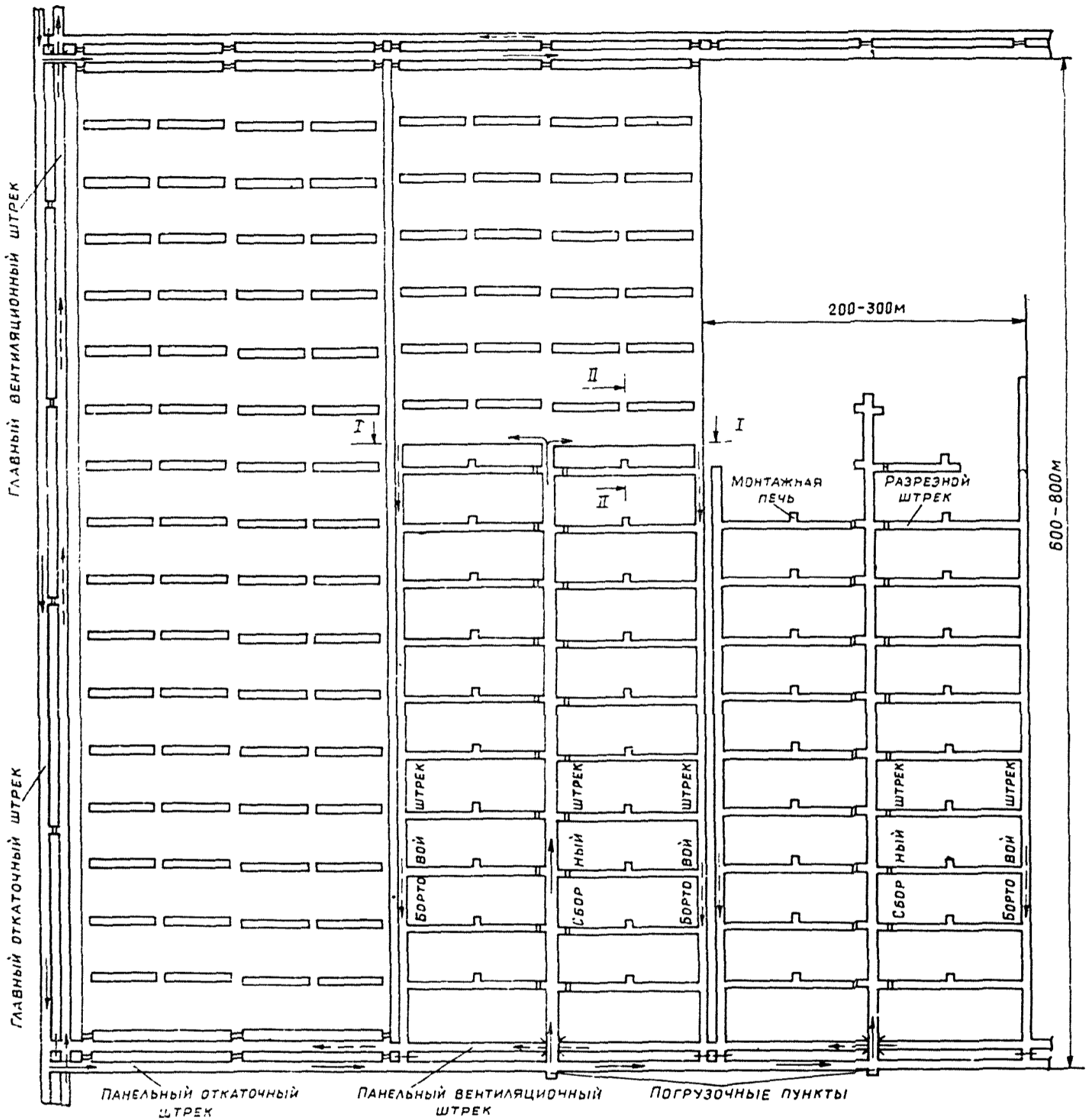


СХЕМЫ  
ОЧИСТНЫХ И ПОДГОТОВИТЕЛЬНЫХ РАБОТ

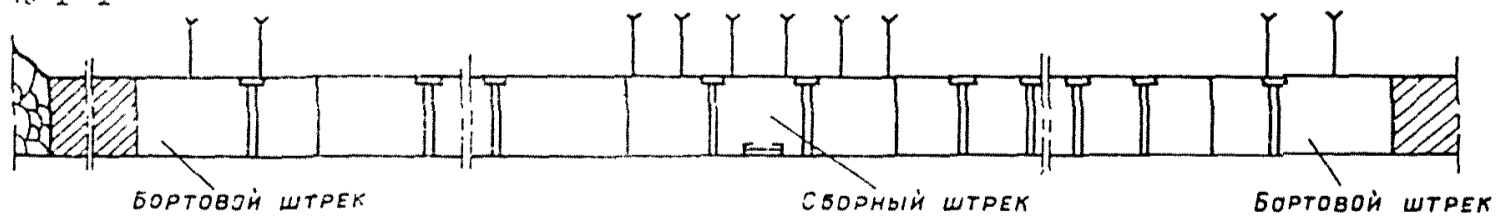


СХЕМА ПОДГОТОВКИ И СИСТЕМА РАЗРАБОТКИ  
(вариант I)

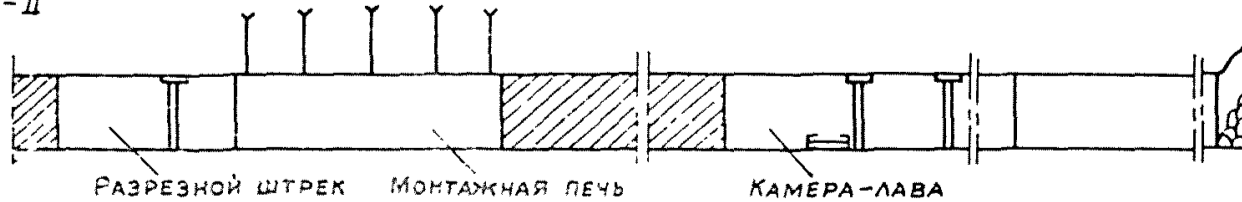
С х е м а I

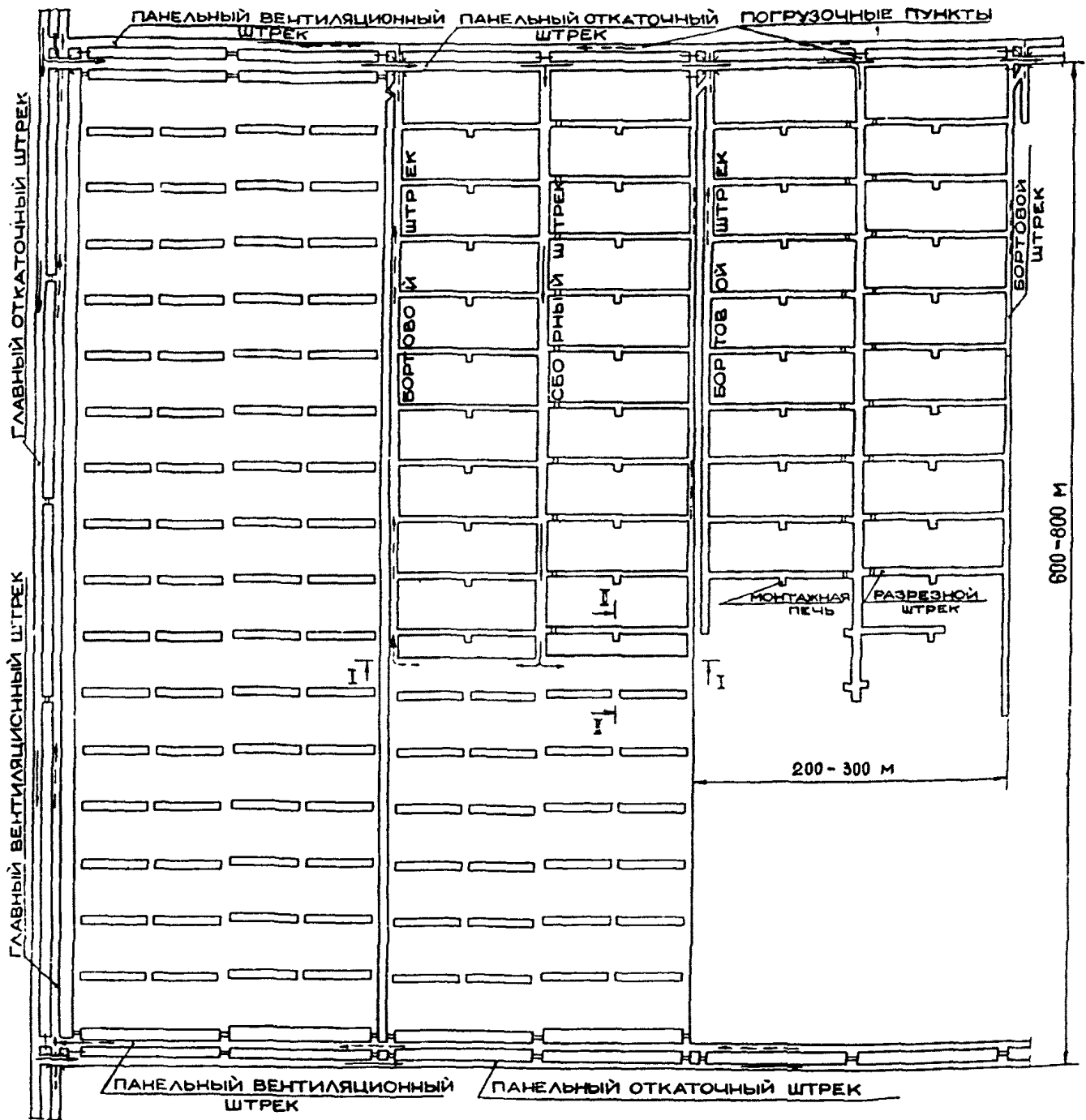


По I-I

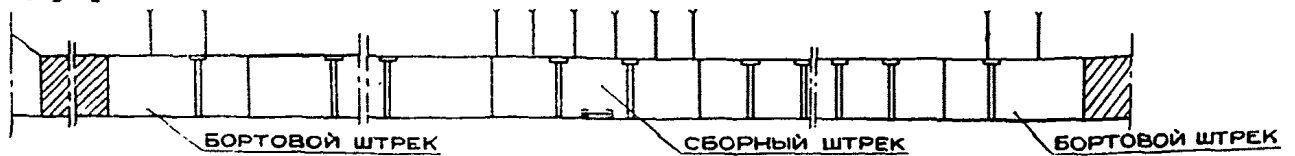


По II-II





По I-I



По II-II

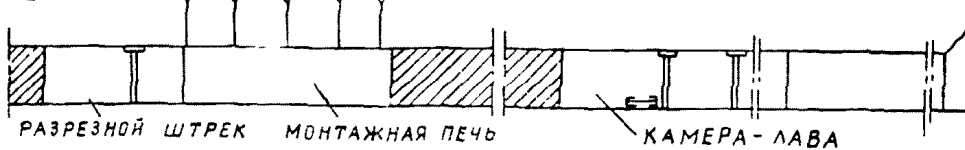


СХЕМА ПОДГОТОВКИ И СИСТЕМА РАЗРАБОТКИ  
(вариант Ш)

Схема 3

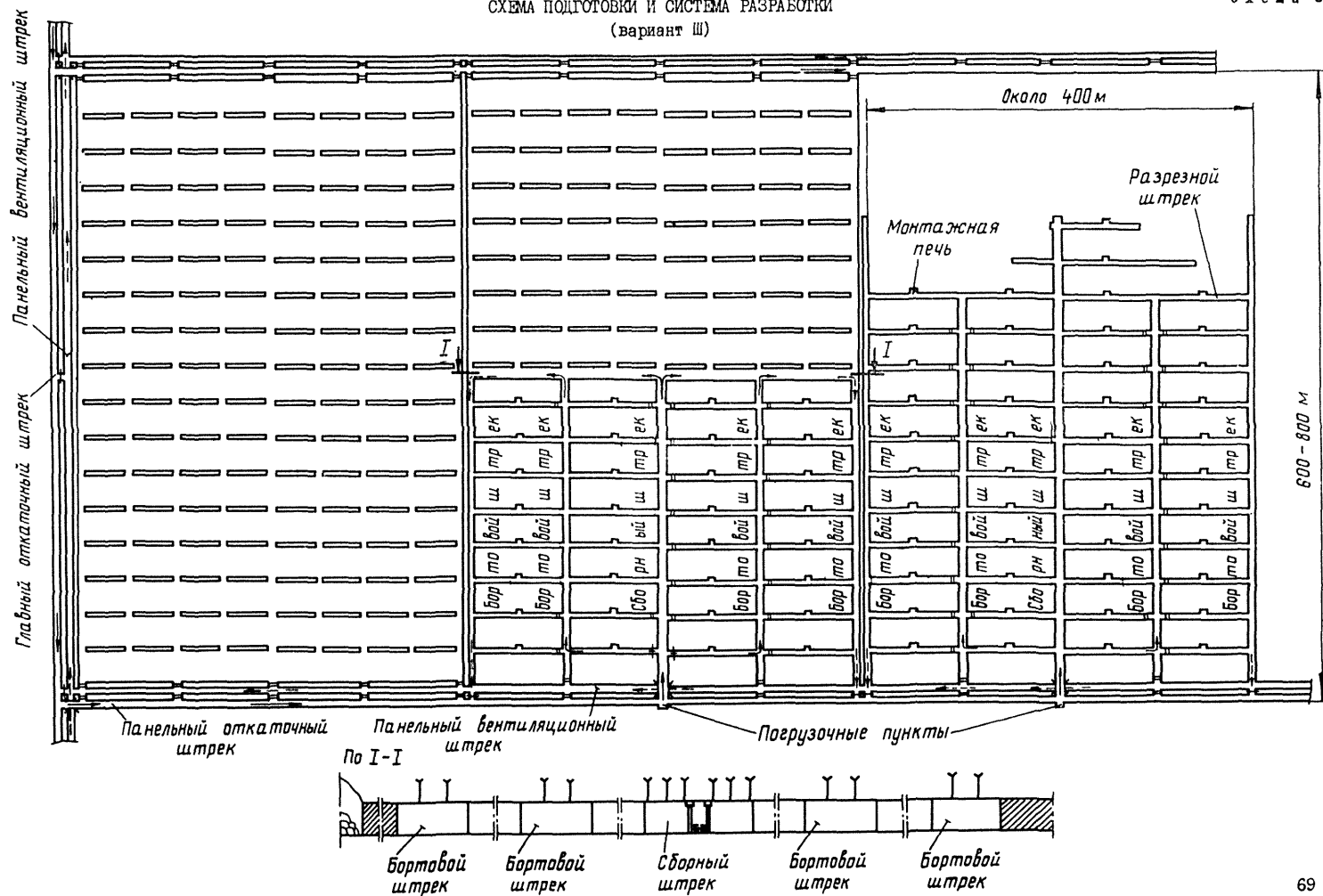


СХЕМА ПОДГОТОВКИ И СИСТЕМА РАЗРАБОТКИ  
(вариант IV)

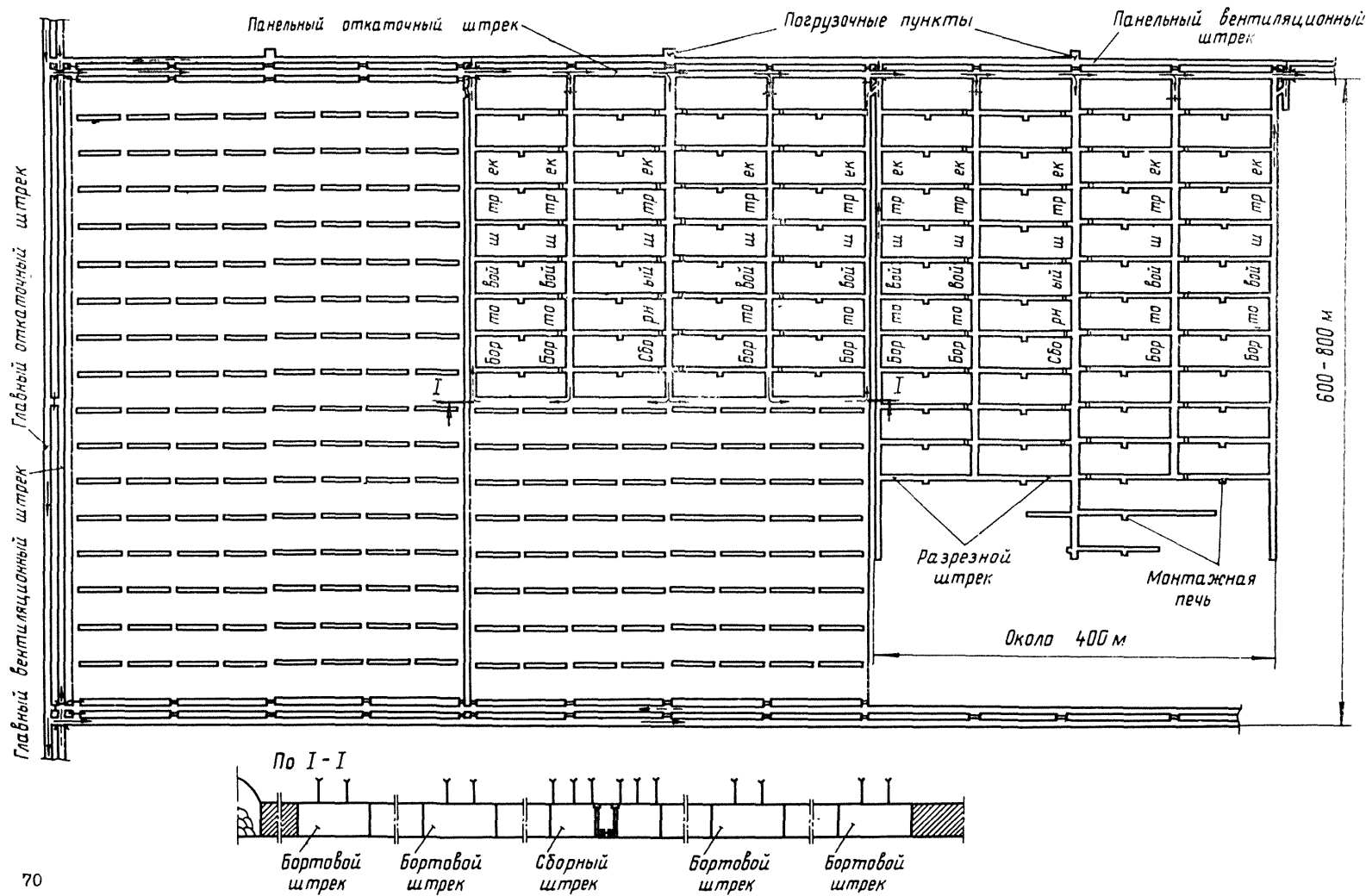


СХЕМА ОЧИСТНОГО ЗАБОЯ И РАЗМЕЩЕНИЯ ОБОРУДОВАНИЯ  
(вариант Ш)

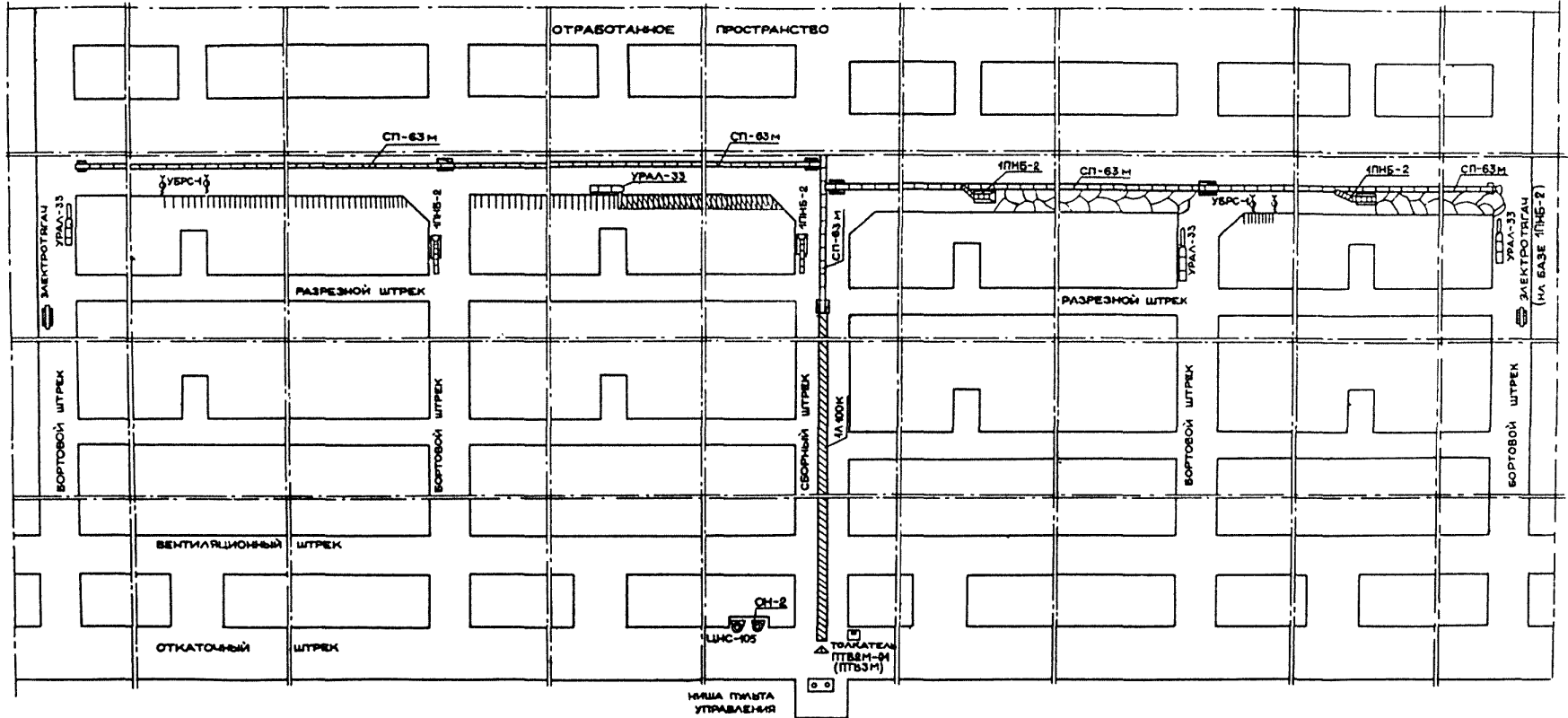
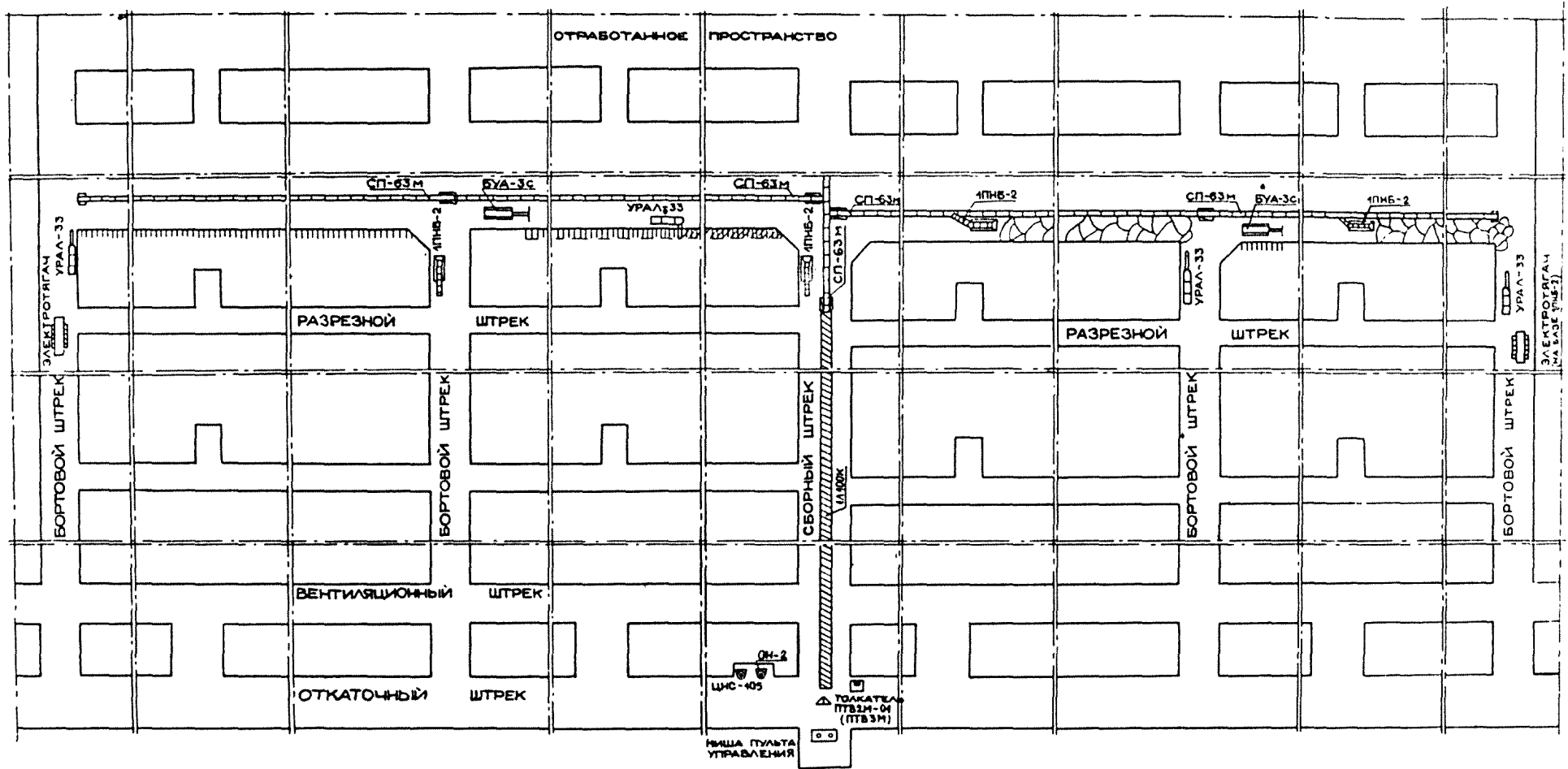




СХЕМА ОЧИСТНОГО ЗАБОЯ И РАЗМЕЩЕНИЯ ОБОРУДОВАНИЯ  
(вариант IV)



К схемам I-8

Условия применения

Выводимая мощность пласта, м	1,65 - 2,2
Мощность покрывающих пород, м	50-150
Угол падения, град	0
Коэффициент крепости:	
сланца	2-4
известняка	6-8
Водообильность вмещающих пород	Слабая
Устойчивость кровли	Устойчивая
Прочность почвы	Прочная
Схема подготовки	Панельными штреками
Система разработки	Камерами-лавами
Способ управления кровлей	Поддержание на ленточных целиках
Способ выемки	Буровзрывной

К схемам I-8

Исходные данные для расчета

Выводимая мощность, м	1,80
Угол падения пласта, град	0
Плотность горной массы, т/м <sup>3</sup>	1,90
Глубина залегания пласта, м	80
в том числе карбонатных пород	≥ 50
Устойчивость кровли	Устойчивая
Производительность пласта, т/м <sup>2</sup> :	
по товарному сланцу	1,99
по горной массе	3,42
Коэффициент крепости:	
сланца	2-4
известняка	4-8
Размеры внеочного участка, м	222x600 (варианты I, II) 430x600 (варианты III, IV)
Длина камеры-лавы, м	100
Ширина камеры-лавы, м	34
Подвигание забоя за цикл, м	1,9

Т а б л и ц а к схемам I-8

Расчетные показатели

Показатели	Схема очистного забоя			
	I	II	III	IV
Добыча из очистного забоя, т/сут:				
горной массы	1420	1420	2225	2270
товарного сланца	825	825	1295	1320
Число смей по добыче	3	3	3	3
Скорость подвигания очистного забоя, м/сут	2,07	2,07	1,63	1,66
Количество выходов за сутки по очистному забоям	34	31	49	46
Производительность труда рабочего на очистных работах, т/выход:				
по горной массе	41,7	45,8	45,4	49,3
по товарному сланцу	24,3	26,6	26,4	28,7
Эксплуатационные потери сланца, %	21,6	21,6	20,7	20,7
Проведение подготовительных выработок, м/1000 т добычи:				
по горной массе	14,9	14,9	14,5	14,5
по товарному сланцу	25,0	25,0	24,3	24,3
по геологической производительности пласта	29,6	29,6	28,8	28,8

Т а б л и ц а к схемам 4-8

## Оборудование очистного забоя

Оборудование	Количество оборудования по вариантам схемы очистного забоя							
	I		II		III		IV	
	На лаву	Всего	На лаву	Всего	На лаву	Всего	На лаву	Всего
Погрузочная машина ПНБ-2	I	2	I	2	I	4	I	4
Скребок конвейер СК-63м	I	2	I	2	I	4	I	4
Врубовая машина "Урал-33"	I	2	I	2	I	4	I	4
Буровая установка УБРС-1	-	2	-	-	-	4	-	-
Буровой станок БУА-3с	-	-	-	I	-	-	-	2
Электросверло СЭР-19м	I	2	I	2	I	4	I	4
Насос оросительный ОН-2	-	I	-	I	-	I	-	I
Насос протавопожарный ЦНС-105	-	I	-	I	-	I	-	I
Электропила (на базе СЭР-19м)	-	I	-	I	-	2	-	2

Т а б л и ц а к схемам 4-8

## График выходов

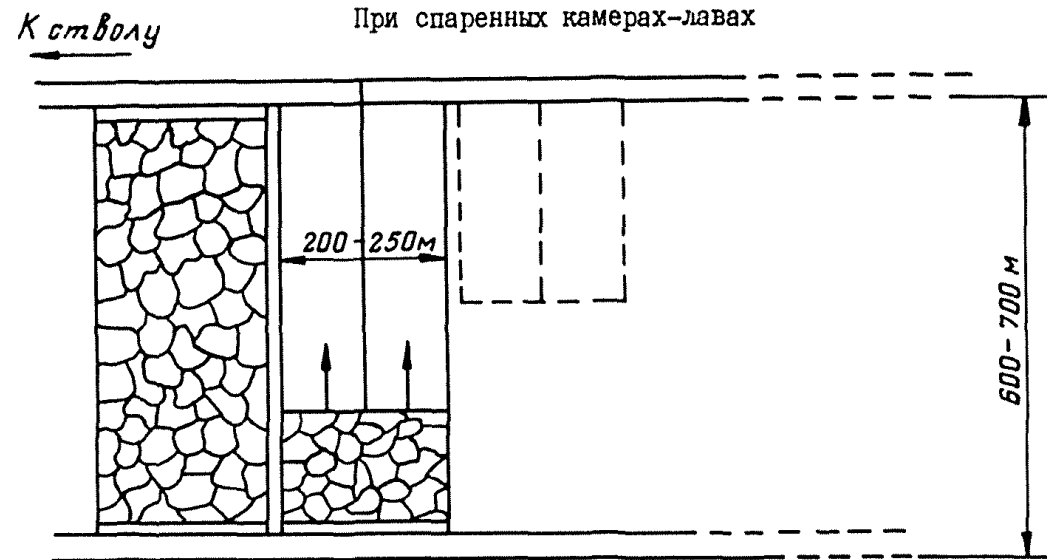
Профессии	Схема очистного забоя															
	I				II				III				IV			
	Число рабочих															
	в смену			в сут-ки	в смену			в сут-ки	в смену			в сут-ки	в смену			в сут-ки
I	2	3	I		2	3	I		2	3	I		2	3		
Горнорабочий очистного забоя,	7	7	7	2I	6	6	6	18	10	10	10	30	9	9	9	27
в том числе:																
машинист погрузочной машины	2	2	2	6	2	2	2	6	4	4	4	12	4	4	4	12
машинист буровой установки	2	2	2	6	I	I	I	3	4	4	4	12	2	2	2	6
Насыпщик-откатчик	I	I	I	3	I	I	I	3	I	I	I	3	I	I	I	3
Взрывники	2	2	2	6	2	2	2	6	-	-	-	8	-	-	-	8
Электрослесари	-	-	-	4	-	-	-	4	-	-	-	8	-	-	-	8
Всего				34				3I				49				46

Т а б л и ц а к с х е м а м 4-8

Основное оборудование для транспортирования горной массы  
и вспомогательных грузов на очистных работах

Место установки	Вид оборудования	Тип	Количество оборудования в выработке максимальной длины для варианта			
			I	II	III	IV
Сборный штрек	Ленточный конвейер	ЛПОСК	I	I	I	I
	Скреповый конвейер	СП63М	I	I	I	I
Панельный отка- точный штрек	Аккумулярующий бункер	Несняемый запас порожних ваго- неток ВГ-3,3 или ВД-5,6, состав	-	-	I	I
	Толкатель	ПТВ-3М - для ВГ-3,3 ПТВ-2м-01 для ВД-5,6	I	I	2	2
Сборный штрек	Электровозная откатка - электровозы К14 (К4КР), шахтные вагонетки ВГ-3,3 или ВД-5,6	Транспортирование горной массы от нагрузочного пункта до околостволь- ного двора				
	Такелажные тележки	Доставка материалов и оборудования в лаву				
Бортовой штрек	Электротягач	Доставка крепёжных материалов в лаву на базе ПНБ-2	I	I	2	2
	Аккумуляторный электровоз	4,5 АРП-2М	I	I	2	2
Панельный штрек	Электровозная откатка - электровозы К10 (КР10) грузовые вагонетки ВГ-2,5 или ВГ-3,3, специализиро- ванные вагонетки	Доставка материалов и оборудова- ния к пунктам выемочных участков				

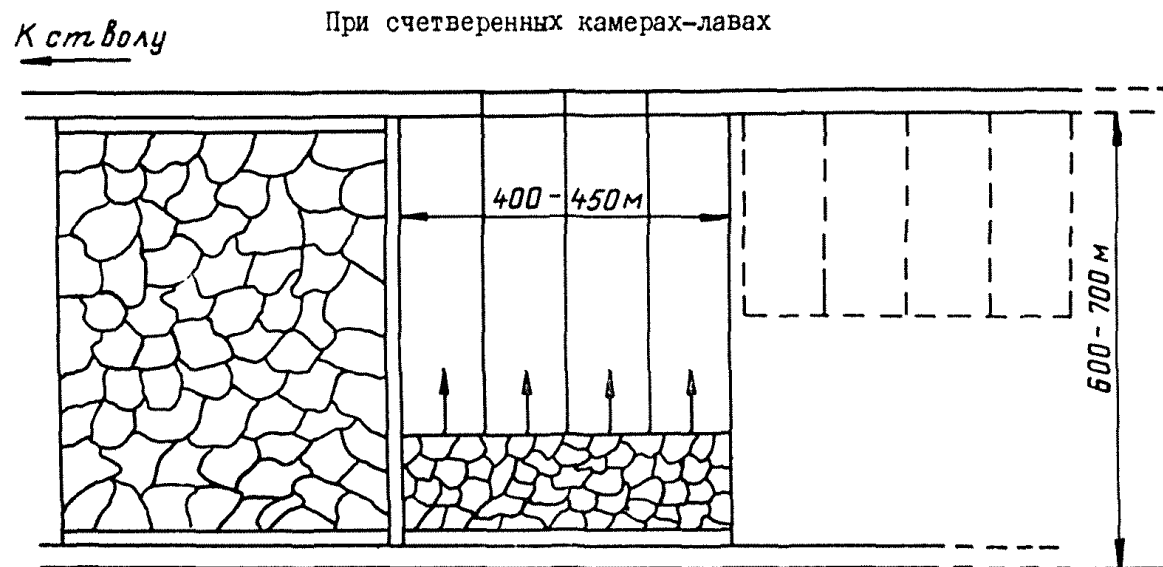
СХЕМА И ПОСЛЕДОВАТЕЛЬНОСТЬ ПОДГОТОВКИ ВЫЕМОЧНЫХ УЧАСТКОВ

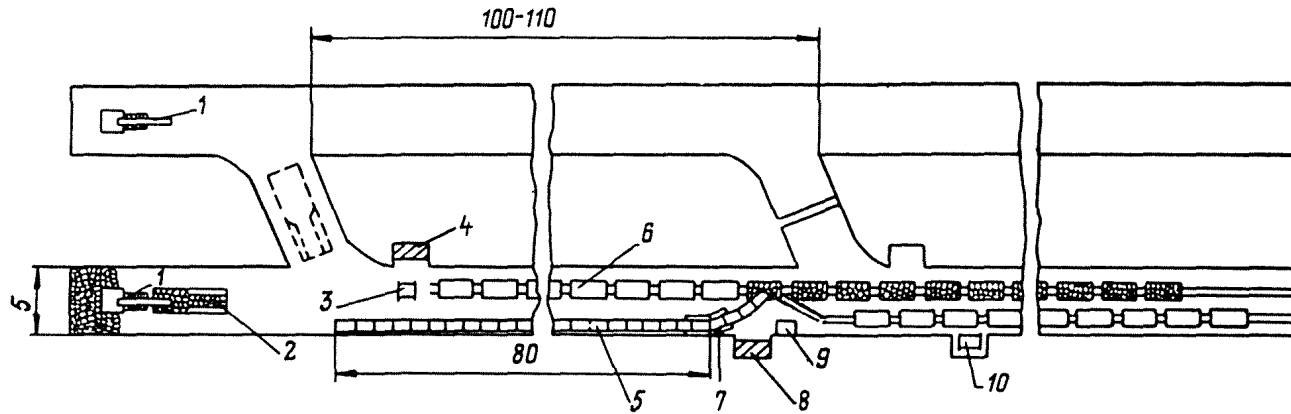


Основные технико-экономические показатели

Выработка	Скорость проходки, м/мес	Время проходки, мес <sup>х</sup>	Численность звена, чел	Производительность труда проходчиков, м <sup>3</sup> /чел.-смену
Панельный откаточный штрек	123	1,6/3,2	5	13,5
Панельный вентиляционный штрек	123	1,6/3,2		
Сборный штрек	173	4,0	2	13,4
Разрезной штрек	223	15,2/30,4	2	11,5
Бортовой штрек	223	6,3/12,6	2	11,5

х) В числителе - для двойных, в знаменателе - для четверных камер-лаз.





1- погрузочная машина 1ПНБ-2

2-самоходный вагон 5ВС-15

3- лебедка порожняковая

4-распределительный пункт забоев

5- конвейер СП-63 с бортами

6- вагонетки ВД-5,6

7- перегружатель на базе 2ПНБ-2

8-распределительный пункт погрузочного пункта

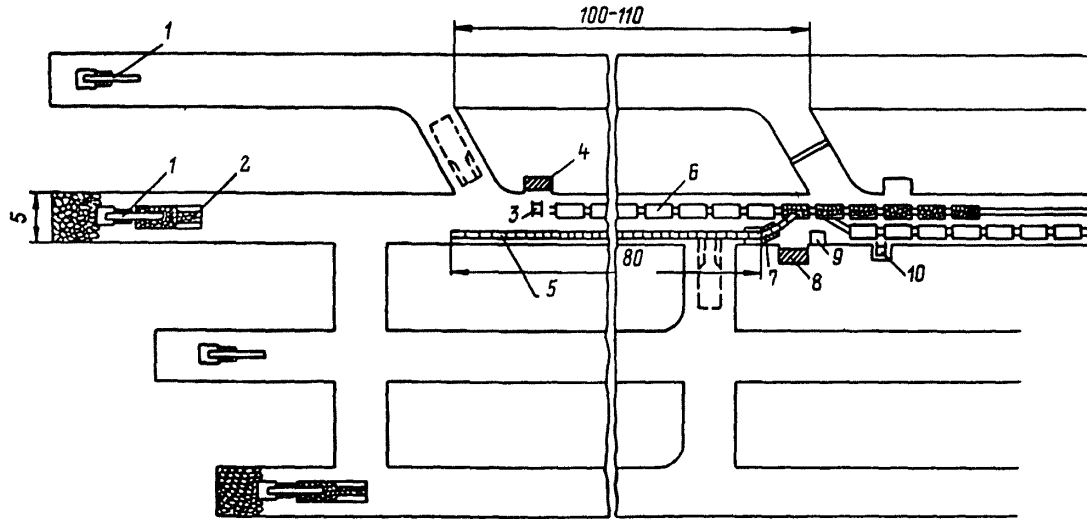
9- пульт управления

10- лебедка грузовая

Основные технико-экономические показатели

Показателя	Откаточный штрек	Вентиляционный штрек
Ширина штрека, м	5,0	5,0
Высота штрека, м	3,1	2,8
Сечение штрека, м <sup>2</sup>	15,5	14,0
Количество проходчиков, чел.:		
в смену		5
в сутки		15
Количество циклов:		
в смену		1,45
в сутки		4,35
Подвигание забоя:		
в сутки		6,83
в месяц		123
Производительность труда проходчиков на выход, м		0,91

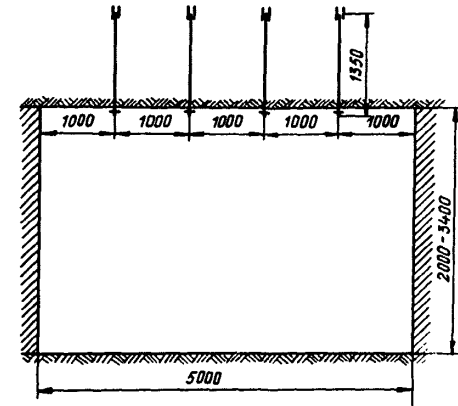
СХЕМА ПРОВЕДЕНИЯ СЧЕТВЕРЕННЫХ ПОДГОТОВИТЕЛЬНЫХ ВЫРАБОТОК

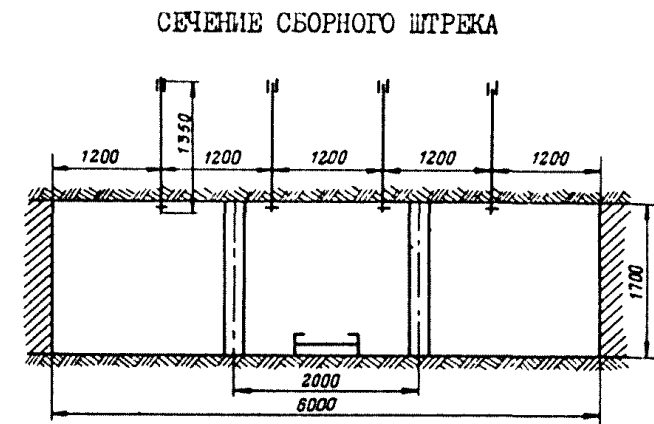
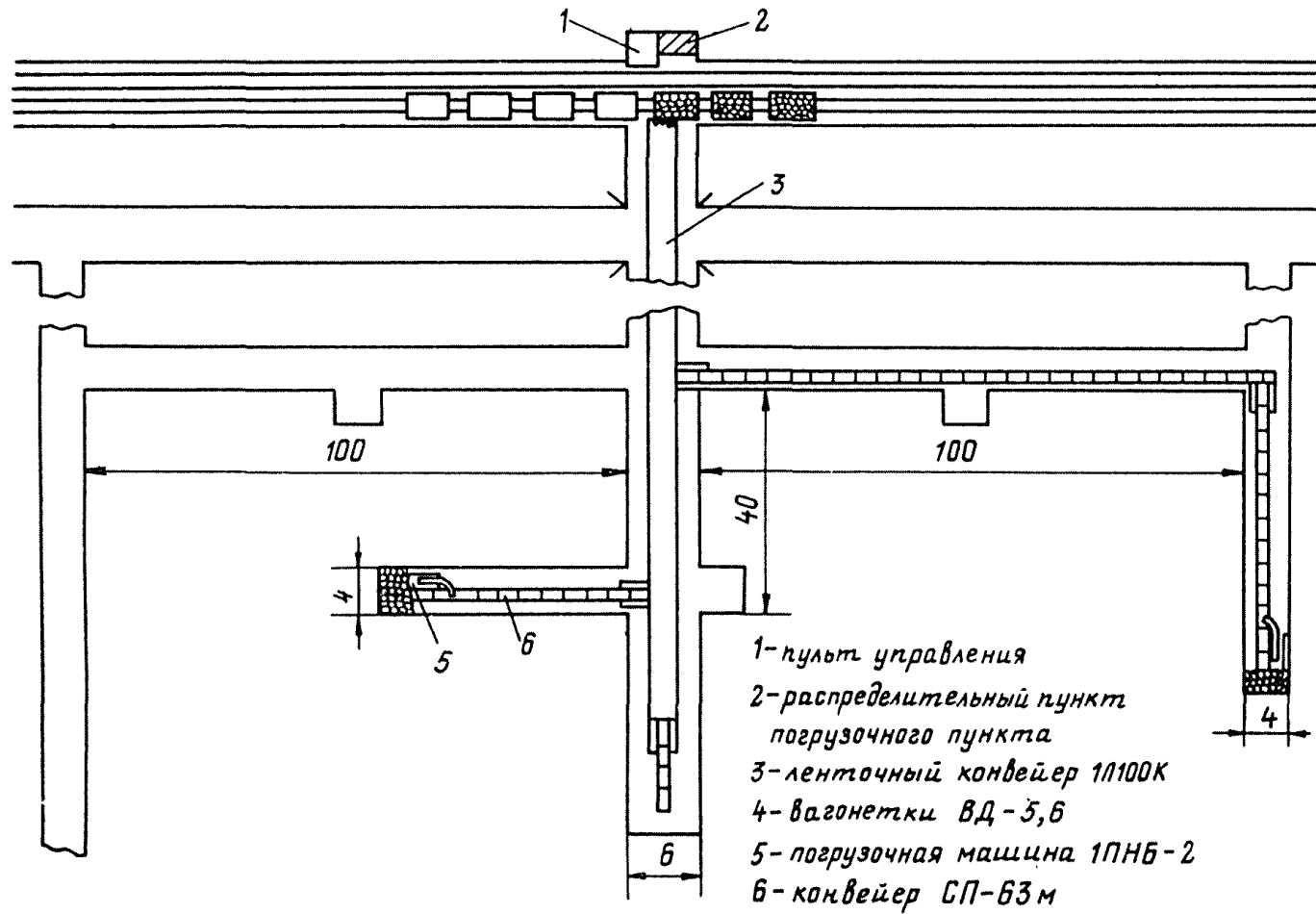


- 1-погрузочная машина 1ПНБ-2
- 2-самоходный вагон 5ВС-15
- 3-лебедка порожняковая
- 4-распределительный пункт забоев
- 5-конвейер СП-БЗ с бортами

- 6-вагонетки ВД-5,6 (ВГ-33)
- 7-перегрузатель на базе 2ПНБ-2
- 8-распределительный пункт погрузочного пункта
- 9-пульт управления
- 10-лебедка грузовая

СЕЧЕНИЕ  
ОТКАТОЧНОГО И ВЕНТИЛЯЦИОННОГО ШТРЕКОВ





СЕЧЕНИЕ РАЗРЕЗНОГО (БОРТОВОГО) ШТРЕКА

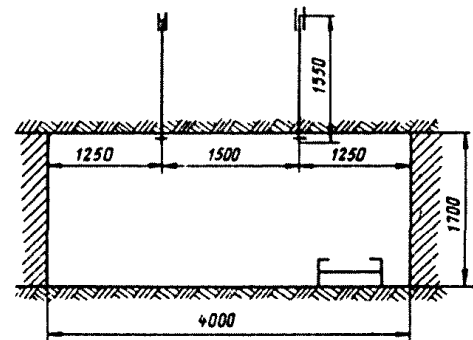
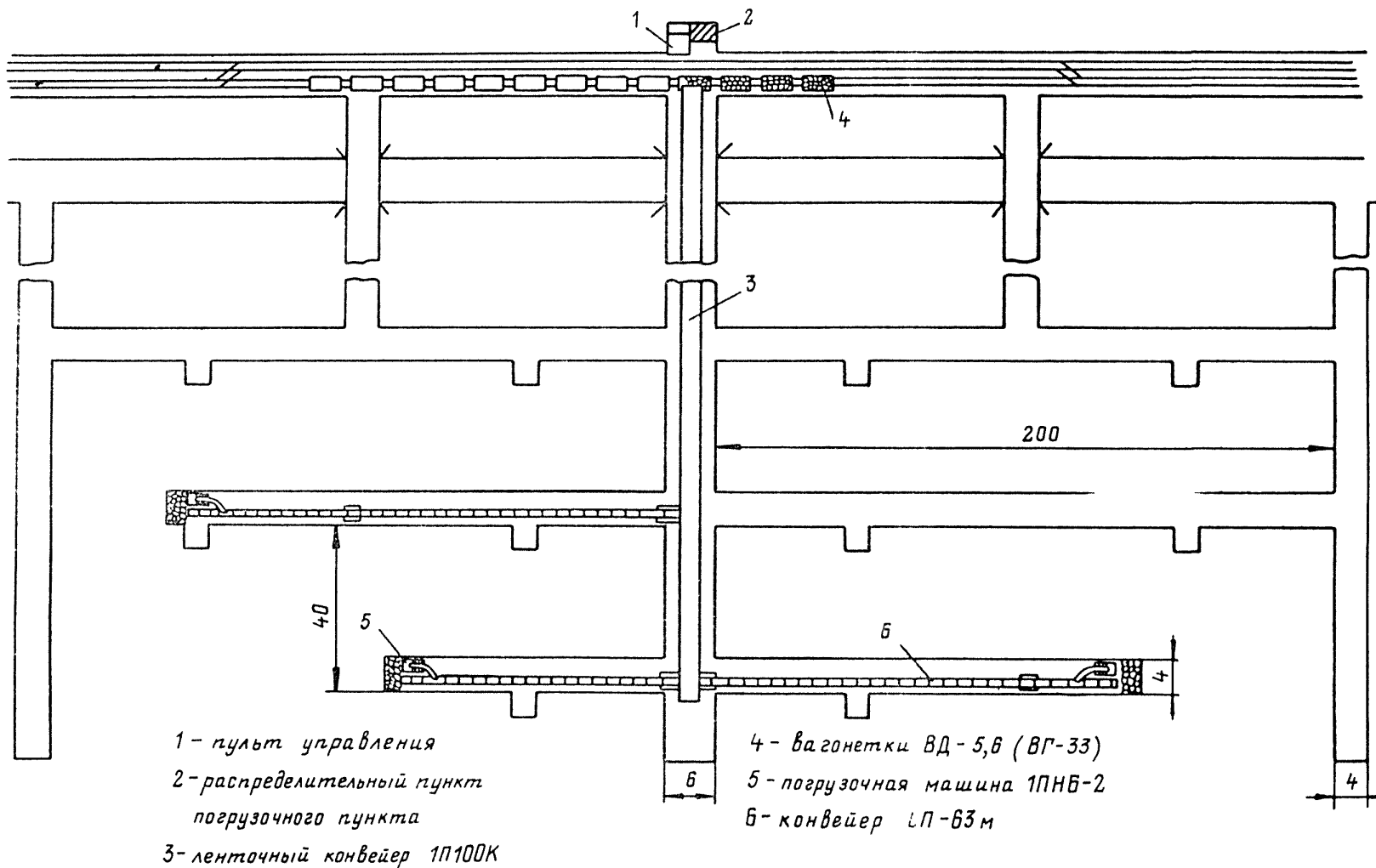




СХЕМА ПРОВЕДЕНИЯ ВЫЕМОЧНЫХ ВЫРАБОТОК СЧЕТВЕРЕННЫХ КАМЕР-ЛАВ



Т а б л и ц а к с х е м а м 9-11

Основное оборудование для транспортирования на  
горноподготовительных работах горной массы и вспомогательных грузов

Место установки	Вид оборудования	Назначение	Т и п
Панельный откаточный и вентиляционный штреки	Самоходный вагон и скребковый конвейер, скребковый перегружатель	Транспортирование горной массы из забоя до погрузочного пункта	Самоходный вагон 5BC15 (5BC15M); скребковый конвейер СП63 (СП63М); скребковый перегружатель на базе погрузочной машины 2ПНБ2 (ПНБ2)
	Электровозная откатка	Транспортирование горной массы от погрузочного пункта до околоствольного двора	Контактный электровоз К1С (10КР), К14 (14КР), шахтные вагонетки ВД5,6, ВГ3,3
	Электровозный транспорт, самоходный вагон	Транспортирование материалов и оборудования, доставка людей	Контактный электровоз К10 (10КР), специально оборудованные вагонетки, вагонетки для перевозки людей
Сборный, бортовой и разрезной штреки	Скребковые конвейеры, ленточный конвейер, толкатель и перекрыватель межвагонного пространства	Транспортирование горной массы из забоя до погрузочного пункта	Скребковый конвейер СП63 (СП63М), ленточный конвейер ЛЛ00К, толкатель ПТВ-2М-01 или ПТВ-3м, перекрыватель маятникового типа
	Такелажная тележка	Транспортирование материалов и оборудования	Специальная, местного производства

Примечание. Количество электровозов, грузовых и специализированных вагонеток, предназначенных для транспортирования горной массы от очистных и подготовительных забоев и вспомогательных грузов в очистные и подготовительные забой, устанавливается по потребности в целом по шахте.

СХЕМА РАЗМЕЩЕНИЯ ОБОРУДОВАНИЯ ДЛЯ ПЫЛЕПОДАВЛЕНИЯ ОРОШЕНИЕМ  
(для варианта II)

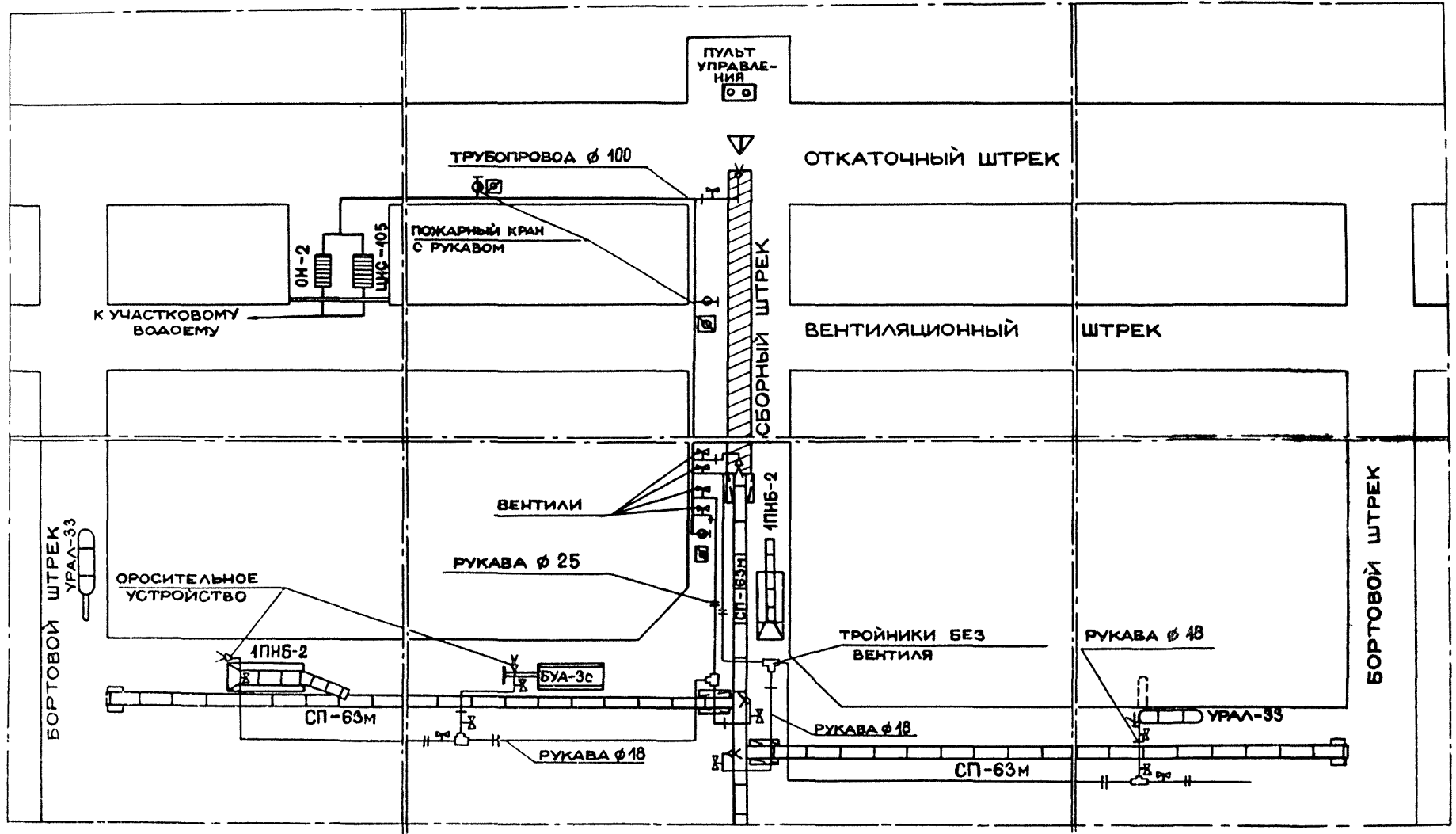
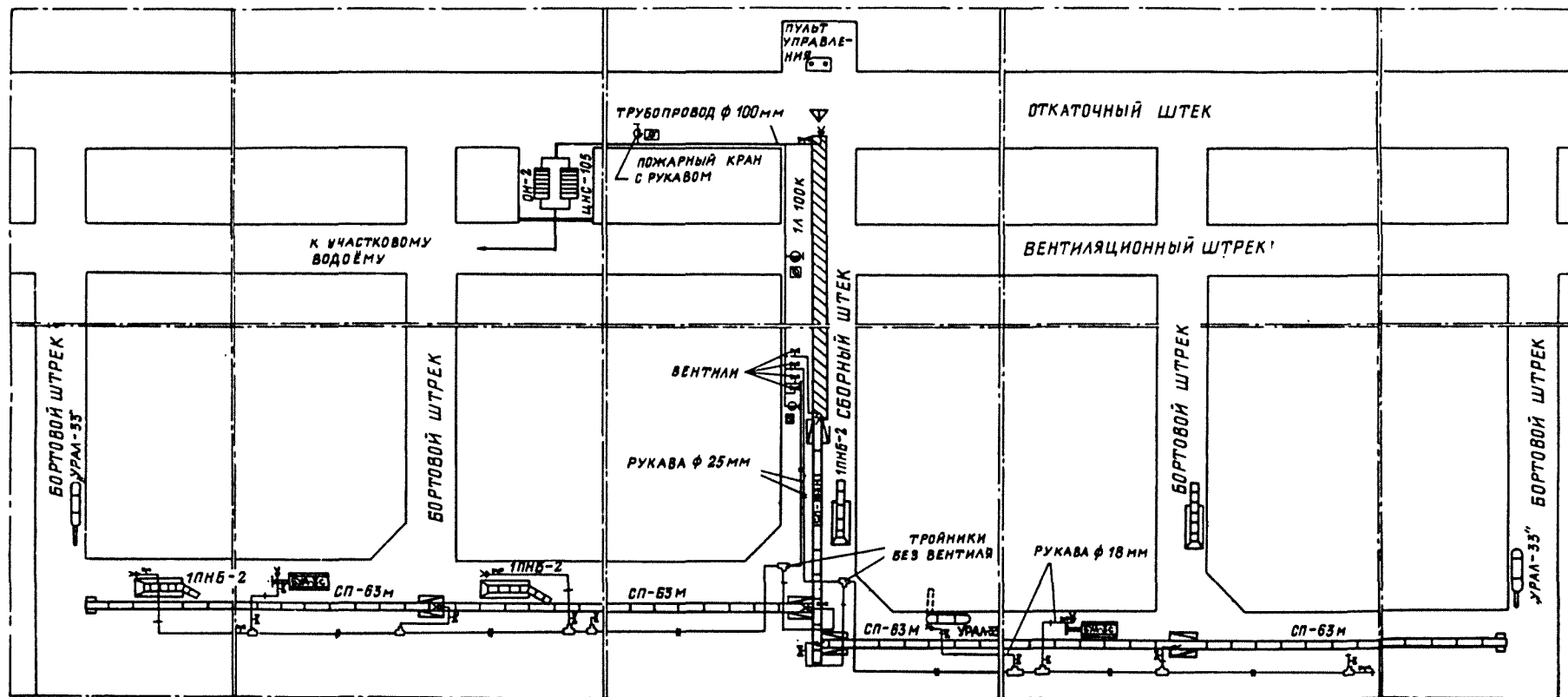


СХЕМА РАЗМЕЩЕНИЯ ОБОРУДОВАНИЯ ДЛЯ ПЫЛЕПОДАВЛЕНИЯ ОРОШЕНИЕМ  
(для варианта IV)



## Параметры и основные показатели пылеподавления

Место пылеобразования	Средства пылеподавления	Количество форсунок на одной машине	Расход воды через одну форсунку, м <sup>3</sup> /ч	Расход воды на место пылеобразования, м <sup>3</sup> /ч	Режим работы средств пылеобразования
Бурение шпуров: ручными электросверлами с помощью БУА-3с	Проветривание форсунок	1	0,12	0,12	Действует постоянно Во время бурения
Врубовая машина	То же	6	0,12	0,12	Во время подрубки пласта
Погрузочная машина	"	12	0,12	1,44	Во время погрузки
Пересыпы: скрабковые конвейеры	"	3	0,12	0,36	Во время работы конвейеров
ленточные конвейеры	"	1	0,12	0,12	
Погрузочный пункт	Обмывка				Один раз в 3 суток
Взрывные работы	Взрывное распыление воды				Во время взрывных работ

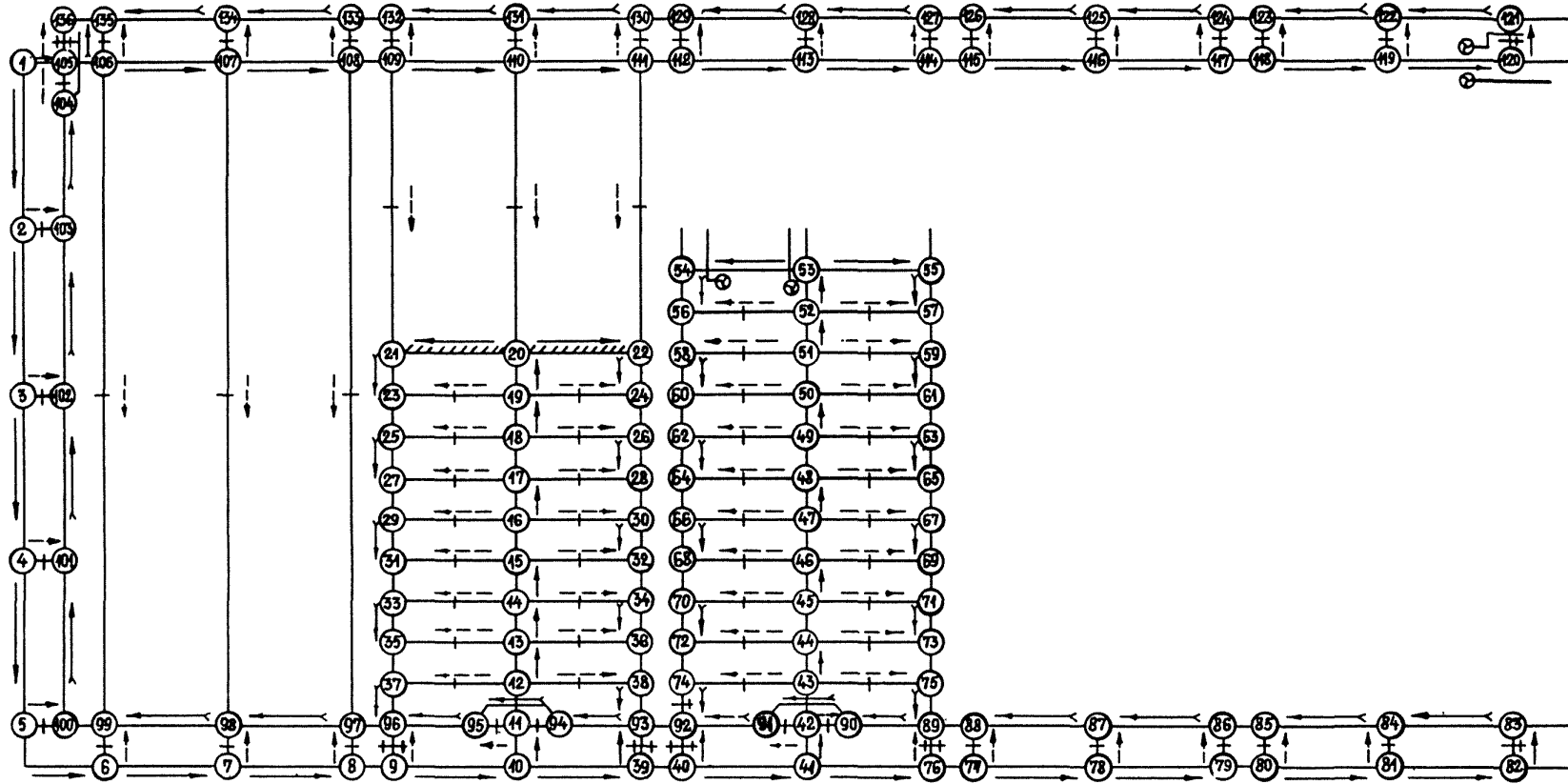
Т а б л и ц а к с х е м а м 12-13

## Оборудование для пылеподавления

Наименование	Количество	
	I-II	III-IV
Трубопровод диаметром 100 мм и длиной 600-800 м	1	1
Рукава напорные диаметром 25 мм и длиной 50 м	4	6
То же диаметром 18 мм и длиной 50 м	6	8
То же диаметром 18 мм и длиной 20 м	2	4
Тройники с вентилями	2	6
Тройники без вентиляей	2	2
Ниппели для соединения рукавов диаметром 25 мм	5	7
То же для рукавов диаметром 18 мм	8	12
Вентили диаметром 25 мм	5	7
Вентили диаметром 18 мм	9	13
Форсунки на пересыпах	4	6
Форсунки на врубовых машинах	12	24
Форсунки на погрузочных машинах	24	48
Форсунки на буровых установках	1	2
Манометр	1	1
Отводы с гайками для пожарных рукавов диаметром 66 мм	16	16
Рукава пожарные диаметром 66 мм с гайками длиной 20 м	16	16
Ящик для хранения рукавов	16	16
Огнетушители	42	42
Ящик с песком 0,2 м <sup>3</sup>	17	17
Ящик с песком 0,3 м <sup>3</sup>	2	2

СХЕМА ВЕНТИЛЯЦИОННЫХ СООРУЖЕНИЙ  
(к I варианту схемы подготовки)

Схема 14



- |       |   |   |                                 |
|-------|---|---|---------------------------------|
| →     | СВЕЖАЯ СТРУЯ ВОЗДУХА                          | ⊕ | ВЕНТИЛЯЦИОННАЯ ДВЕРЬ            |
| →     | СТРУЯ ОТРАБОТАННОГО ВОЗДУХА                   | ⊕ | ВЕНТИЛЯЦИОННАЯ ДВЕРЬ С ОКНОМ    |
| - - - | СТРУЯ ВОЗДУХА ЧЕРЕЗ ВЕНТИЛЯЦИОННОЕ СООРУЖЕНИЕ | ⊕ | ГЛУХАЯ ВЕНТИЛЯЦИОННАЯ ПЕРЕМЫЧКА |

СХЕМА ВЕНТИЛЯЦИОННЫХ СОЕДИНЕНИЙ  
(к II варианту схемы подготовки)

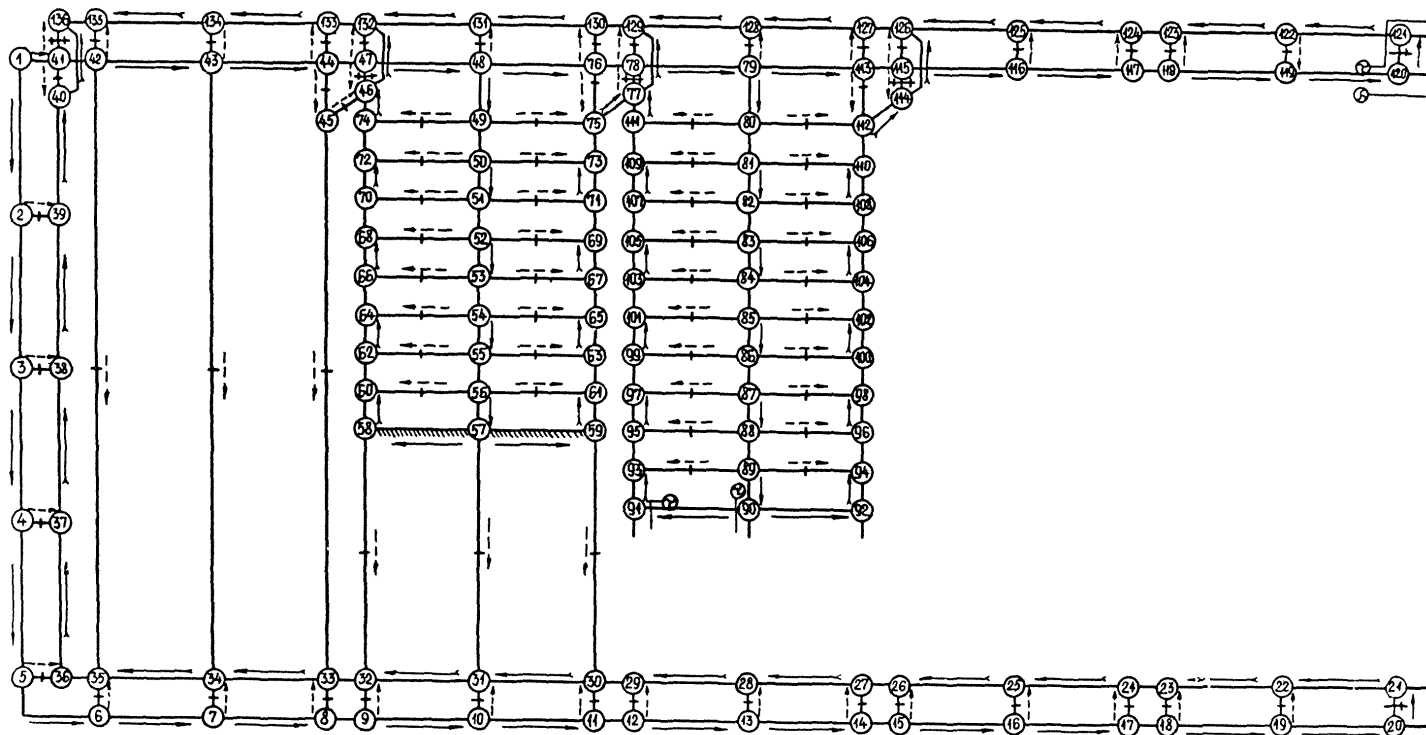
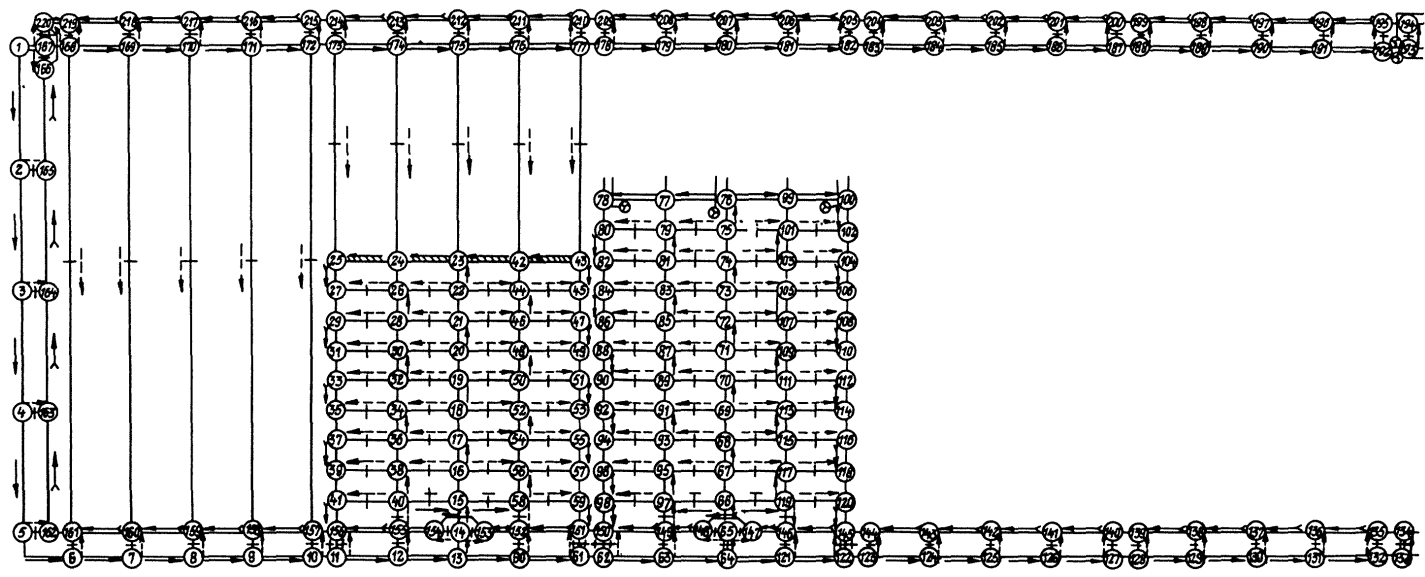


СХЕМА ВЕНТИЛЯЦИОННЫХ СОЕДИНЕНИЙ  
(к III варианту схемы подготовки)





## Аэродинамические параметры панели

Варианты схемы под- готовки	Кресть очист- ного забоя	Время отра- ботки выемоч- ного участка	Количество воздуха, м <sup>3</sup> /с				Депрес- сия па- нели, мм вод.ст.
			В очист- ном забое	для подспе- жения	в подгото- вительных забоях	в па- нели	
I	Деревянные стойки	Начало Конец	2 x 10	-	2 x 5 2 x 3,4	49,2	51,8
II	Деревянные стойки	Начало Конец	2 x 10	-	2 x 5 2 x 3,4	49,3	20,3
III	Деревянные стойки	Начало Конец	2 x 10	2 x I	2 x 5 3 x 3,4	55,4	76,9

Т а б л и ц а к с х е м е 14

## Сечения горных выработок

Горные выработки	Ветви	Сечения, м <sup>2</sup>
I	2	3
Главный откаточный штрек	I-2, 2-3, 3-4, 4-5;	15,0
Главный вентиляционный штрек	I00-I01, I01-I02, I02-I03, I03-I04, I04-I05, I05-I36;	11,5
Панельный откаточный штрек	I-I05, I05-I06, I06-I07, I07-I08, I08-I09, I09-II0, II0-II1, II1-II2, II2-II3, II3-II4, II4-II5, II5-II6, II6-II7, II7-II8, II8-II9, II9-I20, 5-6, 6-7, 7-8, 8-9, 9-10, I0-39, 39-40, 40-41, 41-76, 76-77, 77-78, 78-79, 79-80, 80-81, 81-82;	15,0
Панельный вентиляционный штрек	83-84, 84-85, 85-86, 86-87, 87-88, 88-89, 89-90, 90-42, 42-91, 91-92, 92-93, 93-94, 94-II, II-95, 95-96, 96-97, 97-98, 98-99, 99-I00, I21-I22, I22-I23, I23-I24, I24-I25, I25-I26, I26-I27, I27-I28, I28-I29, I29-I30, I30-I31, I31-I32, I32-I33, I33-I34, I34-I35, I35-I36;	11,5
Вентиляционные сбойки	2-I03, 3-I02, 4-I01, 5-I00, 6-99, 7-98, 8-97, 9-96, 39-93, 40-92, 76-89, 77-88, 78-87, 79-86, 80-85, 81-84, 82-83, I06-I35, I07-I34, I08-I33, I09-I32, II0-I31, III-I30, II2-I29,	11,5

Продолжение таблицы к схеме 14

	1	2	3
Сборный штрек		II3-I28, II4-I27, II5-I26, II6-I25, II7-I24, II8-I23, II9-I22, I20-I21; 98-I07, I0-II, II-I2, I2-I3, I3-I4, I4-I5, I5-I6, I6-I7, I7-I8, I8-I9, I9-20, 20-II0, 41-42, 42-43, 43-44, 44-45, 45-46, 46-47, 47-48, 48-49, 49-50, 50-51, 51-52, 52-53;	10,5
Бортовой штрек		99-I06, 97-I08, 96-37, 37-35, 35-33, 33-31, 31-29, 29-27, 27-25, 25-23, 23-21, 21-I09, 93-38, 38-36, 36-34, 34-32, 32-30, 30-28, 28-26, 26-24, 24-22, 22-III, 92-74, 74-72, 72-70, 70-68, 68-66, 66-64, 64-62, 62-60, 60-58, 58-56, 56-54, 89-75, 75-73, 73-71, 71-69, 69-67, 67-65, 65-63, 63-61, 61-59, 59-57, 57-55;	7,0
Очистной забой		20-21, 20-22;	7,0-59,5
Разрезные выработки		I2-37, I2-38, I3-35, I3-36, I4-33, I4-34, I5-31, I5-32, I6-29, I6-30, I7-27, I7-28, I8-25, I8-26, I9-23, I9-24, 43-74, 43-75, 44-72, 44-73, 45-70, 45-71, 46-68, 46-69, 47-66, 47-67, 48-64, 48-65, 49-62, 49-63, 50-60, 50-61, 51-58, 51-59, 52-56, 52-57, 53-54, 53-55	7,0

Т а б л и ц а к с х е м е I 4

Аэродинамическое сопротивление ветвей в схеме  
вентиляционных соединений

Ветвь	Длина ветви, м	Аэродинамическое сопротивление, кьюргы	Ветвь	Длина ветви, м	Аэродинамическое сопротивление, кьюргы
I	2	3	4	5	6
I-2	152	0,0011	96-97	8	0,0002
2-3	152	0,0011	8-97	8	110
3-4	152	0,0011	97-98	100	0,0024
4-5	152	0,0011	7-98	8	110
5-6	30	0,0002	98-99	100	0,0024
6-7	100	0,0007	6-99	8	110
7-8	100	0,0007	99-100	8	0,0002
8-9	8	0,00006	5-100	8	110
9-10	100	0,0007	100-101	152	0,0036
10-89	100	0,0007	4-101	8	110
39-40	8	0,00006	101-102	152	0,0036
40-41	100	0,0007	3-102	8	110
41-76	100	0,0007	102-103	152	0,0036
76-77	8	0,00006	2-103	8	110
77-78	100	0,0007	103-104	147	0,0035
78-79	100	0,0007	104-136	13	0,0040
79-80	8	0,00006	104-105	5	90
80-81	100	0,0007	105-136	8	25
81-82	100	0,0007	11-12	36	0,0010
82-83	8	Регулятор	12-13	36	0,0010
83-84	100	0,0024	13-14	36	0,0010
81-84	8	110	14-15	36	0,0010
84-85	100	0,0024	15-16	36	0,0010
80-85	8	110	16-17	36	0,0010
85-86	8	0,0002	17-18	36	0,0010
79-86	8	110	18-19	36	0,0010
86-87	100	0,0024	19-20	36	0,0010
78-87	8	110	20-21	100	Очистной забой
87-88	100	0,0024	21-23	36	0,0018
77-88	8	110	19-23	100	110
88-89	8	0,0002	23-25	36	0,0018
76-89	8	30	18-25	100	110

Продолжение таблицы к схеме I 4

I	2	3	4	5	6
89-90	95	0,0023	25-27	36	0,0018
90-91	10	0,0040	17-27	100	110
90-42	5	90	27-29	36	0,0018
41-42	8	0,0002	16-29	100	110
42-91	5	90	29-31	36	0,0018
91-92	95	0,0023	15-31	100	110
40-92	8	30	31-33	36	0,0018
92-93	8	0,0002	14-33	100	110
39-93	8	30	33-35	36	0,0018
93-94	95	0,0023	13-35	100	110
94-95	10	0,0040	35-37	36	0,0018
94-11	5	90	12-37	100	110
10-11	8	0,0002	37-96	36	0,0018
11-95	5	90	22-24	36	0,0018
95-96	95	0,0023	19-24	100	110
9-96	8	30	24-26	36	0,0018
18-26	100	110	61-63	36	0,0018
26-28	36	0,0018	49-63	100	110
17-28	100	110	63-65	36	0,0018
28-30	36	0,0018	48-65	100	110
16-30	100	110	65-67	36	0,0018
30-32	36	0,0018	47-67	100	110
15-32	100	110	67-69	36	0,0018
32-34	36	0,0018	46-69	100	110
14-34	100	110	69-71	36	0,0018
34-36	36	0,0018	45-71	100	110
13-36	100	110	71-73	36	0,0018
36-38	36	0,0018	44-73	100	110
12-38	100	110	73-75	36	0,0018
38-93	36	0,0018	43-75	100	110
20-22	100	Очистной забой	75-89	36	0,0018
42-43	36	0,0010	1-105	8	0,00006
43-44	36	0,0010	105-106	8	0,00006
44-45	36	0,0010	106-107	100	0,0007
45-46	36	0,0010	107-108	100	0,0007
46-47	36	0,0010	108-109	8	0,00006
47-48	36	0,0010	109-110	100	0,0007
48-49	36	0,0010	110-111	100	0,0007

1	2	3	4	5	6
49-50	36	0,0010	111-112	8	0,00006
50-51	36	0,0010	112-113	100	0,0007
51-52	36	0,0010	113-114	100	0,0007
52-53	36	0,0010	114-115	8	0,00006
53-54	100	0,0050	115-116	100	0,0007
54-56	36	0,0018	116-117	100	0,0007
52-56	100	110	117-118	8	0,00006
56-58	36	0,0018	118-119	100	0,0007
51-58	100	110	119-120	100	0,0007
58-60	36	0,0018	120-121	8	Регулятор
50-60	100	110	121-122	100	0,0024
60-62	36	0,0018	119-122	8	110
49-62	100	110	122-123	100	0,0024
62-64	36	0,0018	118-123	8	110
48-64	100	110	123-124	8	0,0002
64-66	36	0,0018	117-124	8	110
47-66	100	110	124-125	100	0,0024
66-68	36	0,0018	116-125	8	110
46-68	100	110	125-126	100	0,0024
68-70	36	0,0018	115-126	8	110
45-70	100	110	126-127	8	0,0002
70-72	36	0,0018	114-127	8	110
44-72	100	110	127-128	100	0,0024
72-74	36	0,0018	113-128	8	110
43-74	100	110	128-129	100	0,0024
74-92	36	Регулятор	112-129	8	110
53-55	100	0,0050	129-130	8	0,0002
55-57	36	0,0018	111-130	8	110
52-57	100	110	130-131	100	0,0024
57-59	36	0,0018	110-131	8	110
51-59	100	110	131-132	100	0,0024
59-61	36	0,0018	109-132	8	110
50-61	100	110	132-133	8	0,0002
108-133	8	110	99-106	608	110
133-134	100	0,0024	98-107	608	110
107-134	8	110	97-108	608	110
134-135	100	0,0024	21-109	250	110
106-135	8	110	20-110	250	110
135-136	8	0,0002	22-111	250	110

Сечения горных выработок

Горные выработки	Ветви		Сечение, м <sup>2</sup>
	1	2	
Главный откаточный штрек	1-2, 2-3, 3-4, 4-5;		15,0
Главный вентиляционный штрек	36-37, 37-38, 38-39, 39-40, 40-41, 41-136;		11,5
Панельный откаточный штрек	1-41, 41-42, 42-43, 43-44, 44-47, 47-48, 48-74, 76-78, 78-79, 79-113, 113-115, 115-116, 116-117, 117-118, 118-119, 119-120, 5-4, 6-7, 7-8, 8-9, 9-10, 10-11, 11-12, 12-13, 13-14, 14-15, 15-16, 16-17, 17-18, 18-19, 19-20		15,0
Панельный вентиляционный штрек	21-22, 22-23, 23-24, 24-25, 25-26, 26-27, 27-28, 28-29, 29-30, 30-31, 31-32, 32-33, 33-34, 34-35, 35-36, 36-37, 37-38, 38-39, 39-40, 40-41, 121-122, 122-123, 123-124, 124-125, 125-126, 126-127, 127-128, 128-129, 129-130, 130-131, 131-132, 132-133, 133-134, 134-135, 135-136;		11,5
Вентиляционные сбойки	2-39, 3-38, 4-37, 5-36, 6-35, 7-34, 8-33, 9-32, 10-31, 11-30, 12-29, 13-28, 14-27, 15-26, 16-25, 17-24, 18-23, 19-22, 20-21, 42-135, 43-134, 44-133, 47-132, 48-131, 76-130, 78-129, 79-128, 113-127, 115-126, 116-125, 117-124, 118-123, 119-122, 120-121, 45-46, 75-77, 112-114, 114-115;		11,5
Сборный штрек	48-49, 49-50, 50-51, 51-52, 52-53, 53-54, 54-55, 55-56, 56-57, 57-80, 79-80, 80-81, 81-82, 82-83, 83-84, 84-85, 85-86, 86-87, 87-88, 88-89, 89-90, 34-43;		10,5
Бортовой штрек	35-42, 33-45, 45-44, 58-60, 60-62, 62-64, 64-66, 66-68, 68-70, 70-72, 72-74, 74-76, 46-47, 32-58, 30-59, 59-61, 61-63, 63-65, 65-67, 67-69, 69-71, 71-73, 73-75, 75-76, 91-93, 93-95, 95-97, 97-99, 99-101, 101-103, 103-105, 105-107, 107-109, 109-111, 111-77, 77-78, 92-94, 94-96, 96-98, 98-100, 100-102, 102-104, 104-106, 106-108, 108-110, 110-112, 112-113;		7,0

I	2	3
Очистной забой	57-58, 57-59;	7,0-59,5
Разрезные выработки	56-60, 56-6I, 55-62, 55-63, 54-64, 54-65, 53-66, 53-67, 52-68, 52-69, 5I-70, 5I-7I, 50-72, 50-73, 49-74, 49-75, 90-9I, 90-92, 89-93, 89-94, 88-95, 88-96, 87-97, 87-98, 86-99, 86-100, 85-10I, 85-102, 84-103, 84-104, 83-105, 83-106, 82-107, 82-108, 8I-109, 8I-110, 80-III, 80-112	7,0

Т а б л и ц а к с х е м е I5

Аэродинамическое сопротивление ветвей в схеме  
вентиляционных соединений

Ветвь	Длина ветви, м	Аэродинамическое сопротивление ветви, кюмрга	Ветвь	Длина ветви, м	Аэродинамическое сопротивление ветви, кюмрга
I	2	3	4	5	6
I-2	I52	0,0011	5-36	8	110
2-3	I52	0,0011	36-37	I52	0,0036
3-4	I52	0,0011	4-37	8	110
4-5	I52	0,0011	37-38	I52	0,0036
5-6	30	0,0002	3-38	8	110
6-7	I00	0,0007	38-39	I52	0,0036
7-8	I00	0,0007	2-39	8	110
8-9	8	0,00006	39-40	I47	0,0035
9-10	I00	0,0007	40-136	I3	0,0040
10-11	I00	0,0007	40-41	5	90
11-12	8	0,00006	41-136	8	25
12-13	I00	0,0007	1-41	8	0,00006
13-14	I00	0,0007	41-42	8	0,00006
14-15	8	0,00006	42-43	I00	0,0007
15-16	I00	0,0007	43-44	I00	0,0007
16-17	I00	0,0007	45-44	36	110
17-18	8	0,00006	44-47	8	0,00006
18-19	I00	0,0007	47-48	I00	0,0007
19-20	I00	0,0007	48-76	I00	0,0007
20-21	8	Регулятор	76-78	8	0,00006
21-22	I00	0,0024	78-79	I00	0,0007
19-22	8	110	79-113	I00	0,0007
22-23	I00	0,0024	113-115	8	0,00006

I	2	3	4	5	6
18-23	8	110	115-116	I00	0,0007
23-24	8	0,0002	116-117	I00	0,0007
17-24	8	110	117-118	8	0,00006
24-25	I00	0,0024	118-119	I00	0,0007
16-25	8	110	119-120	I00	0,0007
25-26	I00	0,0024	120-121	8	Регулятор
15-26	8	110	121-122	I00	0,0024
26-27	8	0,0002	119-122	8	110
14-27	8	110	122-123	I00	0,0024
27-28	I00	0,0024	118-123	8	110
13-28	8	110	123-124	8	0,0002
28-29	I00	0,0024	117-124	8	110
12-29	8	110	124-125	I00	0,0024
29-30	8	0,0002	116-125	8	110
11-30	8	110	125-126	I00	0,0024
30-31	I00	0,0024	115-126	8	110
10-31	8	110	126-127	8	0,0002
31-32	I00	0,0024	113-127	8	110
9-32	8	110	127-128	I00	0,0024
32-33	8	0,0002	79-128	8	110
8-33	8	110	128-129	I00	0,0024
33-34	I00	0,0024	78-129	8	110
7-34	8	110	129-130	8	0,0002
34-35	I00	0,0024	76-130	8	110
6-35	8	110	130-131	I00	0,0024
35-36	8	0,0002	48-131	8	110
131-132	I00	0,0024	75-76	36	110
47-132	8	110	75-77	30	0,0015
132-133	8	0,0002	79-80	36	0,0010
44-133	8	110	80-81	36	0,0010
133-134	I00	0,0024	81-82	36	0,0010
43-134	8	110	82-83	36	0,0010
134-135	I00	0,0024	83-84	36	0,0010
42-135	8	110	84-85	36	0,0010
135-136	8	0,0002	85-86	36	0,0010
48-49	36	0,0010	86-87	36	0,0010
49-50	36	0,0010	87-88	36	0,0010
50-51	36	0,0010	88-89	36	0,0010
51-52	36	0,0010	89-90	36	0,0010
52-53	36	0,0010	90-91	I00	0,0050
53-54	36	0,0010	91-93	36	0,0018
54-55	36	0,0010	89-93	I00	110
55-56	36	0,0010	93-95	36	0,0018
56-57	36	0,0010	88-95	I00	110

1	2	3	4	5	6
57-58	100	Очистной забой	95-97	36	0,0018
58-60	36	0,0018	87-97	100	110
56-60	100	110	97-99	36	0,0018
60-62	36	0,0018	86-99	100	110
55-62	100	110	99-101	36	0,0018
62-64	36	0,0018	85-101	100	110
54-64	100	110	101-103	36	0,0018
64-66	36	0,0018	84-103	100	110
53-66	100	110	103-105	36	0,0018
66-68	36	0,0018	83-105	100	110
52-68	100	110	105-107	36	0,0018
68-70	36	0,0018	82-107	100	110
51-70	100	110	107-109	36	0,0018
70-72	36	0,0018	81-109	100	110
50-72	100	110	109-111	36	0,0018
72-74	36	0,0018	80-111	100	110
49-74	100	110	111-77	31	0,0016
74-46	31	0,0016	77-78	5	25
45-46	30	110	77-129	13	0,0040
46-47	5	25	90-92	100	0,0050
46-132	13	0,0040	92-94	36	0,0018
57-59	100	Очистной забой	89-94	100	110
59-61	36	0,0018	94-96	36	0,0018
56-61	100	110	88-96	100	110
61-63	36	0,0018	96-98	36	0,0018
55-63	100	110	87-98	100	110
63-65	36	0,0018	98-100	36	0,0018
54-65	100	110	86-100	100	110
65-67	36	0,0018	100-102	36	0,0018
53-67	100	110	85-102	100	110
67-69	36	0,0018	102-104	36	0,0018
52-69	100	110	84-104	100	110
69-71	36	0,0018	104-106	36	0,0018
51-71	100	110	83-106	100	110
71-73	36	0,0018	106-108	36	0,0018
50-73	100	110	82-108	100	110
73-75	36	0,0018	108-110	36	0,0018
49-75	100	110	81-110	100	110
110-112	36	0,0018	30-59	250	110
80-112	100	110	31-57	250	110
112-113	36	110	32-58	250	110
112-114	30	0,0015	33-45	572	110
114-115	5	25	34-43	608	110
114-126	13	0,0040	35-42	608	110

Сечения горных выработок

Горные выработки	Ветви		Сечение, м <sup>2</sup>
	1	2	
Главный откаточный штрек	1-2, 2-3, 3-4, 4-5;		15,0
Главный вентиляционный штрек	162-163, 163-164, 164-165, 165-166, 166-167, 167-220;		11,5
Панельный откаточный штрек	1-167, 167-168, 168-169, 169-170, 170-171, 171-172, 172-173, 173-174, 174-175, 175-176, 176-177, 177-178, 178-179, 179-180, 180-181, 181-182, 182-183, 183-184, 184-185, 185-186, 186-187, 187-188, 188-189, 189-190, 190-191, 191-192, 192-193, 5-6, 6-7, 7-8, 8-9, 9-10, 10-11, 11-12, 12-13, 13-60, 60-61, 61-62, 62-63, 63-64, 64-121, 121-122, 122-123, 123-124, 124-125, 125-126, 126-127, 127-128, 128-129, 129-130, 130-131, 131-132, 132-133;		15,0
Панельный вентиляционный штрек	134-135, 135-136, 136-137, 137-138, 138-139, 139-140, 140-141, 141-142, 142-143, 143-144, 144-145, 145-146, 146-147, 147-65, 65-148, 148-149, 149-150, 150-151, 151-152, 152-153, 153-14, 14-154, 154-155, 155-156, 156-157, 157-158, 158-159, 159-160, 160-161, 161-162, 162-163, 163-164, 164-165, 165-166, 166-167, 167-220, 194-195, 195-196, 196-197, 197-198, 198-199, 199-200, 200-201, 201-202, 202-203, 203-204, 204-205, 205-206, 206-207, 207-208, 208-209, 209-210, 210-211, 211-212, 212-213, 213-214, 214-215, 215-216, 216-217, 217-218, 218-219, 219-220;		11,5
Вентиляционные обойки	2-165, 3-164, 4-163, 5-162, 6-161, 7-160, 8-159, 9-158, 10-157, 11-156, 12-155, 60-152, 61-151, 62-150, 63-149, 121-146, 122-145, 123-144, 124-143, 125-142, 126-141, 127-140, 128-139, 129-138, 130-137, 131-136, 132-135, 133-134, 168-219, 169-218,		11,5

Продолжение таблицы к схеме I6

I	2	3
	I70-I77, I71-I76, I72-I75, I73-I74, I74-I73, I75-I72, I76-I71, I77-I70, I78-209, I79-208, I80-207, I81-206, I82-205, I83-204, I84-203, I85-202, I86-201, I87-200, I88-199, I89-198, I90-197, I91-196, I92-195, I93-194;	
Сборный штрек	I59-I70, I3-I4, I4-I5, I5-I6, I6-I7, I7-I8, I8-I9, I9-20, 20-21, 21-22, 22-23, 23-I75, 64-65, 65-66, 66-67, 67-68, 68-69, 69-70, 70-71, 71-72, 72-73, 73-74, 74-75, 75-76;	10,5
Бортовой штрек	I61-I68, I60-I69, I58-I71, I57-I72, I56-41, 41-39, 39-37, 37-35, 35-33, 33-31, 31-29, 29-27, 27-25, 24-26, 26-28, 28-30, 30-32, 32-34, 34-36, 36-38, 38-40, 40-I55, I52-58, 58-56, 56-54, 54-52, 52-50, 50-48, 48-46, 46-44, 44-42, 43-45, 45-47, 47-49, 49-51, 51-53, 53-55, 55-57, 57-59, 59-I51, I50-98, 98-96, 96-94, 94-92, 92-90, 90-88, 88-86, 86-84, 84-82, 82-80, 80-78, 77-79, 79-81, 81-83, 83-85, 85-87, 87-89, 89-91, 91-93, 93-95, 95-97, 97-I49, I46-II9, II9-II7, II7-II5, II5-II3, II3-III, III-I09, I09-I07, I07-I05, I05-I03, I03-I01, I01-99, I00-I02, I02-I04, I04-I06, I06-I08, I08-II0, II0-II2, II2-II4, II4-II6, II6-II8, II8-I20, I20-I45, 25-I73, 24-I74, 42-I76, 43-I77;	7,0
Очистной забой	23-24, 24-25, 23-42, 42-43;	7,0-59,5
Разрезные выработки	I5-40, 40-41, I5-58, 58-59, I6-38, 38-39, I6-56, 56-57, I7-36, 36-37, I7-54, 54-55, I8-34, 34-35, I8-52, 52-53, I9-32, 32-33, I9-50, 50-51, 20-30, 30-31, 20-48, 48-49, 21-28, 28-29, 21-46, 46-47, 22-26, 26-27, 22-44, 44-45, 66-97, 97-98, 66-II9, II9-I20, 67-95, 95-96, 67-II7, II7-II8, 68-93, 93-94, 68-II5, II5-II6, 69-91, 91-92, 69-II3, II3-II4, 70-89, 89-90, 70-III, III-II2, 71-87, 87-88, 71-I09,	7,0

Продолжение таблицы к схеме I6

I	2	3
	I09-II0, 72-85, 85-86, 72-I07, I07-I08, 73-83, 83-84, 73-I05, I05-I06, 74-81, 81-82, 74-I03, I03-I04, 75-79, 79-80, 75-I01, I01-I02, 76-77, 77-78, 76-99, 99-I00	

Т а б л и ц а к с х е м е I 6

Аэродинамическое сопротивление ветвей в схеме  
вентиляционных соединений

Ветвь	Длина ветви, м	Аэродинамическое сопротивление ветви, кубм/с	Ветвь	Длина ветви, м	Аэродинамическое сопротивление ветви, кубм/с
I	2	3	4	5	6
I-2	I52	0,0011	I43-I44	I00	0,0024
2-3	I52	0,0011	I23-I44	8	110
3-4	I52	0,0011	I44-I45	8	0,0002
4-5	I52	0,0011	I22-I45	8	30
5-6	30	0,0002	I45-I46	I00	0,0024
6-7	I00	0,0007	I21-I46	8	110
7-8	I00	0,0007	I46-I47	95	0,0023
8-9	I00	0,0007	I47-I48	10	0,0040
9-10	I00	0,0007	I47-65	5	90
I0-II	8	0,00006	64-65	8	Регулятор
II-12	I00	0,0007	65-I48	5	90
I2-I3	I00	0,0007	I48-I49	95	0,0023
I3-60	I00	0,0007	63-I49	8	110
60-61	I00	0,0007	I49-I50	I00	0,0024
61-62	8	0,00006	62-I50	8	30
62-63	I00	0,0007	I50-I51	8	0,0002
63-64	I00	0,0007	61-I51	8	30
64-I21	I00	0,0007	I51-I52	I00	0,0024
I21-I22	I00	0,0007	60-I52	8	110
I22-I23	8	0,00006	I52-I53	95	0,0023
I23-I24	I00	0,0007	I53-I54	10	0,0040
I24-I25	I00	0,0007	I53-I4	5	90
I25-I26	I00	0,0007	I3-I4	8	0,0002
I26-I27	I00	0,0007	I4-I54	5	90
I27-I28	8	0,00006	I54-I55	95	0,0023
I28-I29	I00	0,0007	I2-I55	8	110

Продолжение таблицы к схеме I6

I	2	3	4	5	6
I29-I30	100	0,0007	I55-I56	100	0,0024
I30-I31	100	0,0007	II-I56	8	30
I31-I32	100	0,0007	I56-I57	8	0,0002
I32-I33	8	0,00006	IO-I57	8	II0
I33-I34	8	Регулятор	I57-I58	100	0,0024
I34-I35	8	0,0002	9-I58	8	II0
I32-I35	8	II0	I58-I59	100	0,0024
I35-I36	100	0,0024	8-I59	8	II0
I31-I36	8	II0	I59-I60	100	0,0024
I36-I37	100	0,0024	7-I60	8	II0
I30-I37	8	II0	I60-I61	100	0,0024
I37-I38	100	0,0024	6-I61	8	II0
I29-I38	8	II0	I61-I62	8	0,0002
I38-I39	100	0,0024	5-I62	8	II0
I28-I39	8	II0	I62-I63	152	0,0036
I39-I40	8	0,0002	4-I63	8	II0
I27-I40	8	II0	I63-I64	152	0,0036
I40-I41	100	0,0024	3-I64	8	II0
I26-I41	8	II0	I64-I65	152	0,0036
I41-I42	100	0,0024	2-I65	8	II0
I25-I42	8	II0	I65-I66	147	0,0035
I42-I43	100	0,0024	I66-220	13	0,0040
I24-I43	8	II0	19-50	100	II0
I66-I67	5	90	50-52	36	0,0018
I67-220	8	25	18-52	100	II0
I4-I5	36	0,0010	52-54	36	0,0018
I5-I6	36	0,0010	17-54	100	II0
I6-I7	36	0,0010	54-56	36	0,0018
I7-I8	36	0,0010	I6-56	100	II0
I8-I9	36	0,0010	56-58	36	0,0018
I9-20	36	0,0010	15-58	100	Регулятор
20-21	36	0,0010	58-I52	36	II0
21-22	36	0,0010	42-43	100	Очистной забой
22-23	36	0,0010	43-45	36	0,0018
23-24	100	Очистной забой	44-45	100	II0
24-26	36	0,0018	45-47	36	0,0018
22-26	100	II0	46-47	100	II0
26-28	36	0,0018	47-49	36	0,0018
21-28	100	II0	48-49	100	II0
28-30	36	0,0018	49-51	36	0,0018
20-30	100	II0	50-51	100	II0
30-32	36	0,0018	51-53	36	0,0018
I9-32	100	II0	52-53	100	II0
32-34	36	0,0018	53-55	36	0,0018

Продолжение таблицы к схеме I6

I	2	3	4	5	6
I8-34	100	II0	54-55	100	II0
34-36	36	0,0018	55-57	36	0,0018
I7-36	100	II0	56-57	100	II0
36-38	36	0,0018	57-59	36	0,0018
I6-38	100	II0	58-59	100	II0
38-40	36	0,0018	59-I5I	36	0,0018
I5-40	100	Регулятор	65-66	36	0,0010
40-I55	36	II0	66-67	36	0,0010
24-25	100	Очистной забой	67-68	36	0,0010
25-27	36	0,0018	68-69	36	0,0010
26-27	100	II0	69-70	36	0,0010
27-29	36	0,0018	70-71	36	0,0010
28-29	100	II0	71-72	36	0,0010
29-31	36	0,0018	72-73	36	0,0010
30-31	100	II0	73-74	36	0,0010
31-33	36	0,0018	74-75	36	0,0010
32-33	100	II0	75-76	36	0,0010
33-35	36	0,0018	76-77	100	0,0050
34-35	100	II0	77-79	36	0,0018
35-37	36	0,0018	75-79	100	II0
36-37	100	II0	79-81	36	0,0018
37-39	36	0,0018	74-81	100	II0
38-39	100	II0	81-83	36	0,0018
39-41	36	0,0018	73-83	100	II0
40-41	100	II0	83-85	36	0,0018
41-I56	36	0,0018	72-85	100	II0
23-42	100	Очистной забой	85-87	36	0,0018
42-44	36	0,0018	71-87	100	II0
22-44	100	II0	87-89	36	0,0018
44-46	36	0,0018	70-89	100	II0
21-46	100	II0	89-91	36	0,0018
46-48	36	0,0018	69-91	100	II0
20-48	100	II0	91-93	36	0,0018
48-50	36	0,0018	I05-I06	100	II0
68-93	100	II0	I06-I08	36	0,0018
93-95	36	0,0018	I07-I08	100	II0
67-95	100	II0	I08-I10	36	0,0018
95-97	36	0,0018	I09-I10	100	II0

Продолжение таблицы к схеме I6

I	2	3	4	5	6
66-97	100	Регулятор	II0-II2	36	0,0018
97-149	36	II0	III-II2	100	II0
77-78	100	0,0050	II2-II4	36	0,0018
78-80	36	0,0018	II3-II4	100	II0
79-80	100	II0	II4-II6	36	0,0018
80-82	36	0,0018	II5-II6	100	II0
81-82	100	II0	II6-II8	36	0,0018
82-84	36	0,0018	II7-II8	100	II0
83-84	100	II0	II8-I20	36	0,0018
84-86	36	0,0018	II9-I20	100	II0
85-86	100	II0	I20-I45	36	0,0018
86-88	36	0,0018	I-I67	8	0,00006
87-88	100	II0	I67-I68	8	0,00006
88-90	36	0,0018	I68-I69	100	0,0007
89-90	100	II0	I69-I70	100	0,0007
90-92	36	0,0018	I70-I71	100	0,0007
91-92	100	II0	I71-I72	100	0,0007
92-94	36	0,0018	I72-I73	8	0,00006
93-94	100	II0	I73-I74	100	0,0007
94-96	36	0,0018	I74-I75	100	0,0007
95-96	100	II0	I75-I76	100	0,0007
96-98	36	0,0018	I76-I77	100	0,0007
97-98	100	II0	I77-I78	8	0,00006
98-150	36	0,0018	I78-I79	100	0,0007
76-99	100	0,0050	I79-I80	100	0,0007
99-101	36	0,0018	I80-I81	100	0,0007
75-101	100	II0	I81-I82	100	0,0007
101-103	36	0,0018	I82-I83	8	0,00006
74-103	100	II0	I83-I84	100	0,0007
103-105	36	0,0018	I84-I85	100	0,0007
73-105	100	II0	I85-I86	100	0,0007
105-107	36	0,0018	I86-I87	100	0,0007
72-107	100	II0	I87-I88	8	0,00006
107-109	36	0,0018	I88-I89	100	0,0007
71-109	100	II0	I89-I90	100	0,0007
109-111	36	0,0018	I90-I91	100	0,0007
70-111	100	II0	I91-I92	100	0,0007
111-113	36	0,0018	I92-I93	8	0,00006

Продолжение таблицы к схеме I6

I	2	3	4	5	6
69-113	100	II0	I93-I94	8	Регулятор
113-115	36	0,0018	I94-I95	8	0,0002
68-115	100	II0	I92-I95	8	II0
115-117	36	0,0018	I95-I96	100	0,0024
67-117	100	II0	I91-I96	8	II0
117-119	36	0,0018	I96-I97	100	0,0024
66-119	100	Регулятор	I90-I97	8	II0
119-146	36	II0	I97-I98	100	0,0024
99-100	100	0,0050	I89-I98	8	II0
100-102	36	0,0018	I98-I99	100	0,0024
101-102	100	II0	I88-I99	8	II0
102-104	36	0,0018	I99-200	8	0,0002
103-104	100	II0	I87-200	8	II0
104-106	36	0,0018	I74-213	8	II0
200-201	100	0,0024	213-214	100	0,0024
186-201	8	II0	I73-214	8	II0
201-202	100	0,0024	214-215	8	0,0002
185-202	8	II0	I72-215	8	II0
202-203	100	0,0024	215-216	100	0,0024
184-203	8	II0	I71-216	8	II0
203-204	100	0,0024	216-217	100	0,0024
183-204	8	II0	I70-217	8	II0
204-205	8	0,0002	217-218	100	0,0024
182-205	8	II0	I79-218	8	II0
205-206	100	0,0024	218-219	100	0,0024
181-206	8	II0	I68-219	8	II0
206-207	100	0,0024	219-200	8	0,0002
180-207	8	II0	I61-I68	608	II0
207-208	100	0,0024	I60-I69	608	II0
179-208	8	II0	I59-I70	608	II0
208-209	100	0,0024	I58-I71	608	II0
178-209	8	II0	I57-I72	608	II0
209-210	8	0,0002	25-I73	250	II0
177-210	8	II0	24-I74	250	II0
210-211	100	0,0024	23-I75	250	II0
176-211	8	II0	42-I76	250	II0
211-212	100	0,0024	43-I77	250	II0
175-212	8	II0			
212-213	100	0,0024			



СХЕМА РАЗМЕЩЕНИЯ ТРАНСФОРМАТОРНЫХ ПОДСТАНЦИЙ (ТСШВП) И РАСПРЕДЕЛИТЕЛЬНЫХ ПОДЗЕМНЫХ ПУНКТОВ (РПП) НАПРЯЖЕНИЕМ 660 В НА ПЛАНЕ ГОРНЫХ РАБОТ  
(для вариантов I-II)

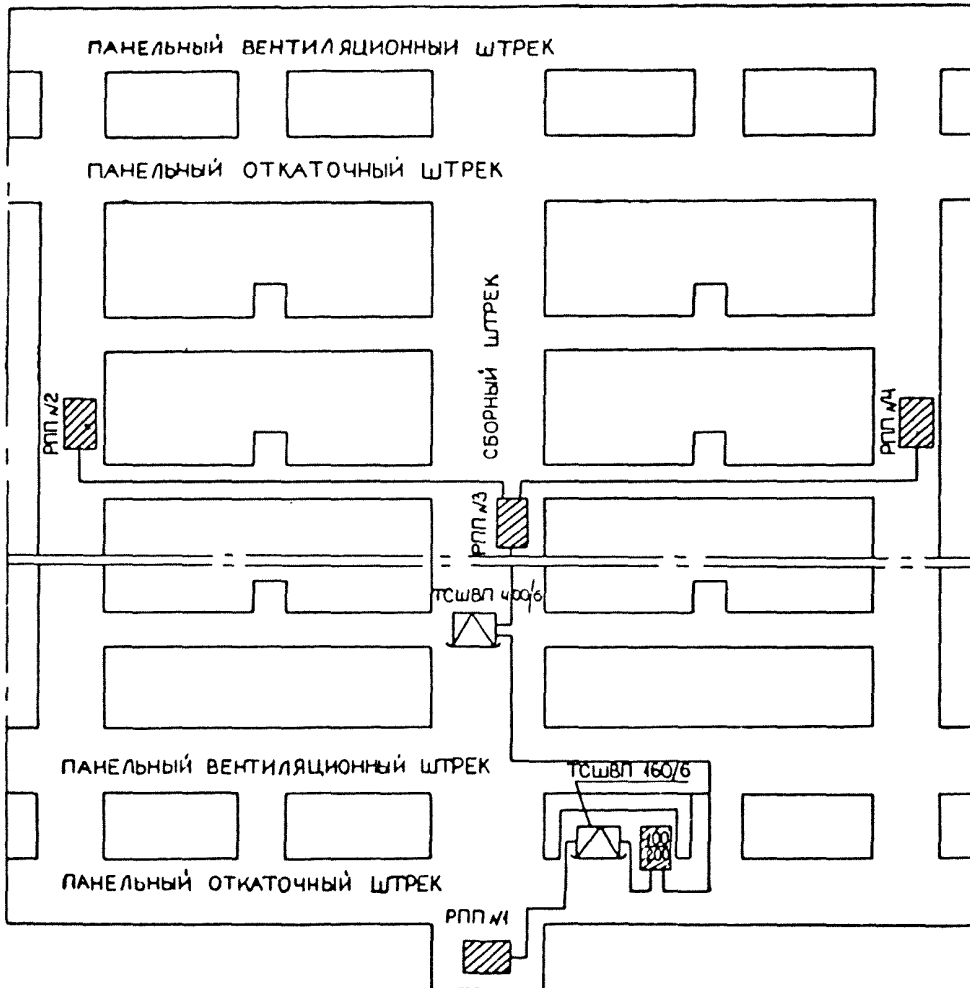


СХЕМА ЭЛЕКТРОСНАБЖЕНИЯ КАМЕР-ЛАВ НАПРЯЖЕНИЕМ 660 В  
(для вариантов I-II)

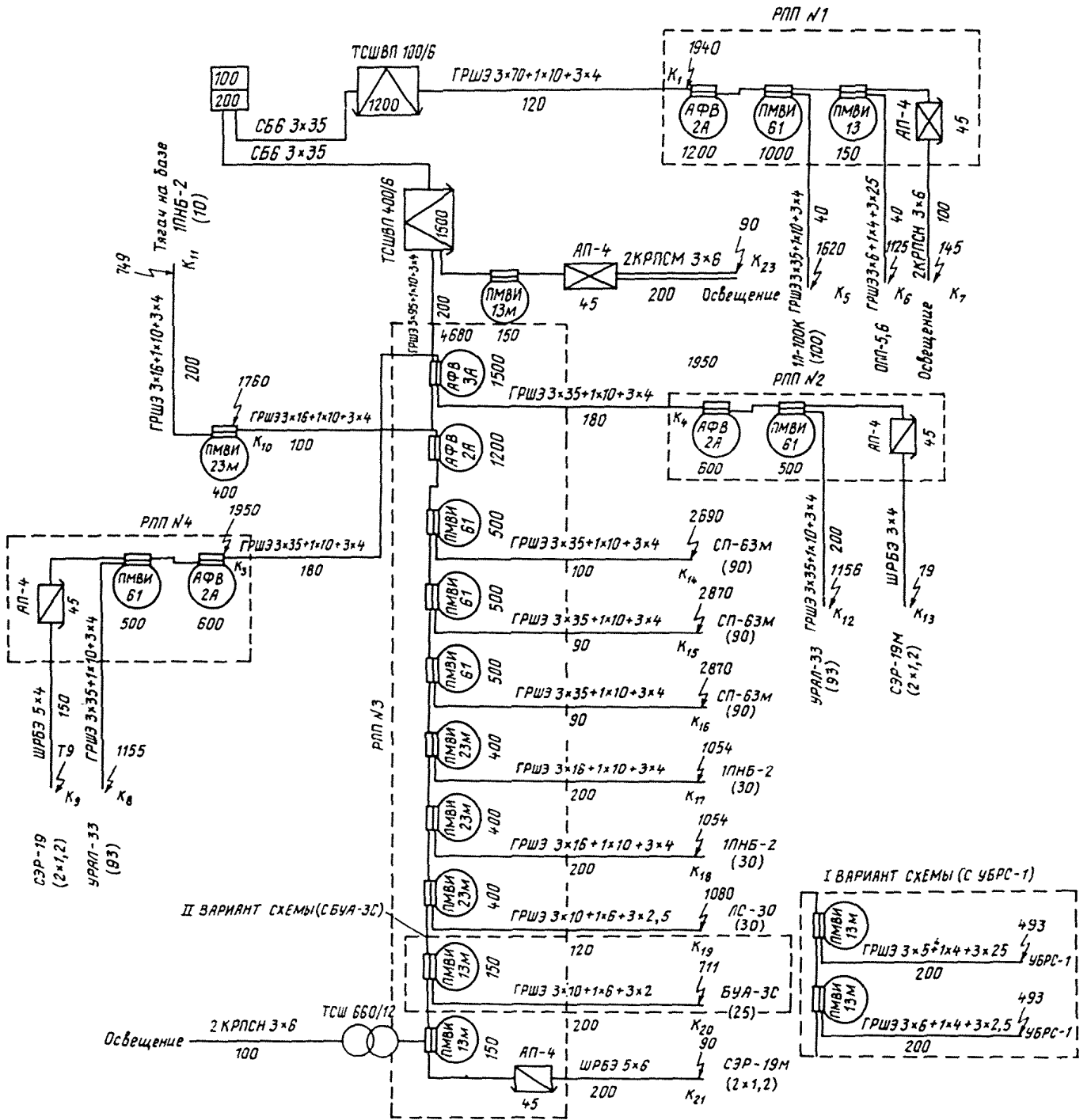


СХЕМА РАЗМЕЩЕНИЯ ТРАНСФОРМАТОРНЫХ ПОДСТАНЦИЙ (ТСШВ) И РАСПРЕДЕЛИТЕЛЬНЫХ ПОДЗЕМНЫХ ПУНКТОВ (РПП)  
 НАПРЯЖЕНИЕМ 660 В НА ПЛАНЕ ГОРНЫХ РАБОТ  
 (для вариантов III-IV)

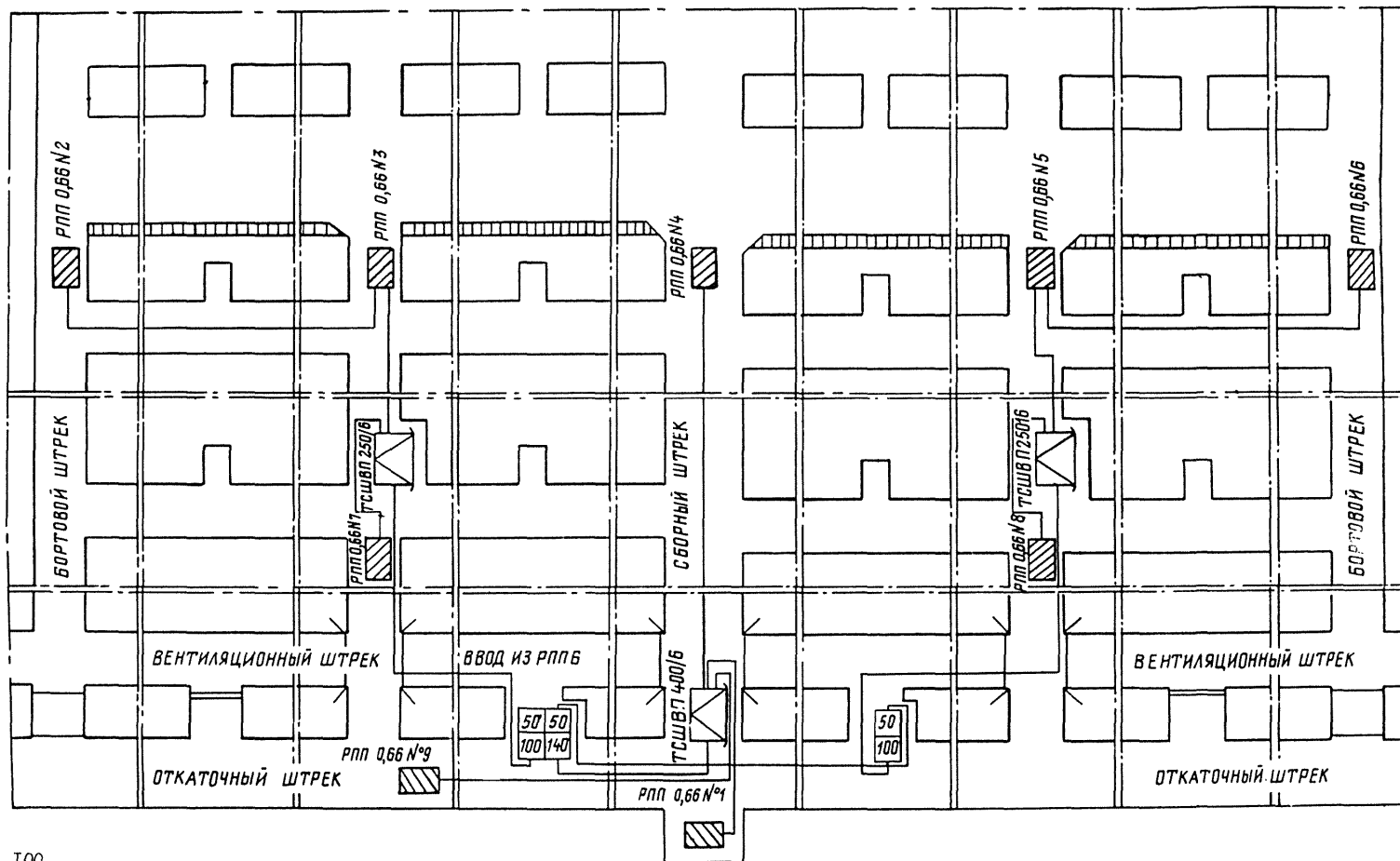


СХЕМА ЭЛЕКТРОСНАБЖЕНИЯ КАМЕР-ЛАВ НАПРЯЖЕНИЕМ 660 В  
(для вариантов Ш-ІУ)

С х е м а 20

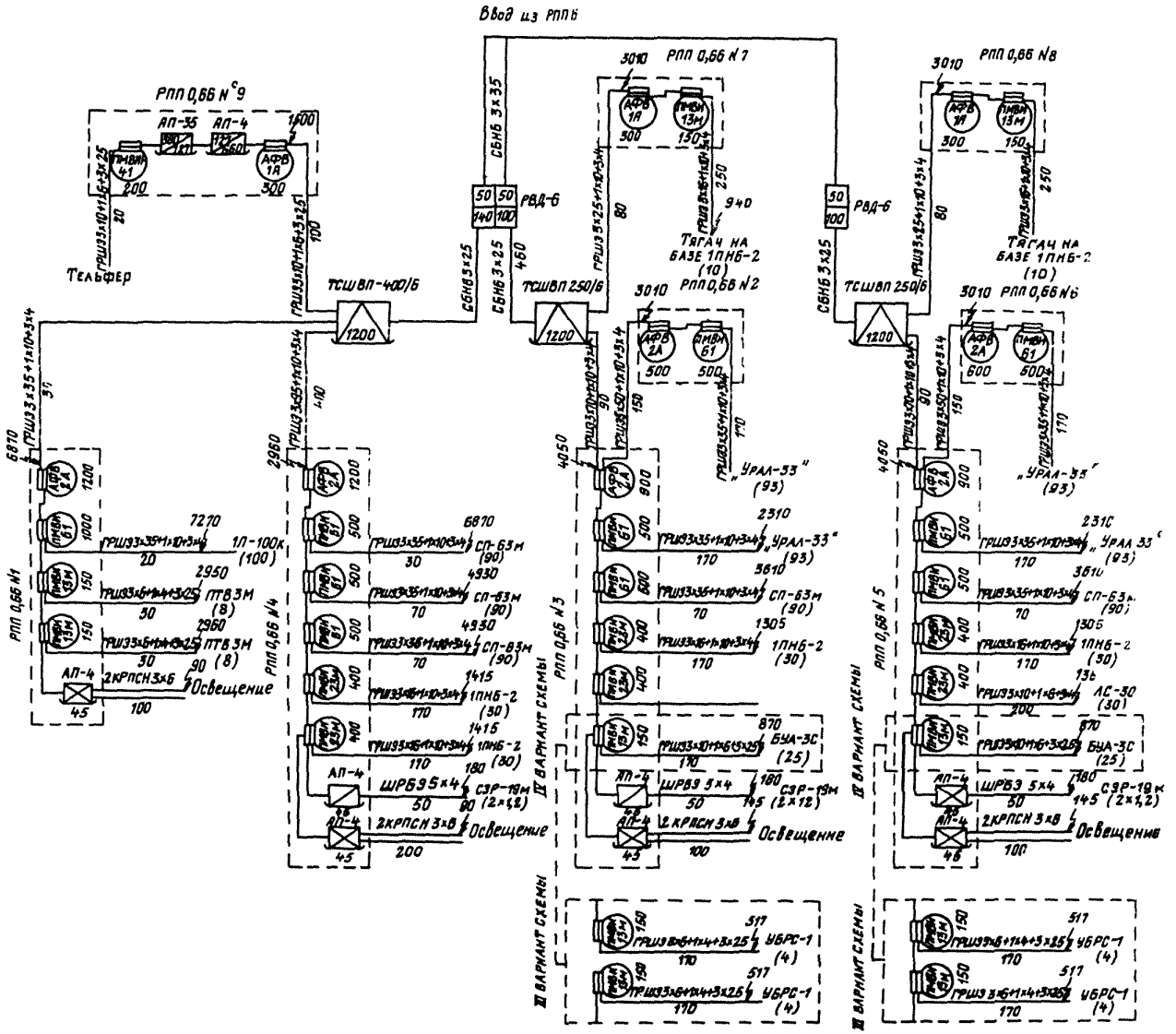


СХЕМА РАЗМЕЩЕНИЯ ТРАНСФОРМАТОРНОЙ ПОДСТАЦИИ (ТСШВП) И РАСПРЕДЕЛИТЕЛЬНЫХ ПОДЗЕМНЫХ ПУНКТОВ (РПП)  
ПРИ ПРОХОДКЕ ПОДГОТОВИТЕЛЬНЫХ ВЫРАБОТОК НА ПЛАНЕ ГОРНЫХ РАБОТ

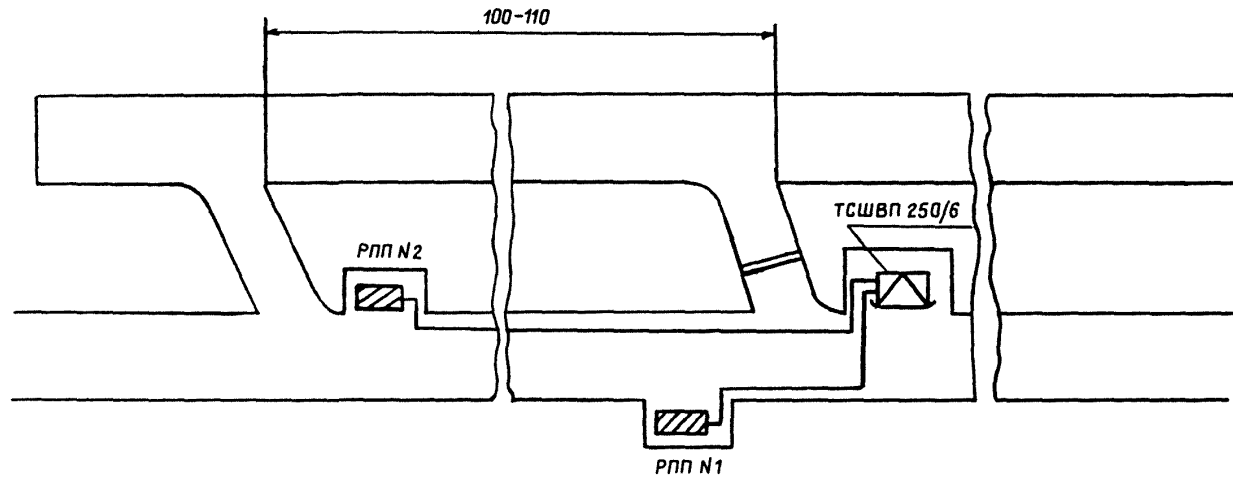


СХЕМА ЭЛЕКТРОСНАБЖЕНИЯ ПРОХОДКИ ПОДГОТОВИТЕЛЬНЫХ ВЫРАБОТОК НАПРЯЖЕНИЕМ 660 В С ПРИМЕНЕНИЕМ САМОХОДНОГО ВАТОНА 5ВС-15

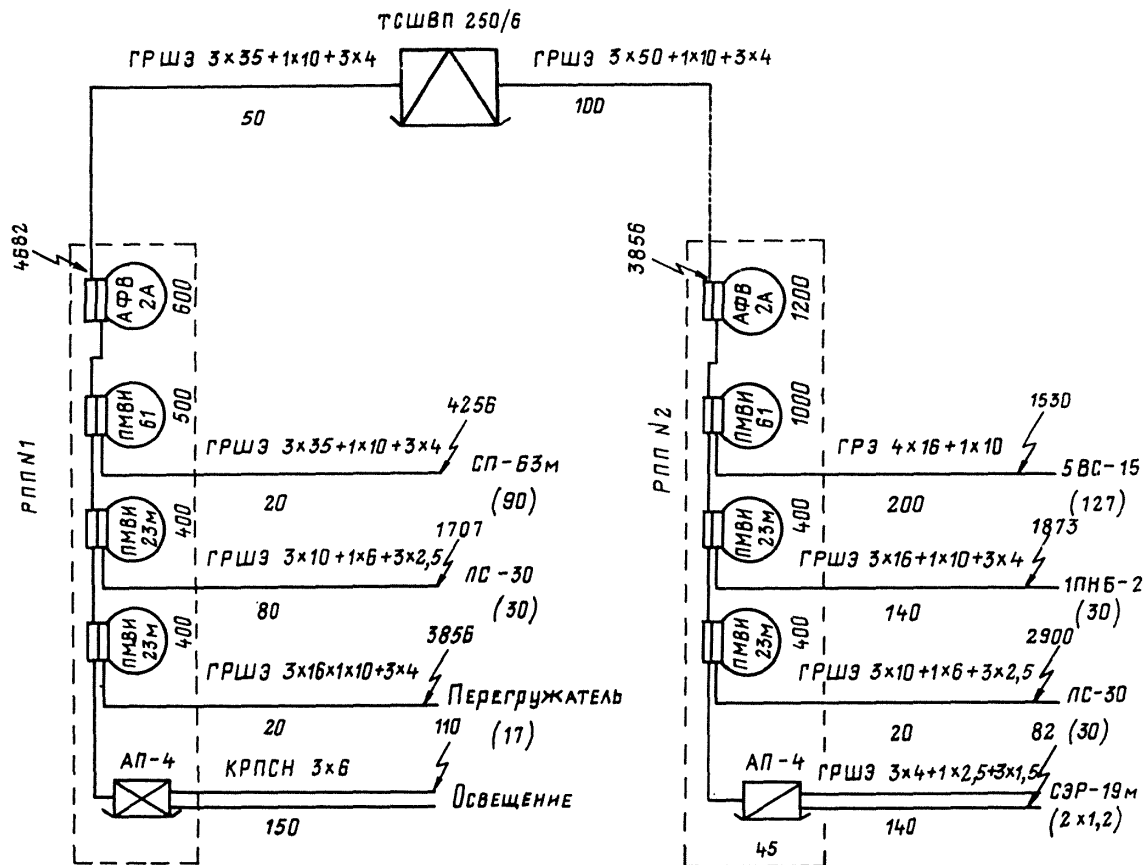


СХЕМА РАЗМЕЩЕНИЯ ТРАНСФОРМАТОРНЫХ ПОДСТАНЦИЙ (ТСШВП)  
И РАСПРЕДЕЛИТЕЛЬНЫХ ПОДЗЕМНЫХ ПУНКТОВ (РПП) ПРИ ПРОХОДКЕ  
ВЫЕМОЧНЫХ ВЫРАБОТОК НА ПЛАНЕ ГОРНЫХ РАБОТ  
(для спаренных камер-лаз)

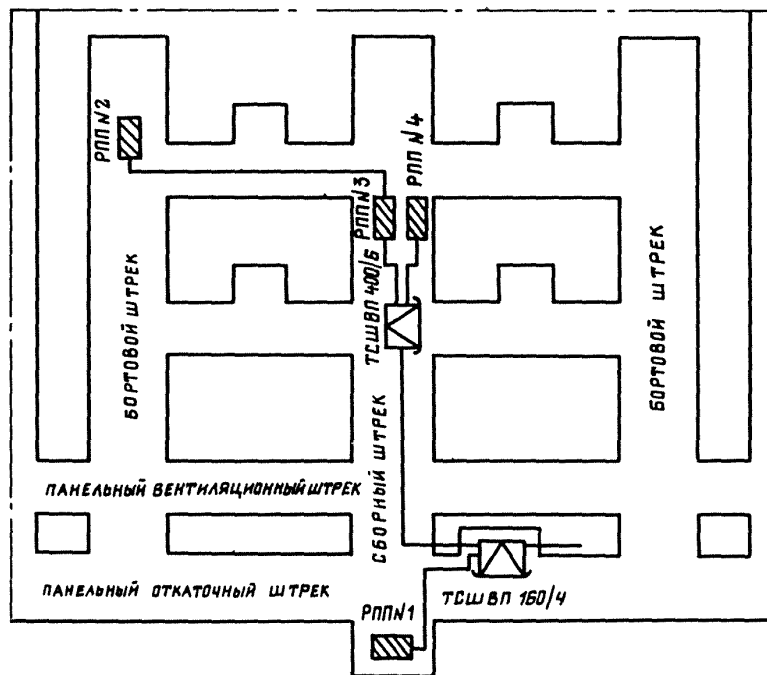


СХЕМА ЭЛЕКТРОСНАБЖЕНИЯ ПРОХОДКИ ВЫЕМОЧНЫХ ВЫРАБОТОК НАПРЯЖЕНИЕМ 660 В  
(для спаренных камер-лав)

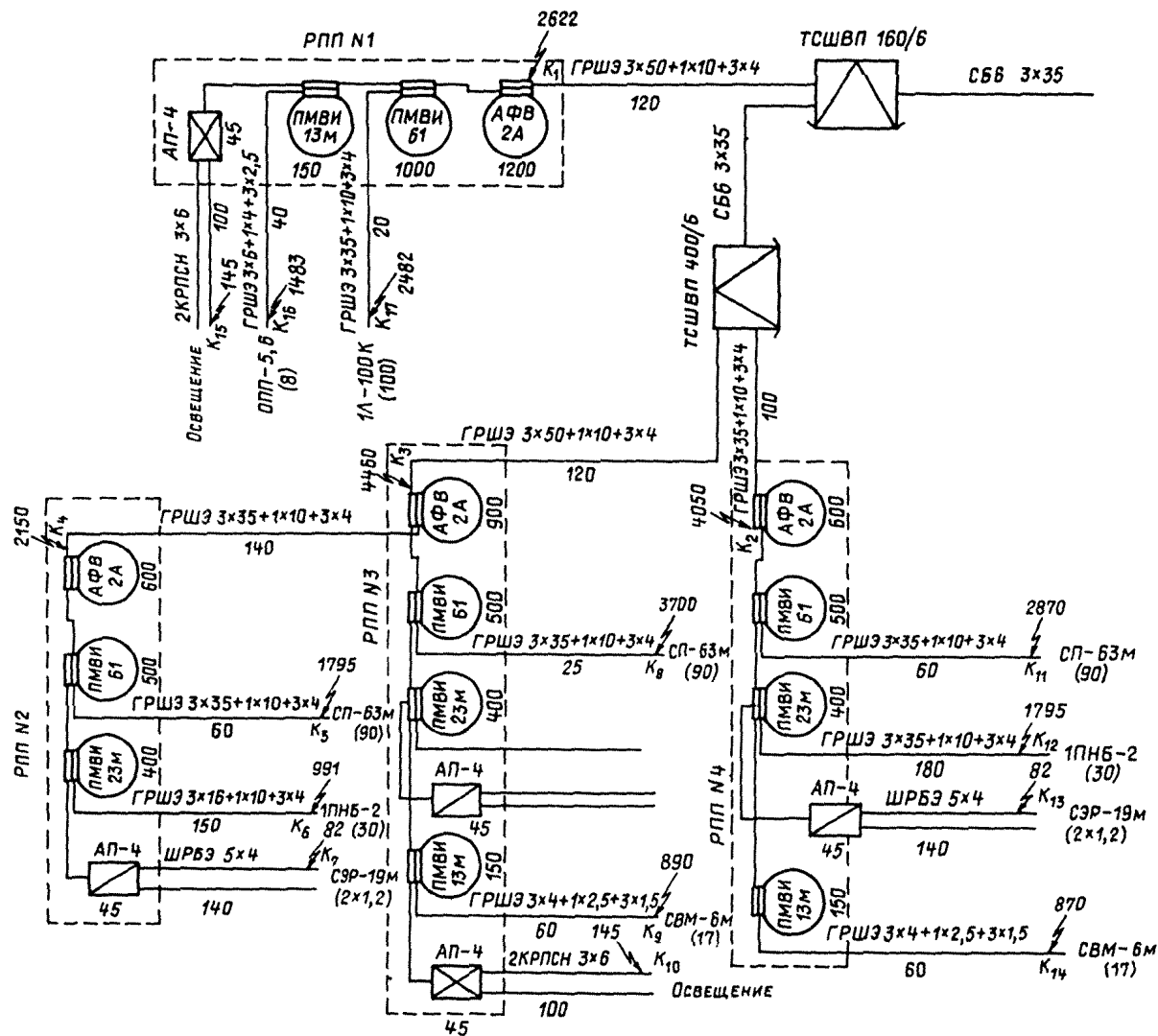




СХЕМА РАЗМЕЩЕНИЯ ТРАНСФОРМАТОРНЫХ ПОДСТАНЦИЙ (ТСШВП) И РАСПРЕДЕЛИТЕЛЬНЫХ ПОДЗЕМНЫХ ПУНКТОВ (РПП) ПРИ ПРОХОДКЕ ВЫЕМОЧНЫХ ВЫРАБОТОК НА ПЛАНЕ ГОРНЫХ РАБОТ  
(для счетверенных камер-лав)

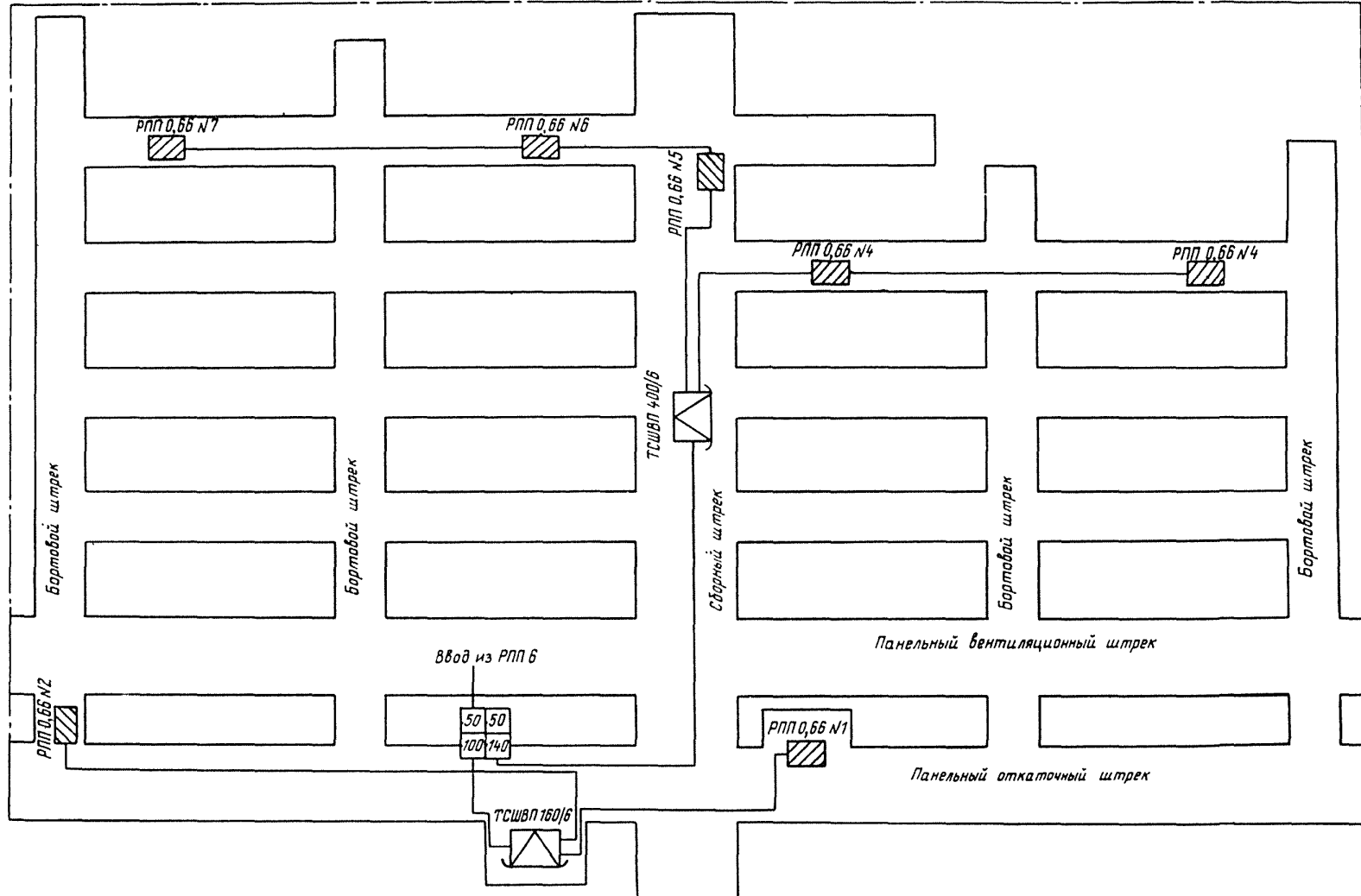


СХЕМА ЭЛЕКТРОСНАБЛЕНИЯ ПРОХОДКИ ВЫЕМОЧНЫХ ВЫРАБОТОК НАПРЯЖЕНИЕМ 660 В  
(для счетверенных камер-лав)

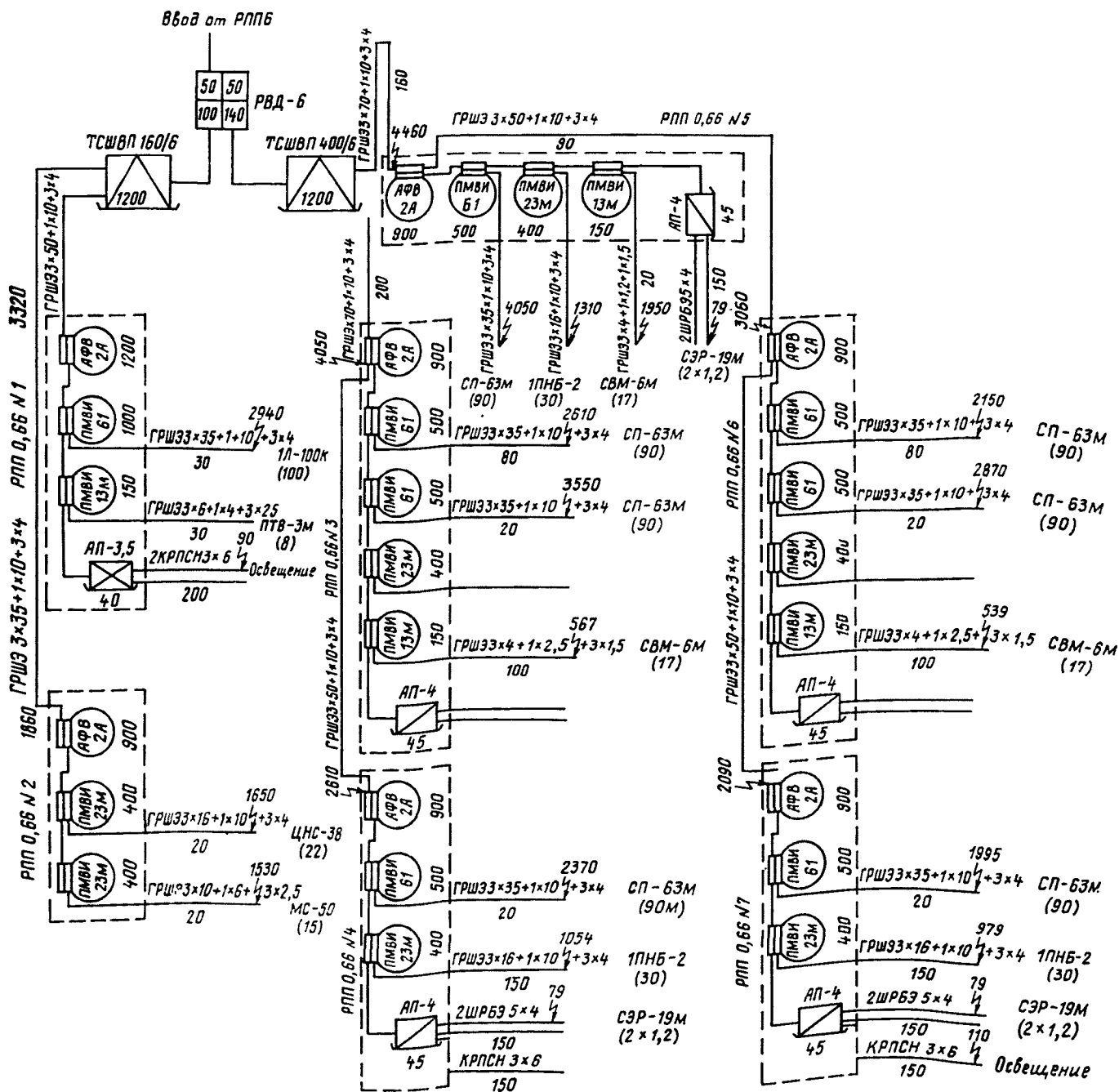
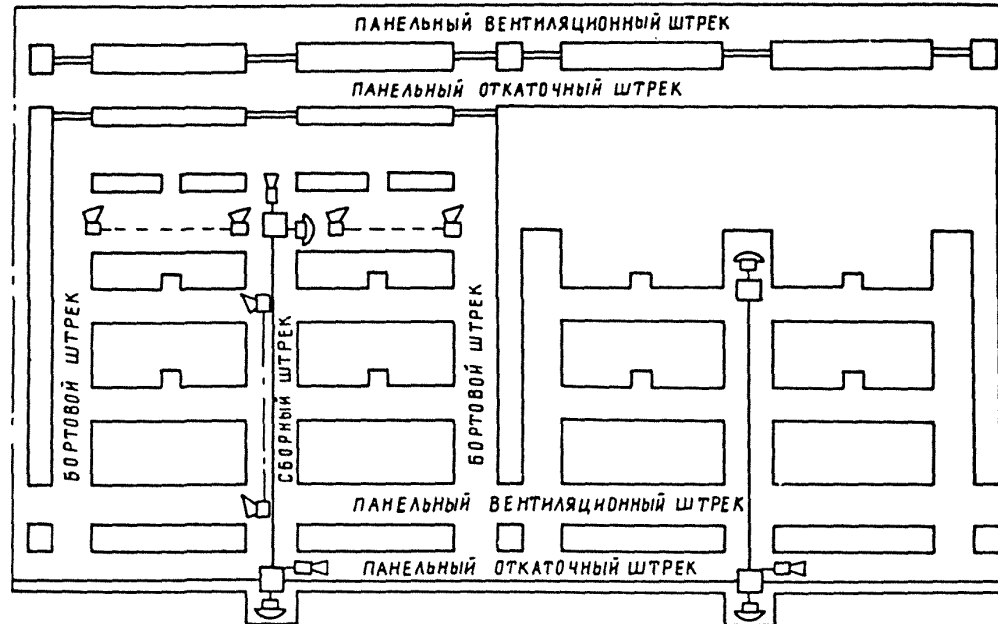


СХЕМА СВЯЗИ И СИГНАЛИЗАЦИИ  
(для спаренных камер-лав)

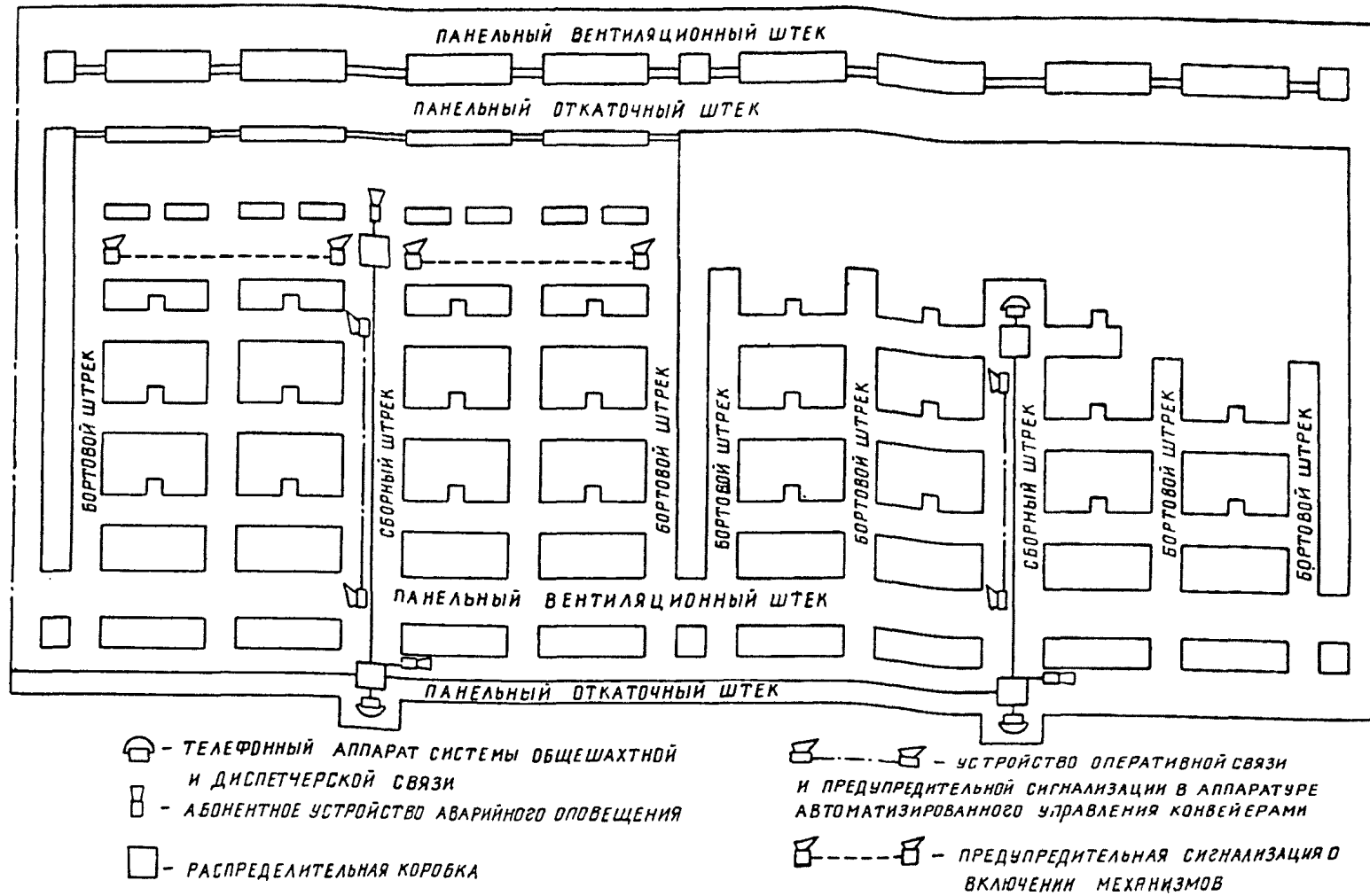


- ☎ - телефонный аппарат системы общешахтной и диспетчерской связи
- ☎ - абонентское устройство аварийного оповещения
- - распределительная коробка

- ☎ - ☎ - устройства оперативной связи и предупредительной сигнализации в аппаратуре автоматизированного управления конвейерами
- ☎ - ☎ - предупредительная сигнализация в включении механизмов

СХЕМА СВЯЗИ И СИГНАЛИЗАЦИИ  
(для счетверенных камер-лав)

С х е м а 28



## СОДЕРЖАНИЕ

1. ВВЕДЕНИЕ . . . . .	3	7.3. Проведение внемочных выработок . . . . .	34
2. СОВРЕМЕННОЕ СОСТОЯНИЕ И ПУТИ СОВЕРШЕНСТВОВАНИЯ ТЕХНОЛОГИИ ПОДЗЕМНОЙ ДОБЫЧИ СЛАНЦЕВ НА ЛЕНИНГРАДСКОМ МЕСТОРОЖДЕНИИ . . . . .	3	7.4. Определение рациональных параметров подготовки очистного фронта . . . . .	35
2.1. Геологические и горнотехнические условия разработки месторождения . . . . .	3	8. ВОПРОСЫ ВЕНТИЛЯЦИИ И БОРЬБЫ С ПЫЛЬЮ . . . . .	38
2.2. Развитие подземной добычи горючих сланцев . . . . .	5	9. ЭЛЕКТРОСНАБЖЕНИЕ ОЧИСТНЫХ И ПОДГОТОВИТЕЛЬНЫХ РАБОТ . . . . .	39
2.3. Развитие технологии подготовительных работ . . . . .	5	9.1. Общие положения . . . . .	39
3. ОСНОВНЫЕ ПРИНЦИПЫ И ИСХОДНЫЕ ПОЛОЖЕНИЯ РАЗРАБОТКИ ТЕХНОЛОГИЧЕСКОЙ СХЕМЫ . . . . .	6	9.2. Методика и порядок расчета схем электроснабжения . . . . .	40
3.1. Основные принципы . . . . .	6	9.3. Пример расчета схемы электроснабжения камер-лаз . . . . .	45
3.2. Область применения . . . . .	6	10. ПРОИЗВОДСТВЕННО-ТЕХНОЛОГИЧЕСКАЯ СВЯЗЬ И СИГНАЛИЗАЦИЯ . . . . .	51
3.3. Способ подготовки, система разработки и определение их параметров . . . . .	6	11. ПРОИЗВОДСТВЕННАЯ ЭСТЕТИКА И КУЛЬТУРА ТРУДА НА ПОДЗЕМНЫХ УЧАСТКАХ СЛАНЦЕВЫХ ШАХТ . . . . .	51
3.4. Способ управления горными давлениями . . . . .	7	12. ОПЫТ ПЕРЕДОВЫХ БРИГАД НА ОЧИСТНЫХ И ПОДГОТОВИТЕЛЬНЫХ РАБОТАХ . . . . .	52
3.5. Технология выемки . . . . .	7	12.1. Работа передовых бригад в очистных забоях . . . . .	52
3.6. Средства механизации . . . . .	7	12.2. Опыт передовых бригад на подготовительных работах . . . . .	53
3.7. Крепь подготовительных и очистных забоев . . . . .	7	13. ОРГАНИЗАЦИЯ ОЧИСТНЫХ РАБОТ . . . . .	54
3.8. Производительность погрузочных машин . . . . .	7	14. РАСЧЕТ НАГРУЗКИ НА ОЧИСТНОЙ ЗАБОЙ . . . . .	54
3.9. Безопасность работ . . . . .	7	14.1. Методика расчета . . . . .	54
3.10. Организация и режим работы . . . . .	8	14.2. Пример расчета нагрузки . . . . .	58
4. ВЫБОР ПАРАМЕТРОВ УПРАВЛЕНИЯ КРОВЛЕЙ И КОНСТРУКТИВНЫХ ЭЛЕМЕНТОВ СИСТЕМЫ РАЗРАБОТКИ . . . . .	8	15. ЭКОНОМИЧЕСКАЯ ЭФФЕКТИВНОСТЬ ТЕХНОЛОГИЧЕСКОЙ СХЕМЫ . . . . .	60
4.1. Выбор размеров камер . . . . .	8	15.1. Методика определения экономической эффективности . . . . .	60
4.2. Расчет размеров целиков . . . . .	8	15.2. Определение нижней границы области рационального применения новой техники . . . . .	61
4.3. Расчет крепи в камерах . . . . .	10	16. МЕТОДИЧЕСКИЕ УКАЗАНИЯ ПО ВНЕДРЕНИЮ ТЕХНОЛОГИЧЕСКОЙ СХЕМЫ . . . . .	62
4.4. Исходные данные для расчетов и рекомендации по отработке и креплению камер . . . . .	11	17. ЗАКЛЮЧЕНИЕ . . . . .	62
4.5. Дополнительные требования к управлению кровлей и креплению горных выработок в зонах карстовых нарушений, обводненных геологических трещин и скоплений напорных вод в кровле . . . . .	14	СХЕМЫ ОЧИСТНЫХ И ПОДГОТОВИТЕЛЬНЫХ РАБОТ . . . . .	65
4.6. Контроль за состоянием кровли и крепи камер . . . . .	15	Схемы подготовки и система разработки (варианты I-IV) . . . . .	67
5. ТЕХНОЛОГИЧЕСКИЕ ПРОЦЕССЫ ОЧИСТНЫХ РАБОТ И СРЕДСТВА МЕХАНИЗАЦИИ . . . . .	16	Схемы очистного забоя и размещения оборудования (варианты I-IV) . . . . .	71
5.1. Погрузка горной массы . . . . .	16	Схема и последовательность подготовки внемочных участков . . . . .	78
5.2. Доставка горной массы . . . . .	17	Схема проведения спаренных подготовительных выработок . . . . .	79
5.3. Бурение забоя . . . . .	19	Схема проведения счетверенных подготовительных выработок . . . . .	80
5.4. Крепление выработок . . . . .	19	Схема проведения внемочных выработок . . . . .	81
5.5. Зарубка очистного забоя . . . . .	21	Схема проведения внемочных выработок счетверенных камер-лаз . . . . .	82
5.6. Взрывные работы . . . . .	21	Схемы размещения оборудования для пылеподавления орошением (для вариантов II и IV) . . . . .	84
6. УЧАСТКОВЫЙ ТРАНСПОРТ . . . . .	27	Схемы вентиляционных соединений (к I, II и III вариантам схем подготовки) . . . . .	87
6.1. Конвейерный транспорт по сборному тракту . . . . .	27	Схема размещения трансформаторных подстанций (ТСШВП) и распределительных подземных пунктов (РПП) напряжением 660 В на плане горных работ (для вариантов I-II) . . . . .	98
6.2. Погрузочные пункты . . . . .	28	Схема электроснабжения камер-лаз напряжением 660 В (для вариантов I-II) . . . . .	99
6.3. Транспортирование горной массы от подготовительных забоев . . . . .	30	Схема размещения трансформаторных подстанций (ТСШВП) и распределительных подземных пунктов (РПП) напряжением 660 В на плане горных работ (для вариантов III-IV) . . . . .	100
6.4. Вспомогательный транспорт . . . . .	30	Схема электроснабжения камер-лаз напряжением 660 В (для вариантов III-IV) . . . . .	101
7. ГОРНОПОДГОТОВИТЕЛЬНЫЕ РАБОТЫ . . . . .	31	Схема размещения трансформаторной подстанции (ТСШВП) и распределительных подземных пунктов (РПП) при проходке подготовительных выработок на плане горных работ . . . . .	102
7.1. Общие положения . . . . .	31		
7.2. Проведение подготовительных выработок . . . . .	32		

Схема электроснабжения проходки подготовительных выработок напряжением 660 В с применением самоходного вагона 5БС-1Э . . . . .	I03
Схема размещения трансформаторных подстанций (ТСШВП) и распределительных подземных пунктов (РПП) при проходке выемочных выработок на плане горных работ (для спаренных камер-лав) . . . . .	I04
Схема электроснабжения проходки выемочных выработок напряжением 660 В (для спаренных камер-лав) . . . . .	I05
Схема размещения трансформаторных подстанций (ТСШВП) и распределительных подземных пунктов (РПП) при проходке выемочных выработок на плане горных работ (для счетверенных камер-лав) . . . . .	I06
Схема электроснабжения проходки выемочных выработок напряжением 660 В (для счетверенных камер-лав) . . . . .	I07
Схема связи и сигнализации (для спаренных камер-лав) . . . . .	I08
Схема связи и сигнализации (для счетверенных камер-лав) . . . . .	I09

ПРОГРЕССИВНАЯ ТЕХНОЛОГИЧЕСКАЯ СХЕМА ОЧИСТНЫХ И ПОДГОТОВИТЕЛЬНЫХ РАБОТ  
ПРИ КОМПЬЮТЕРИЗОВАННОЙ СИСТЕМЕ РАЗРАБОТКИ "КАМЕРА-ЛАВА" ДЛЯ ШАХТ  
ЛЕНИНГРАДСКОГО МЕСТОРОЖДЕНИЯ ГОРЯЧИХ СЛАНЦЕВ

Редактор И.А.Дружкова  
Технический редактор Э.П.Глазкова

---

Тираж 200	Цена I р. 02 к.	Изд. # 8701	Заказ #1801
-----------	-----------------	-------------	-------------

---

14,25 уч.-изд.л.                      Типография Института горного дела им. А.А.Скочинского  
Подписано к печати 15/VI 1981 г.

Министерство угольной промышленности СССР

Академия Наук СССР

ОРДЕНА ОКТЯБРЬСКОЙ РЕВОЛЮЦИИ И ОРДЕНА ТРУДОВОГО КРАСНОГО  
ЗНАМЕНИ ИНСТИТУТ ГОРНОГО ДЕЛА ИМ. А.А.СКОЧИНСКОГО

ИГД ИМ. А.А.СКОЧИНСКОГО

Эстонский филиал

УТВЕРЖДАЮ

Главный инженер ПО "Ленин-  
градсланец", к.т.н.



Г.Б.Брайман

ДОПОЛНЕНИЕ К ПРОГРЕССИВНОЙ ТЕХНОЛОГИЧЕСКОЙ СХЕМЕ ОЧИСТНЫХ  
И ПОДГОТОВИТЕЛЬНЫХ РАБОТ ПРИ КОМБИНИРОВАННОЙ СИСТЕМЕ РАЗРАБОТКИ  
"КАМЕРА-ЛАВА" ДЛЯ ШАХТ ЛЕНИНГРАДСКОГО МЕСТОРОЖДЕНИЯ ГОРЯЧИХ  
СЛАНЦЕВ (проведение подготавливающих выработок с использованием  
переоборудованной для бурения по сланцу буропогрузочной машины  
2ПНБЗБ и самоходного вагона БВС151)

Проведение подготавливающих выработок

Панельные и главные штреки проводятся по схеме (рис. I), предусматривающей в целях более эффективного использования оборудования параллельное проведение двух выработок.

В состав используемого при такой технологии оборудования входят:

переоборудованная буропогрузочная машина	
2ПНБЗБ	- 2
самоходный вагон 5ВС15М	- 1
перегрузатель	- 1
скребковый конвейер СП63 (СП63М)	- 1
ручное электросверло СЭР19М	
лебедка ЛМГН	- 1
лебедка ЛСГ7	- 1
вентилятор местного проветривания	
СВНБ	- 2

Техническая характеристика основной машины комплекса переоборудованной в соответствии с требованиями бурения по пласту сланца буропогрузочной машины 2ПНБЗБ - приведены в табл. I.

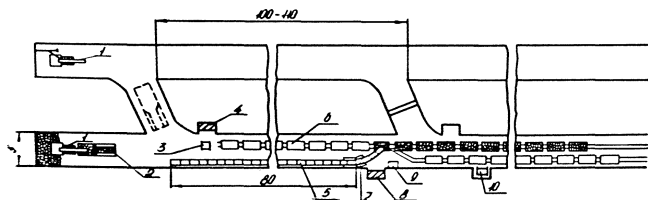
Таблица I

Техническая характеристика переоборудованной буропогрузочной машины 2ПНБЗБ (бурильное оборудование)

Диаметр шпура, мм	42 - 44
Ход подачи, мм	2750
Максимальное усилие подачи, кН (кгс)	15 (1500)
Частота вращения шпинделя вращателя, рад/с (об/мин)	102,6 (980)
Мощность электродвигателя вращателя, кВт	7,5
Максимальная высота обуривания забоя, мм	4000
Максимальная ширина забоя, обуривания с одной рабочей позиции, мм	3800
Максимальная скорость	
подачи вращателя, м/с	0,08
Обратный ход вращателя, м/с	0,18

Отбитая взрывными работами горная масса грузится переоборудованной буропогрузочной машиной 2ПНБЗБ в самоходный вагон 5ВС15М,





1. Вращающаяся машина 2ПНВ-26
2. Сидячий вагон СВВ-15
3. Лебедка паражникабля
4. Распределитель кабелей
5. Конденсер СВ-БЗ с батареями
6. Водяетки ВД-5,6
7. Перегрузжатель на базе 2ПНВ-2
8. Распределитель паэр. пункта
9. Панель управления
10. Лебедка грузовая

**Схема параллельного проведения откаточного и  
вентиляционного штреков**

который доставляет ее к скребковому конвейеру СПЗ (СПЗМ). По скребковому конвейеру горная масса транспортируется к передвижному погрузочному пункту, где поступает на перегрузатель, с которого она попадает в шахтные вагонетки ВД5.6.

Для перемещения на погрузочном пункте грузных и порозных вагонеток используются лебедки ЛМТМ и ЛС17.

В качестве основной формы организации труда рекомендуется комплексная проходческая бригада, выполняющая все (кроме зарядки и взрывания) работы проходческого цикла. Профилактический осмотр и ремонт оборудования выполняется электромеханической службой участка в трехчасовой промежуток между сменами.

На рис.2. приведен график организации работ при параллельном проведении откаточного и вентиляционного штреков. Основные технико-экономические показатели при таком варианте технологии проведения выработок приведены в табл.2.

Таблица 2  
Основные технико-экономические показатели проходки

Показатели	Откаточный штрек	Вентиляционный штрек
Ширина штрека, м	5,0	5,0
Высота штрека, м	3,03	3,03
Сечение штрека, м <sup>2</sup>	15,15	15,15
Уходка за цикл, м	1,55	1,55
Число циклов в смену	1,62	1,62
Подвигание забоя, м		
за сутки	7,53	7,53
за месяц	128	128
Число проходчиков, чел.		
в смену	4	
в сутки	12	
Производительность труда проходчиков на выход, м	0,98	

РАБОЧИЕ ПРОЦЕССЫ	Время, (мин)	Часы смены						
		1	2	3	4	5	6	7
<u>Откаточный штрик</u>								
Подготовительно-заключительные операции	10	█						█
Погрузка горной массы в самоходный вагон и доставка ее погрузочному пункту	81	█	█				█	█
Бурение в кровле под анкера и установка их	23			█				█
Бурение по забоям	56			█	█			█
Варьиные работы, проветривание	72				█			█
Нормированный отдых обслуживание постов охраны выполнение вспомогательных работ	72+15					█		█
<u>Вентиляционный штрик</u>								
Подготовительно-заключительные операции	10	█						█
Погрузка горной массы в самоходный вагон и доставка ее к погрузочному пункту	81	█	█				█	█
Бурение в кровле под анкера и установка их	23			█				█
Бурение по забоям	56	█	█					█
Варьиные работы, проветривание	72				█			█
Нормированный отдых обслуживание постов охраны выполнение вспомогательных работ	72+15					█		█

**График организации работ при параллельном проведении откаточного и вентиляционного штриков**